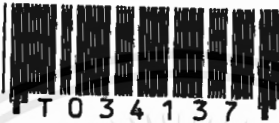


สำนักหอสมุดกลาง พระจอมเกล้าลาดกระบัง

ปีการศึกษา 2541

การวัดความเร็วของมอเตอร์เหนี่ยวนำโดยใช้โรเตอร์สล็อตฮาร์โมนิก
Speed Measurement of Induction Motor Using Rotor Slot Harmonic



โดย

นายจิระ	แซ่เคียว	รหัส 38014077
นายเฉลิมพล	ทองอุทัย	รหัส 38014095
นายฐิติพงศ์	สมัครพงศ์	รหัส 38014134
นายณรงค์วิทย์	ธรรมวรากุล	รหัส 38014137

อาจารย์ที่ปรึกษา

รศ.ดร. วิริยะ พิเชฐจำเริญ

ดร. วิจิตร กิณเรศ

เลขหมู่.....
เลขทะเบียน..... 34137
วัน, เดือน, ปี - 6 ต.ค. 2542

สงวนลิขสิทธิ์
สงวนเพื่อการศึกษาเท่านั้น ไม่อนุญาตให้นำไปใช้ประโยชน์ด้านการค้า
ไม่ว่ากรณีใดๆ ทั้งสิ้น อีกทั้งห้ามมิให้ดัดแปลงเนื้อหาและต้องอ้างอิงถึงเจ้าของเอกสารทุกครั้งที่มีการนำไปใช้

ปริญญานิพนธ์ปี การศึกษา 2541


ภาควิชาวิศวกรรมไฟฟ้า

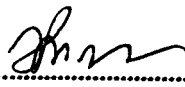
คณะวิศวกรรมศาสตร์ สถาบันเทคโนโลยีพระจอมเกล้าเจ้าคุณทหารลาดกระบัง

เรื่อง การวัดความเร็วของมอเตอร์เหนี่ยวนำโดยใช้โรตอร์สต็อกจากอาร์โมนิกส์

ผู้จัดทำ

1. นายจิระ แซ่เตียว
2. นายเฉลิมพล ทองอุทัย
3. นายฐิติพงศ์ สมักรพงศ์
4. นายณรงค์วิทย์ ชรรมวารกุล


..... อาจารย์ที่ปรึกษา
(รศ.ดร. วิริยะ พิเชษฐจำเริญ)


..... อาจารย์ที่ปรึกษา
(ดร. วิจิตร กิณเรศ)

เอกสารนี้เป็นเอกสารที่สงวนไว้สำหรับการใช้งานเพื่อการศึกษาเท่านั้น ไม่อนุญาตให้นำไปใช้ประโยชน์ด้านการค้า
ไม่ว่ากรณีใดๆ ทั้งสิ้น อีกทั้งห้ามมิให้ดัดแปลงเนื้อหาและต้องอ้างอิงถึงเจ้าของเอกสารทุกครั้งที่มีการนำไปใช้

สารบัญ

บทคัดย่อ	I
ABSTRACT	II
สารบัญรูปภาพ	III
สารบัญตาราง	VI
บทที่ 1 บทนำ	1
บทที่ 2 การใช้โรเตอร์สล็อตทซาร์โมนิกส์ในการหาความเร็วของมอเตอร์เหนี่ยวนำ	3
2.1 การเกิดโรเตอร์สล็อตทซาร์โมนิกส์	3
2.2 พัฒนาการของการหาความเร็วมอเตอร์โดยใช้โรเตอร์สล็อตทซาร์โมนิกส์	7
2.3 วิธีการวิเคราะห์หาโรเตอร์สล็อตทซาร์โมนิกส์	9
บทที่ 3 การแปลงฟาสต์ฟูเรียร์ (Fast Furier Transform)	14
3.1 บทนำ	14
3.2 การวิเคราะห์ฮอนุกรมฟูเรียร์	15
3.3 การแปลงฟูเรียร์	16
3.4 การแปลงฟูเรียร์แบบเต็มหน่วย	17
3.5 การแปลงฟาสต์ฟูเรียร์	18
บทที่ 4 การวิเคราะห์สัญญาณ โรเตอร์สล็อตทซาร์โมนิกส์โดยใช้โปรแกรม MATLAB	30
4.1 บทนำ	30
4.2 รูปแบบของข้อมูลที่ได้จากการทดลอง	31
4.3 การแปลงข้อมูลให้อยู่ในรูปแบบของ MATLAB	32
4.4 การทำวินโดว์(window) และการคอนโวลูชัน(convoltion)ข้อมูล	34
4.5 การกระจายสเปกตรัมข้อมูล โดยใช้ฟังก์ชัน FFT	36
4.6 กระบวนการที่ใช้ในการระบุตำแหน่งโรเตอร์สล็อตทซาร์โมนิกส์	37
บทที่ 5 โครงสร้างของ TMS320C50 DSP Starter Kit ('50 DSK)	40
5.1 ลักษณะโดยทั่วไปของบอร์ด TMS320C50 DSK	40
5.2 การจัดหน่วยความจำของ TMS320C50 DSK	44
5.3 วงจรอินเตอร์เฟสสัญญาณอนาลอก TLC32040	45
5.4 อุปกรณ์เสริม	47

เอกสารนี้เป็นเอกสารที่สงวนไว้สำหรับการใช้งานเพื่อการศึกษาเท่านั้น ไม่อนุญาตให้นำไปใช้ประโยชน์ด้านการค้า
ไม่ว่ากรณีใดๆ ทั้งสิ้น อีกทั้งห้ามมิให้ดัดแปลงเนื้อหาและต้องอ้างอิงถึงเจ้าของเอกสารทุกครั้งที่มีการนำไปใช้

บทที่ 6 หน่วยลดทอนสัญญาณ	53
6.1 บทนำ	53
6.2 การแปลงสัญญาณกระแสให้เป็นสัญญาณแรงดัน	53
6.3 วงจรสร้างไฟเลี้ยงออปแอมป์และ LEM โมดูล ± 12 โวลต์	55
บทที่ 7 การทดลองและผลการทดลองในเวลาออฟไลน์(Off Line)	60
7.1 การทดลองหาความสัมพันธ์ระหว่างการเคลื่อนที่ของโรเตอร์สล็อต ฮาร์โมนิกส์กับกระแสไหลคของมอเตอร์	60
7.2 การหาความเร็วของมอเตอร์เหนี่ยวนำชนิดโรเตอร์กรงกระรอก	62
7.3 การหาความเร็วของมอเตอร์เหนี่ยวนำชนิดโรเตอร์พันขดลวด	67
7.4 การหาความเร็วของมอเตอร์เหนี่ยวนำเมื่อแรงดันไฟฟ้าตกและไฟเกิน	68
7.5 การวิเคราะห์และสรุปผลการทดลอง	71
บทที่ 8 การทดลองและผลการทดลองที่เวลาจริง (Real Time)	72
8.1 การแปลงสเปกตรัมจากโดเมนเวลาไปยังโดเมนความถี่	72
8.2 การแสดงผลการแปลงสเปกตรัมออกทางหน้าจอคอมพิวเตอร์	74
8.3 ผลการทดลอง	76
8.4 วิเคราะห์และสรุปผลการทดลอง	77
บทที่ 9 ปัญหา แนวทางการแก้ปัญหาและการพัฒนา	78
9.1 ปัญหา	78
9.2 แนวทางการพัฒนา	79

ภาคผนวก ก โปรแกรมภาษาแอสเซมบลีที่ใช้ในการวิเคราะห์ และคำนวณหาสัญญาณ
โรเตอร์สล็อตฮาร์โมนิกส์

ภาคผนวก ข โปรแกรมภาษาซี ที่ใช้ในการแสดงผลทางด้านกราฟฟิคออกทางหน้าจอคอมพิวเตอร์

กิตติกรรมประกาศ

เอกสารอ้างอิง

การวัดความเร็วมอเตอร์เหนี่ยวนำโดยใช้โรเตอร์สล็อตฮาร์โมนิกส์ (Speed Measurement of Induction Motor Using Rotor Slot Harmonics)

นายจิระ แซ่เตี่ยว

นายเฉลิมพล ทองอุทัย

นายฐิติพงศ์ สมักรพงศ์

นายณรงค์วิทย์ ธรรมวรากุล

รศ.ดร. วิริยะ พิเชษฐจำเริญ อาจารย์ที่ปรึกษา

ดร. วิจิตร กิณเรศ อาจารย์ที่ปรึกษา

ปีการศึกษา 2541

บทคัดย่อ

โครงการนี้เป็นการศึกษาวิธีการวัดความเร็วมอเตอร์เหนี่ยวนำแนวทางใหม่โดยใช้เทคนิคการประมวลผลสัญญาณเชิงดิจิทัล (Digital Signal Processing) วิเคราะห์พฤติกรรมของโรเตอร์สล็อตฮาร์โมนิกส์ โดยแบ่งการดำเนินงานออกเป็น 2 ส่วน

1. การประมวลผลแบบออฟไลน์ (Off Line) เป็นการศึกษาโดยใช้โปรแกรม MATLAB ในการวิเคราะห์หาค่าตำแหน่งของโรเตอร์สล็อตฮาร์โมนิกส์เพื่อหาความเร็วรอบของมอเตอร์ จากข้อมูลที่ได้มาจากดิจิตอลสโตเรจสโคป (Digital Storage Scope)
2. การประมวลผลแบบเรียลไทม์ (Real Time) โดยในโครงการนี้ได้ใช้บอร์ดประมวลผลทางดิจิทัล TMS320C50 DSK เพื่อใช้ในการวิเคราะห์และแปลงสเปกตรัมกระแสมอเตอร์ โดยในการทดลองจะต้องทำการลดทอนกระแสที่จะวัดด้วยเครื่องลดทอนกระแสก่อน และใช้คอมพิวเตอร์ในการโหลดโปรแกรมเข้าสู่บอร์ดTMS320C50 และแสดงผลลัพธ์ที่ได้จากการแปลงสเปกตรัมออกจากคอมพิวเตอร์

ในการดำเนินโครงการทำให้ทราบถึงพฤติกรรม และเงื่อนไขต่างๆของโรเตอร์สล็อตฮาร์โมนิกส์ และได้ทำการทดลอง ปรับปรุงขั้นตอน วิธีการที่ใช้เพื่อให้ได้ค่าคลาดเคลื่อนน้อยที่สุด และนำไปสู่การพัฒนาเพื่อใช้งานจริงต่อไป

Speed Measurement of Induction Motor Using Rotor Slot Harmonics

Jira Saeteaw

Charlearmpol Tong-u-thai

Titipong Samakpong

Narongwit Thamwarakul

Assoc.Prof.Dr. Viriya Pichetchamroen Advisor

Dr. Vijit Kinnares

1998

Abstract

This project studies the measurement of the speed of induction motor using Digital Signal Processing techniques. The motor input current is processed by Fast Fourier Transform and the result signal goes through spectral analyzing in order to deduce the motor speed. The project is divided into 2 parts

1. Processing on Off Line that uses MATLAB program to analyze Rotor Slot Harmonics. The Data acquisition part consists of recording using a Digital Storage Scope.
2. Processing on Real Time that uses TMS320C50 board to analyze Rotor Slot Harmonics. Then transmits data to computer for spectrum display.

During the project implementation, more is learned about the behavior and conditions of Rotor Slot Harmonics. Also, additional test method improvements and different styles are tried in order to obtain minimum error so that methods can be developed into Real Time Mode in the future.

สารบัญรูป

รูปที่ 1.1	บล็อกไดอะแกรมแสดงการประมวลผลแบบออฟไลน์ (Off Line)	2
รูปที่ 1.2	บล็อกไดอะแกรมแสดงการประมวลผลแบบเรียลไทม์ (Real Time)	2
รูปที่ 2.1	แสดงกราฟของกระแสของ PWM ที่ไม่เป็นไซน์	6
รูปที่ 2.2	แสดงการเปรียบเทียบจำนวนครั้งที่ต้องใช้ในการบวกและการคูณ ของจำนวนเชิงซ้อนของทั้ง 2 วิธี	11
รูปที่ 2.4	สัญญาณกระแสที่สเตเตอร์ 50 Hz	12
รูปที่ 2.5	สัญญาณเมื่อผ่านตัวกรองดิจิทัล	12
รูปที่ 2.6	สเปกตรัมของสัญญาณที่ผ่านการกรองโดยใช้วิธี FFT	13
รูปที่ 2.7	สเปกตรัมของสัญญาณที่ผ่านการกรองโดยใช้วิธี GAL	13
รูปที่ 2.8	สเปกตรัมของสัญญาณที่ผ่านการกรองโดยใช้วิธี MEM	13
รูปที่ 2.9	สเปกตรัมของสัญญาณที่ผ่านการกรองโดยใช้วิธี FRLS	13
รูปที่ 3.1	กราฟการไหลตามสมการที่ 3.31	21
รูปที่ 3.2	หน่วยมิลลิวัดของการคำนวณตามขั้นตอนวิธีการลดทอนทางเวลา	23
รูปที่ 3.3	แสดงขั้นตอนแบบการลดทอนทางเวลาสำหรับ DFT แบบ 8 จุด	24
รูปที่ 3.4(a)	กราฟการไหลของสัญญาณแสดงการคำนวณตามรูปที่ 3.3	25
รูปที่ 3.4(b)	แสดงการสลับตำแหน่งของลำดับ $X(n)$ ด้วยการผันกลับบิต	25
รูปที่ 3.5	แสดงลำดับขั้นตอนวิธีการของ FFT ชนิดการลดทอนทางความถี่	29
รูปที่ 3.6	แสดงการคำนวณของหน่วยมิลลิวัดของขั้นตอนการวิธีชนิดลดทอนทางความถี่	29
รูปที่ 4.1	แสดงรูปแบบของข้อมูลที่บันทึกได้จากการทดลอง	32
รูปที่ 4.2	พล็อตชาร์ตแสดงกระบวนการในการแปลงรูปไฟล์	33
รูปที่ 4.3	แสดงสเปกตรัมของข้อมูลที่ไม่ผ่านการวินโดว์ และผ่านการวินโดว์	34
รูปที่ 4.4	แสดงสเปกตรัมของข้อมูลที่ผ่านการวินโดว์แบบต่างๆ	36
รูปที่ 4.5	แสดงสเปกตรัมของข้อมูลที่ไหลแตกต่างกัน	
รูปที่ 4.6	แสดงสเปกตรัมของข้อมูลในช่วงความถี่ที่จะพิจารณาหาความถี่ โรเตอร์สล็อตฮาร์โมนิกส์	38
รูปที่ 4.7	แสดงพล็อตชาร์ตของโปรแกรมหาความเร็วมอเตอร์	39
รูปที่ 5.1	บล็อกไดอะแกรมของ TMS320C50	41

รูปที่ 5.2	แสดงการติดต่อของ TMS320C50 กับ RS 232	42
รูปที่ 5.3	สัญญาณในการติดต่อของ TMS320C50 กับ RS 232	43
รูปที่ 5.4	แสดงการเข้าถึงหน่วยความจำของ TMS320C50	44
รูปที่ 5.5	แสดงไทมเมอร์ภายใน TMS320C50	47
รูปที่ 5.6	รีจิสเตอร์อินเตอร์เฟล็ก	48
รูปที่ 5.7	แสดงการต่อพอร์ตอนุกรมกับพอร์ตภายนอก	49
รูปที่ 5.8	บล็อกไดอะแกรมการทำงานของพอร์ตอนุกรม	50
รูปที่ 6.1	แสดงการแปลงสัญญาณกระแสจาก LEM โมดูลให้เป็นสัญญาณแรงดัน	53
รูปที่ 6.2	แสดงการใช้วงจรมอน-อินเวอร์ตติงชั้นกลางระหว่างสัญญาณ LEM โมดูล	54
รูปที่ 6.3	ภาพแสดง LEM โมดูลที่ต่อเข้ากับมอน-อินเวอร์ตติง	54
รูปที่ 6.4	วงจรจ่ายไฟเลี้ยง ± 12 โวลท์	56
รูปที่ 6.5	แสดงภาพภาคจ่ายไฟของเครื่องลดทอนสัญญาณ	56
รูปที่ 6.6	แสดงภาพภายในของอุปกรณ์ลดทอนสัญญาณ	59
รูปที่ 6.7	แสดงภาพของเครื่องลดทอนสัญญาณ	59
รูปที่ 7.1	แสดงการต่ออุปกรณ์ทดลอง	61
รูปที่ 7.2	แสดงตัวอย่างสเปกตรัมของกระแสมอเตอร์ที่โหลด 80 , 85.7 , 91.4 , 100 %	62
รูปที่ 7.3	แสดงการต่ออุปกรณ์เพื่อทดลองโหลดทางไฟฟ้า	64
รูปที่ 7.4	แสดงสเปกตรัมของกระแสมอเตอร์เหนี่ยวนำ 1 แรงม้า เมื่อใส่โหลดทางไฟฟ้า	65
รูปที่ 7.5	แสดงสเปกตรัมของกระแสมอเตอร์เหนี่ยวนำ 2 แรงม้า เมื่อใส่โหลดทางไฟฟ้า	66
รูปที่ 7.6	แสดงสเปกตรัมของกระแสมอเตอร์เหนี่ยวนำชนิด โรเตอร์พันขดลวด เมื่อใส่โหลดทางไฟฟ้า	67
รูปที่ 7.7	แสดงสเปกตรัมของกระแสมอเตอร์เหนี่ยวนำชนิด โรเตอร์กรงกระรอก เมื่อใส่โหลดทางกลและแรงดัน ไฟฟ้าเกินที่ 410 โวลท์	69
รูปที่ 7.8	แสดงสเปกตรัมของกระแสมอเตอร์เหนี่ยวนำชนิด โรเตอร์กรงกระรอก เมื่อใส่โหลดทางกลและแรงดัน ไฟฟ้าตกที่ 350 โวลท์	70
รูปที่ 8.1	รูปแสดงการต่ออุปกรณ์ที่ใช้ในการศึกษาแบบเวลาจริง(Real Time)	72
รูปที่ 8.2	แผนภาพแสดงการทำงานของโปรแกรม RSH.asm	73
รูปที่ 8.3	แผนภาพแสดงการคำนวณฟาสต์ฟูเรียร์ทรานส์ฟอร์ม	74
รูปที่ 8.4	โพลีชาร์จการแสดงผลทางด้านกราฟฟิโกออกทางหน้าจอคอมพิวเตอร์	75
รูปที่ 8.5	โพลีชาร์จแสดงการ Initial ค่าทางการแสดงผลในด้านกราฟฟิโก	76

รูปที่ 8.6	รูปแสดงสเปกตรัมของการใช้บอร์ด TMS320C50 ขณะที่ยังไม่มีโหลด	76
รูปที่ 8.7	รูปแสดงสเปกตรัมของการใช้บอร์ด TMS320C50 ขณะที่มีโหลด	77



สารบัญตาราง

ตารางที่ 5.1 ขาสัญญาณของพอร์ตอนุกรม	49
ตารางที่ 5.2 รีจิสเตอร์ของพอร์ตอนุกรม	49
ตารางที่ 5.3 รีจิสเตอร์ควบคุมไทม์เมอร์ (TCR)	50
ตารางที่ 5.4 การกำหนดค่าใน PMST	51
ตารางที่ 5.5 การกำหนดค่าใน LMR	52
ตารางที่ 7.1 แสดงตำแหน่งของโรเตอร์สล็อตทฮาร์โมนิกส์เมื่อโหลดเปลี่ยนแปลง	61
ตารางที่ 7.2 แสดงค่าความเร็วที่ได้จากการคำนวณและค่าความเร็วจริงที่เปอร์เซ็นต์โหลดต่างๆ	63
ตารางที่ 7.3 แสดงค่าความเร็วที่ได้จากการคำนวณ และค่าความผิดพลาดที่เกิดขึ้นจากการใช้โหลดทางไฟฟ้ากับมอเตอร์ทรงกระบอกขนาด 1 Hp	65
ตารางที่ 7.4 แสดงค่าความคลาดเคลื่อนของความเร็วที่ได้จากการคำนวณกับความเร็วจริงที่เปอร์เซ็นต์โหลดต่างๆ ของมอเตอร์ 2 Hp โหลดทางไฟฟ้า	67
ตารางที่ 7.5 แสดงค่าความคลาดเคลื่อนของความเร็วที่ได้จากการคำนวณกับความเร็วจริงที่เปอร์เซ็นต์โหลดต่างๆ	68
ตารางที่ 7.6 แสดงค่าความคลาดเคลื่อนของความเร็วที่ได้จากการคำนวณกับความเร็วจริงที่เปอร์เซ็นต์โหลดต่างๆ เมื่อแรงดันไฟฟ้าเกิน	69
ตารางที่ 7.7 แสดงค่าความคลาดเคลื่อนของความเร็วที่ได้จากการคำนวณกับความเร็วจริงที่เปอร์เซ็นต์โหลดต่างๆ เมื่อแรงดันไฟฟ้าตก	69

บทที่ 1

บทนำ

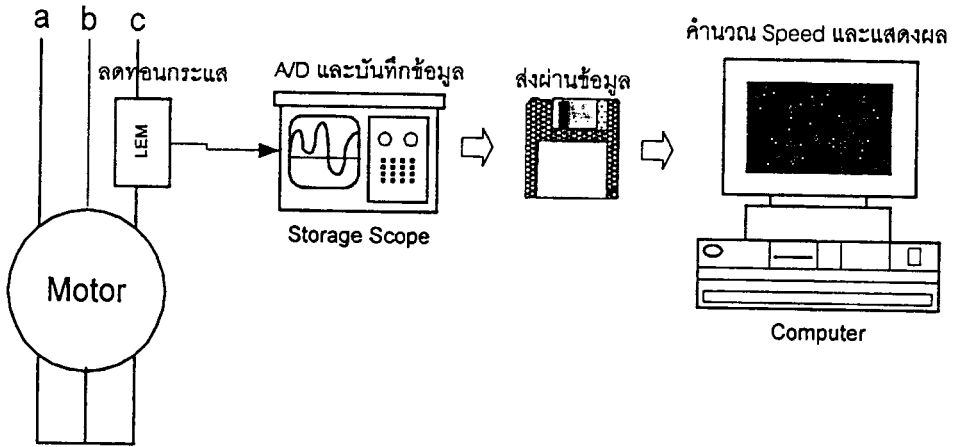
ในปัจจุบันนี้การควบคุมความเร็วและทอลค์มอเตอร์ให้มีประสิทธิภาพสูงสุด ได้ถูกพัฒนาขึ้นอย่างต่อเนื่อง ระบบขับเคลื่อนมอเตอร์สมัยใหม่ต้องการความถูกต้องและการตอบสนองการปรับเปลี่ยนความเร็วได้รวดเร็ว ซึ่งในขณะนี้นี้ระบบขับเคลื่อนมอเตอร์ส่วนใหญ่จะใช้ทรานสดิวเซอร์ประเภท Optoelectrical หรือ Electromechanical เป็นตัววัดความเร็ว ซึ่งการใช้ทรานสดิวเซอร์ประเภทนี้มักต้องเผชิญกับปัญหา ความไม่เป็นเชิงเส้น ความถูกต้อง รีโซลูชัน (Resolution) ต่ำ ขนาดของสัญญาณมีค่าน้อยเมื่อความเร็วต่ำๆ ราคาแพง ต้องทำการออกแบบจุดที่จะติดตั้ง ต้องมีการปรับแต่งก่อนใช้งาน การดูแลรักษา อายุการใช้งาน ฯลฯ

ดังนั้นในช่วง 2 ทศวรรษที่ผ่านมาได้มีการพยายามที่จะหาวิธี มาทดแทนการใช้ทรานสดิวเซอร์แบบเดิมๆ โดยการประยุกต์ใช้ปริมาณทางไฟฟ้าในตัวมอเตอร์ในการวัดความเร็ว เช่น ใช้สัญญาณแรงดัน สัญญาณกระแสในมอเตอร์ และได้มีการทดลองและวิจัยหาวิธีการต่างๆ ซึ่งมีวิธีหนึ่งที่มีประสิทธิภาพคือ การใช้วิธีการวิเคราะห์โรเตอร์สล็อตฮาร์โมนิกส์ (Rotor Slot Harmonics) ซึ่งเกิดจากความไม่เป็นเชิงเส้นของสนามแม่เหล็กในช่องอากาศอันเนื่องมาจากความเป็นสล็อตของมอเตอร์ เมื่อมอเตอร์มีการหมุนจะเกิดการตัดกันของสนามแม่เหล็กเหนี่ยวนำให้เกิดสัญญาณโรเตอร์สล็อตฮาร์โมนิกส์ขึ้นในกระแสที่จ่ายให้กับมอเตอร์

โครงการนี้เป็นการใช้หลักการแปลงฟาสต์ฟูเรียร์ (Fast Fourier Transform) แปลงรูปคลื่นของกระแสซึ่งอยู่ในโดเมนเวลาให้อยู่ในรูปของโดเมนความถี่ แล้วจึงวิเคราะห์ความถี่โรเตอร์สล็อตฮาร์โมนิกส์เพื่อหาค่าความเร็วรอบ ซึ่งลักษณะโดยรวมของโครงการจะเริ่มจาก ใช้ตัวลดทอนกระแส (Current Transducer) แปลงค่ากระแสที่ป้อนเข้ามอเตอร์ให้เป็นแรงดันแล้วจึงแปลงค่าให้เป็นสัญญาณทางดิจิทัล แล้วจึงนำไปประมวลผล ฟาสต์ฟูเรียร์ นำสเปกตรัมที่ได้มาวิเคราะห์หาค่าตำแหน่งของโรเตอร์สล็อตฮาร์โมนิกส์ เพื่อนำไปคำนวณหาความเร็วมอเตอร์ต่อไป

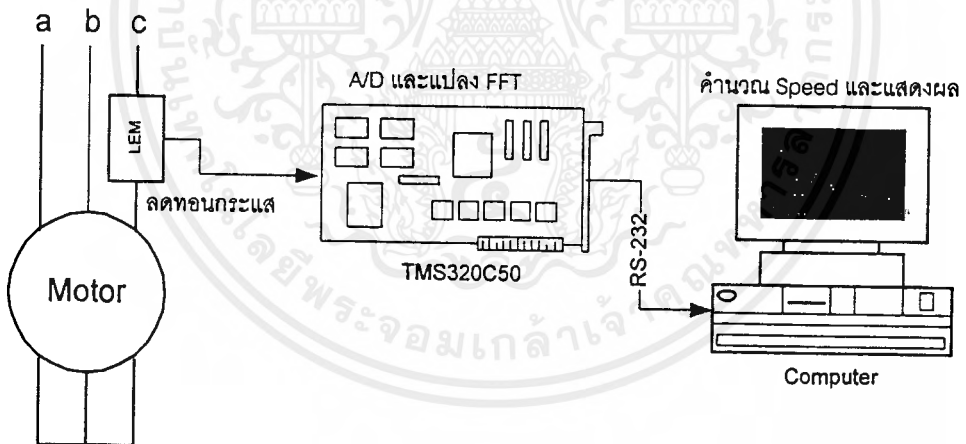
ซึ่งการศึกษาในโครงการนี้แบ่งเป็น 2 ลักษณะคือ

1. การประมวลผลแบบออฟไลน์ (Off Line) ซึ่งทำโดยการใช้ ดิจิตอลสตอเรจสโคป รุ่น HP 54520C ทำการแปลงค่าสัญญาณที่ส่งมาจากหน่วยลดทอนกระแส ให้เป็นสัญญาณทางดิจิทัล บันทึกข้อมูลลงแผ่นดิสก์ แล้วใช้โปรแกรม MATLAB แปลงฟาสต์ฟูเรียร์ วิเคราะห์สเปกตรัม คำนวณความเร็ว และแสดงผลลัพธ์



รูปที่ 1.1 บล็อกไดอะแกรมแสดงการประมวลผลแบบออฟไลน์ (Off Line)

2. การประมวลผลแบบเรียลไทม์ (Real Time) ซึ่งได้ใช้บอร์ดประมวลผล DSP รุ่น TMS320C50 เป็นตัวรับสัญญาณจากหน่วยลดทอนกระแส แปลงให้เป็นสัญญาณดิจิทัล ทำการแปลง ฟาสต์ฟูเรียร์ แล้วส่งผลลัพธ์ไปแสดงออกทางคอมพิวเตอร์และวิเคราะห์สเปกตรัมเพื่อคำนวณหาความเร็ว



รูปที่ 1.2 บล็อกไดอะแกรมแสดงการประมวลผลแบบเรียลไทม์ (Real Time)

ซึ่งในโครงการนี้ได้ทำการทดลองกับมอเตอร์หลายแบบคือ มอเตอร์เหนี่ยวนำชนิดโรเตอร์กรงกระรอก (Squirrel Cage) ขนาด 1 แรงม้า, ขนาด 2 แรงม้า, มอเตอร์เหนี่ยวนำชนิดโรเตอร์พันขดลวด (Wound Rotor) ขนาด 1 KW ภาระ (Load) ที่ใช้มี 2 แบบคือ โหลดทางกล และโหลดทางไฟฟ้า (ต่อผ่าน DC Generator) และการทดลองที่แรงดันไฟตก (Under Voltage) และแรงดันไฟเกิน (Over Voltage)

บทที่ 2

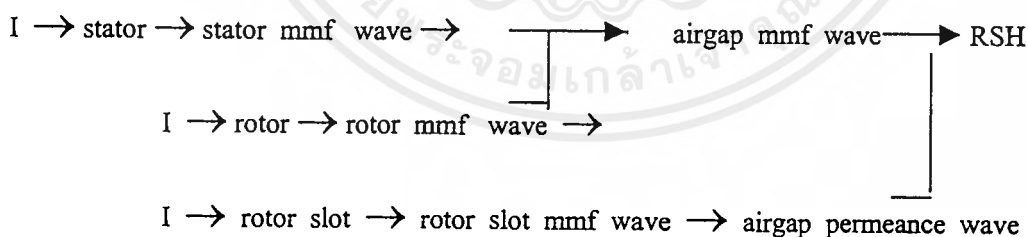
การใช้โรเตอร์สล็อตอาร์โมนิคส์ในการหาค่าความเร็วของ

มอเตอร์เหนี่ยวนำ

2.1 การเกิดโรเตอร์สล็อตอาร์โมนิคส์

2.1.1 การเกิดจากแหล่งจ่ายที่เป็นไซน์ (Sinusoidal)

ในมอเตอร์เหนี่ยวนำเมื่อเราจ่ายไฟฟ้ากระแสสลับ ที่มีลักษณะของรูปแบบสัญญาณ (Wave form) ของศักดาไฟฟ้าเป็นแบบไซน์ (Sinusoidal) จะทำให้เกิดสนามแม่เหล็กภายในช่องอากาศ (Airgap field) และเกิดแรงเคลื่อนแม่เหล็กภายในช่องอากาศ (Magnetomotive Force : Airgap mmf) ขึ้น และจะมีลักษณะการกระจายเป็นแบบไซน์ และเราพิจารณาให้ที่โรเตอร์มีลักษณะเป็นร่องสล็อต (slotting) ที่สเตเตอร์มีลักษณะที่เรียบ (smooth) การเกิดโรเตอร์สล็อตอาร์โมนิคส์สามารถพิจารณาได้โดยย่อจากแผนภูมิด้านล่าง



เมื่อเราจ่ายศักดาไฟฟ้า 3 เฟสให้กับมอเตอร์จะเกิดแรงเคลื่อนแม่เหล็กไฟฟ้าในช่องอากาศขึ้น (airgap mmf wave) ซึ่งแรงเคลื่อนแม่เหล็กในช่องอากาศนี้เกิดมาจากผลของแรงเคลื่อนแม่เหล็กจากสเตเตอร์และแรงเคลื่อนแม่เหล็กที่โรเตอร์ (stator mmf wave and rotor mmf wave) เนื่องจากการที่มีกระแสไหลในสเตเตอร์และโรเตอร์ ในขณะเดียวกันในช่องอากาศจะเกิดความเป็นตัวนำแม่เหล็กของช่องอากาศ (airgap permeance) ขึ้น ซึ่งการกระจายของความเป็นตัวนำแม่เหล็กภายในช่องอากาศนี้จะกระจายอย่างไม่เรียบ (variation) เนื่องจากผลของการที่โรเตอร์มีความเป็นสล็อตนั่นเอง

พิจารณาสมการของความหนาแน่นของฟลักซ์แม่เหล็กภายในช่องอากาศ

$$B_{ag}(\varphi_E, \theta_{rm}) = MMF(\varphi_E, \theta_{rm}) \cdot P_{ag}(\varphi_E, \theta_{rm})$$

เมื่อ B_{ag} คือ ความหนาแน่นของฟลักซ์แม่เหล็ก

MMF_{ag} คือ แรงเคลื่อนแม่เหล็กในช่องอากาศ

P_{ag} คือ ความเป็นตัวนำแม่เหล็กในช่องอากาศ

φ_s คือ ทิศทางเชิงมุมของสเตเตอร์ (stator angular position)

θ_{rm} คือ ทิศทางทางกลของโรเตอร์ (mechanical rotor position)

ดังนั้นเมื่อความเป็นตัวนำทางแม่เหล็กของอากาศไม่เรียบแล้วย่อมส่งผลให้ความหนาแน่นของฟลักซ์แม่เหล็กในช่องอากาศเกิดความผิดปกติขึ้นด้วย ทำให้ในช่องอากาศนี้จะเกิดฮาร์โมนิกส์ขึ้นมาซึ่งฮาร์โมนิกส์ที่เกิดขึ้นมาจะมีความสัมพันธ์กับความเร็วของมอเตอร์ ขนาดกระแส และจำนวนโรเตอร์ฮาร์โมนิกส์ที่เกิดขึ้นก็คือ "โรเตอร์สล็อตฮาร์โมนิกส์" (Rotor slot harmonics) นั่นเอง

โรเตอร์สล็อตฮาร์โมนิกส์ที่เกิดขึ้นจะเหนี่ยวนำทำให้เกิดกระแสฮาร์โมนิกส์ไหลในขดลวดสเตเตอร์โดยที่ค่าของความถี่จะไม่มีการเปลี่ยนแปลงจากเดิม และมีรูปแบบของกระแสฮาร์โมนิกส์ที่ถูกเหนี่ยวนำในเฟส A เป็น

$$I_a(t) = \sum_{v=0}^2 A_v \cos(\omega_v t - \psi_v)$$

โดยที่ $A_v =$ ขนาด

$\psi_v =$ เฟสขององค์ประกอบฮาร์โมนิกส์ที่ v^{th}

phase shift = $2\pi/3, 4\pi/3$

ซึ่งถ้าเราพิจารณาองค์ประกอบฮาร์โมนิกส์ต่างๆ ในกระแสสเตเตอร์ (หรืออาจจะพิจารณาจากสัปดาห์ก็ได้) จะได้สมการความสัมพันธ์พื้นฐานของโรเตอร์สล็อตฮาร์โมนิกส์ เป็น

เอกสารนี้เป็นเอกสารที่สงวนไว้สำหรับการใช้งานเพื่อการศึกษาเท่านั้น ไม่อนุญาตให้นำไปใช้ประโยชน์ด้านการค้าไม่ว่ากรณีใดๆ ทั้งสิ้น อีกทั้งห้ามมิให้ตัดแปลงเนื้อหาและต้องอ้างอิงถึงเจ้าของเอกสารทุกครั้งที่มีการนำไปใช้

$$\omega_{sh} = \frac{Z}{P} \omega_r \pm \omega_0$$

โดยที่ ω_{sh} = ความถี่เชิงมุมของโรเตอร์สลีทฮาร์โมนิกส์

ω_r = ความถี่เชิงมุมของโรเตอร์

ω_0 = ความถี่เชิงมุมของกระแสที่ป้อนเข้าที่สเตเตอร์

Z = จำนวนโรเตอร์สลีท

P = จำนวนของคู่ขั้วแม่เหล็ก (Pole – Pair)

เราสามารถที่จะคำนวณค่าความเร็วของมอเตอร์เหนี่ยวนำได้จาก $\omega = 2 \pi f$ จะได้สม

การเป็น

$$f_{sh} = \frac{Z}{P} f_r \pm f_0 \quad \text{เมื่อ } Z/P = 3N \pm 1 ; N = 1, 2, \dots \dots 1.)$$

และนอกจากนี้ความสัมพันธ์ที่เราสามารถพบได้บ่อยๆและนำมาใช้ในโครงงานนี้ก็คือ

$$f_{sh} = \left[Z \frac{(1-s)}{P} \pm 1 \right] f_0 \quad \dots \dots 2.)$$

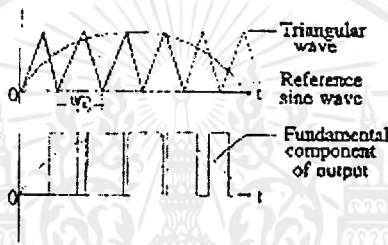
โดยที่ f_{sh} เป็นความถี่ของโรเตอร์สลีทฮาร์โมนิกส์ (เฮิร์ต)

f_0 เป็นความถี่ของแหล่งจ่ายศักดาไฟฟ้าที่สเตเตอร์

ในการวิเคราะห์ในข้างต้นจะเป็นเพียงการคิดความเป็นสลีทเพียงข้างเดียวหรือการพิจารณาที่คิดเสมือนว่าสเตเตอร์ราบเรียบและมีเพียงโรเตอร์เท่านั้นที่มีลักษณะที่เป็นสลีท ในทางปฏิบัติแล้วเราจะต้องคิดความเป็นสลีทของทั้งสเตเตอร์และโรเตอร์ แต่ในกรณีเครื่องจักรกลไฟฟ้ามีจำนวนขั้วน้อย ความเป็น สลีทของสเตเตอร์จะถือว่าไม่มีผลกับความนำแม่เหล็กในช่องอากาศ

2.1.2 การเกิดจากแหล่งจ่ายที่ไม่เป็นไซน์(Non – Sinusoidal)

ในการวิเคราะห์หัวข้อแรกเราพิจารณาว่าแหล่งจ่ายคักคาของมอเตอร์เหนี่ยวนำแบบ 3 เฟส เป็นแหล่งจ่ายที่มีความสมมาตร (Symmetrical) และมีความเป็นไซน์ แต่ในความเป็นจริงแล้ว คักคาและกระแสที่ป้อนให้กับมอเตอร์นั้นจะไม่มีทางที่จะเป็นไซน์ที่แท้จริง (Pure sinusoidal) ได้เลย จะมีการผิดเพี้ยนของรูปสัญญาณ(distortion)อยู่ ตัวอย่างเช่นการใช้วงจรขับมอเตอร์ (motor drive) ที่เป็นแบบพัลส์วิดมอดคูลชัน (PWM) ที่มีส่วนประกอบของ inverter มาใช้งานกันอย่างกว้างขวาง inverter นี้สามารถจ่ายคักคาหรือกระแสที่เหมือนกันทุกประการในแต่ละเฟส แต่คักคาและกระแสนี้ จะไม่เป็นรูปแบบไซน์ที่สมบูรณ์ แสดงให้เห็นในรูปที่ 2.1



รูปที่ 2.1 แสดงกราฟของกระแสของ PWM ที่ไม่เป็นไซน์

การไม่เป็นไซน์ที่สมบูรณ์แบบจะทำให้เกิดองค์ประกอบของฮาร์โมนิกส์ที่มีความถี่เป็นจำนวนเท่าของความถี่หลักมูลและฮาร์โมนิกส์ที่มีความถี่ที่ไม่เป็นจำนวนเท่าของความถี่หลักมูล (Time and Space Harmonics) ขึ้นจำนวนมาก โดยปกติแล้วการใช้อินเวอร์เตอร์จะทำให้เกิดฮาร์โมนิกส์ในลำดับที่ α โดยที่ $\alpha = 6m \pm 1$ และ $m = 1, 2, 3, \dots$ และจากการที่มีฮาร์โมนิกส์ที่เพิ่มขึ้นมานี้เองจะส่งผลทำให้ความถี่ของโรเตอร์สล็อตฮาร์โมนิกส์เลื่อนไปจากปกติ โดยจะมีความสัมพันธ์เป็น

$$f_{sh} = \frac{Z}{P} f_r \pm \alpha f_0 \quad \text{.....3)}$$

และความสัมพันธ์

$$f_{sh} = \left[Z \frac{(1-s)}{P} \pm \alpha \right] f_0 \quad \text{.....4)}$$

โดยที่ $\alpha = 6M \pm 1$ $M = 1, 2, 3, \dots$

ขนาดของฮาร์โมนิกส์เหล่านี้จะเป็นสัดส่วนผกผันกับลำดับที่ของฮาร์โมนิกส์ อย่างไรก็ตาม ฮาร์โมนิกส์เหล่านี้สามารถถูกกำจัดได้ด้วยการใช้เทคนิคการ switching ที่เหมาะสม

สมการที่สามารถใช้ระบุความสัมพันธ์ของโรเตอร์สล็อตฮาร์โมนิกส์ได้ในทุกๆกรณี ไม่ว่าจะเป็นแหล่งกำเนิดที่เป็นไซน์หรือแหล่งกำเนิดที่ไม่เป็นไซน์ และเป็นสมการต้นแบบของทั้ง 4 สมการที่กล่าวมาแล้ว ได้แก่

$$f_{sh} = f_o \left((kZ + n_d) \left(\frac{1-s}{P} \right) + n_w \right) \quad \dots\dots\dots 5)$$

โดยที่ k เป็นเลขจำนวนเต็ม , Z เป็นจำนวนสล็อตที่โรเตอร์ , P เป็นจำนวนคูโพล , n_d เป็นค่าสัมประสิทธิ์ลำดับความบิดเบี้ยวของโรเตอร์ (rotor eccentric) , n_w = ค่าลำดับของฮาร์โมนิกส์ของแรงเคลื่อนแม่เหล็กในช่องอากาศ(airgap mmf harmonics order) ซึ่งจะมีค่าดังต่อไปนี้

$$k = 0, 1, 2, 3, \dots \quad \text{โดยปกติเป็น } 1$$

$$n_d = 0, \pm 1, \dots \quad \text{โดยปกติเป็น } 0 \text{ หรือ } 1$$

$$n_w = \pm 1, \pm 3, \dots \quad \text{โดยปกติเป็น } 1 \text{ หรือ } -1$$

ซึ่งค่าเหล่านี้จะมีค่าที่ต่างกันในแต่ละตัว จะต้องมีการทดสอบมอเตอร์ที่จะนำมาวัดความเร็ว

2.2 พัฒนาการของการหาความเร็วโดยใช้ โรเตอร์สล็อตฮาร์โมนิกส์

การศึกษาการใช้โรเตอร์สล็อตฮาร์โมนิกส์มาช่วยในการหาความเร็วของมอเตอร์นั้น ได้เริ่มโดยศึกษาของ Ishida Hayashi และ K. Iwata ใช้เทคนิคในการหาโรเตอร์สล็อตฮาร์โมนิกส์ โดยการใช้วงจรกรองแบบอนุภาค [1] ต่อมา B. Williams I. Goodfellow และ T.C.Green ใช้วงจรกรองแบบ switched capacitor filter ได้ถูกประยุกต์ร่วมกับวิธีของ Ishida [2]1 และเทคนิค Phase Lock Loop ถูกนำมาใช้ในการหาโรเตอร์สล็อตฮาร์โมนิกส์ โดย D. Zinger, F. Profumo, T. Lipo , และ D.Novotny [3]1

ซึ่งเทคนิคที่กล่าวมาแล้วต่างก็มีข้อจำกัดในด้าน ความถูกต้อง, ความเป็นเชิงเส้น, Resolution, ขอบเขตของความถี่มอดูเลเตอร์, ความเร็วในการตอบสนอง ซึ่งการแก้ปัญหาเหล่านี้จะเกิดกับการใช้การประมวลผลแบบอนาล็อก ดังนั้นจึงได้มีการพัฒนาขึ้นเป็นการใช้วิธีการทางดิจิทัล จำนวนสเปกตรัมความถี่ โดยใช้การแปลง ฟาสต์ฟูเรียร์ ในการทดลองของ A, Ferrah, K.J.Bradley ในปี 1992 [4]1 ซึ่งประสบความสำเร็จอย่างมากในด้านความถูกต้องและความเป็นเชิงเส้นที่สูงขึ้น สามารถใช้งานได้ที่ช่วงความเร็วของมอดูเลเตอร์ที่กว้างขึ้น และที่เงื่อนไขของโหลดที่มากขึ้น แต่วิธีการแปลงฟาสต์ฟูเรียร์ ยังมีข้อจำกัดอยู่ที่ frequency resolution และความเร็วในการตอบสนอง(คำนวณ) คือถ้าเราต้อง frequency resolution ค่าๆแล้ว(เพื่อความถูกต้องมากขึ้น)จะทำได้โดยการลดอัตราการ Sampling หรือ เพิ่มจำนวนข้อมูลที่สุ่มเข้ามาซึ่งทำให้ความเร็วในการตอบสนองช้า

การทำการประมาณ (Interpolation) สามารถช่วยปรับปรุง frequency resolution โดยที่เรารับข้อมูล

เข้ามาเรื่อยๆ แล้วทำการ Interpolate ทำให้ได้ข้อมูลมากขึ้นเป็นผลทำให้ frequency resolution มีค่าต่ำลงได้ ซึ่ง Brasco [5]1 ใช้ช่วยทำการ Vector controlled

เพื่อลดข้อจำกัดที่เกิดขึ้นโดยปกติเมื่อใช้ วิธีการแปลงฟาสต์ฟูเรียร์ เช่น Spectrum Leakage ,ความต้องการ resolution ค่าๆที่ข้อมูลบันทึกมาสั้นๆ จึงได้มีการประยุกต์วิธีใหม่ในการประเมินสเปกตรัม วิธีเหล่านี้เป็นวิธีการทำนายเกี่ยวกับพารามิเตอร์ ซึ่งมันต้องการข้อมูลก่อน (A priori knowledge) เพื่อที่จะทำสัญญาณกระแสให้เหมาะกับรูปแบบ Stochastic แล้วใช้รูปแบบการทำนายเชิงเส้นในอันที่ซึ่ง ตัวอย่าง(Samples)ของสัญญาณล่วงหน้าถูกทำนายโดยการรวมกันเชิงเส้นของตัวอย่างก่อนหน้า กับ ตัวอย่างปัจจุบัน รูปแบบของพารามิเตอร์ ที่ได้จากการรวมกันจนได้ค่าที่ดีที่สุด จะทำให้เป็นสัญญาณสเปกตรัม วิธีการเก็บยอด (A peak picking algorithm) [4] จะนำมาใช้ในการหาตำแหน่งขององค์ประกอบที่สนใจในสเปกตรัมที่เกิดขึ้น และคำนวณหาความเร็ว

วิธีเกี่ยวกับพารามิเตอร์ ประกอบด้วย วิธี Batch หลายๆแบบ และวิธีการทำซ้ำ (recursive methods)

- วิธี Batch ประกอบด้วย

วิธี Maximum Entropy [8] , วิธี Covariance [9] , วิธีProny [10]

- วิธีการทำซ้ำ (Recursive)

เทคนิคการปรับการทำนาย(predictive adaptive techniques) โดยใช้ LMS (The least mean squares) [11] , วิธี FRLS (The fast recursive least-squares) [12] , ขั้นตอนดำเนินการของ Kalman [13] (Kalman Algorithm)

วิธีการต่างๆข้างต้นเป็นทางเลือกสำหรับแทนการแปลงฟาสต์ฟูเรียร์ มีประสิทธิภาพในการลดระยะเวลาการบันทึก ดังนั้นทำให้การหาความเร็วทำได้เร็วขึ้น ในเทคนิคทั่วไปเหล่านี้ จำเป็นต้องใช้วงจรกรองช่วงความถี่แบบดิจิทัล (Digital band pass filter) ในการกรอง เพื่อรับข้อมูลเพียงที่อยู่ในช่วงที่เราต้องการที่จะได้นำไปสร้าง Model และนำไปคำนวณหาลำดับ (order) ของ stochastic วิธีนี้ทำให้ลดเวลาในการคำนวณความเร็ว อย่างไรก็ตามวิธีการเหล่านี้ก็จะมีประสิทธิภาพน้อยกว่าวิธีการแปลงฟาสต์ฟูเรียร์

FRLS เป็นที่ยอมรับกันว่าเป็นวิธีการคำนวณแบบการทำซ้ำ (recursive) ที่เร็วที่สุด แต่อย่างไรก็ตามการหาความเร็วที่ภาวะ Steady - State วิธีการแปลงฟาสต์ฟูเรียร์ จะให้ความถูกต้องมากกว่า

การใช้การแปลงฟาสต์ฟูเรียร์ ร่วมกับ batch method ถูกใช้อย่างสมบูรณ์ในการที่จะแสดงผลในจุดที่มีประสิทธิภาพมากที่สุด ในขณะที่ใช้ค่าใช้จ่าย(เวลา)ที่น้อยที่สุด

แต่ในการวิจัยนั้นมิได้มุ่งไปที่เพียงวัดค่าความเร็วเพียงอย่างเดียว ยังสามารถประยุกต์เป็นวิธีการที่จะสามารถบอกจำนวนของโรเตอร์สล็อตโดยอัตโนมัติจากสเปกตรัมของกระแสเพื่อนำไปใช้ในอุปกรณ์จำพวกทำหน้าที่ได้ด้วยตัวเอง (Self Commissioning) เช่น AC Drive เพราะจำนวนของโรเตอร์สล็อต เป็นพารามิเตอร์ ของเครื่องจักรกลไฟฟ้าที่ผู้ผลิตจะไม่บอกมา

2.3 วิธีการวิเคราะห์หาโรเตอร์สล็อตฮาร์โมนิกส์

ในรอบหลายปีที่ผ่านมา ได้มีการเสนอเทคนิคและวิธีการในการคำนวณหาความเร็วของมอเตอร์เหนี่ยวนำ ทั้งที่เป็นเทคนิคทางอนาล็อกและดิจิทัล ซึ่งในปัจจุบันนี้วิธีการส่วนใหญ่จะใช้เทคนิคทาง ดิจิทัลเนื่องจากช่วยเพิ่มค่าความถูกต้องให้กับการคำนวณ และในด้านของความเร็ววนั้นอุปกรณ์ที่เป็น ดิจิทัลได้มีการพัฒนาให้มีความรวดเร็วมากขึ้น.

ในช่วง 30 ปีที่ผ่านมา จะมีการใช้ทฤษฎีของ parametric method ในการช่วยปรับปรุงข้อเสียของการแปลงฟูรีเยร์ เช่น ในเรื่องของความยาวของการเก็บข้อมูล การใส่หน้าต่าง (windowing) และการประมาณค่าภายในช่วง (interpolation) ฯลฯ ซึ่งเทคนิควิธีการต่างๆ นั้นอาจจะสามารถแบ่งแยกได้ตามการใช้ข้อมูลในการประมวลผลได้เป็น 2 ประเภทใหญ่ๆ ได้แก่

- วิธีการคำนวณที่ใช้การรับข้อมูลเข้ามาเป็นชุดๆ (batch data)
- วิธีการคำนวณที่ใช้การรับข้อมูลเข้ามาแบบต่อเนื่อง (sequential data)

1. Batch Algorithm

วิธีการนี้ข้อมูลที่จะนำมาประมวลผลจะถูกส่งเข้ามา โดยมีการกำหนดขนาดของข้อมูลเอาไว้ก่อนหน้าแล้ว วิธีการเกี่ยวกับพารามิเตอร์ ที่ใช้ batch algorithm จะประกอบไปด้วยหลายวิธี เช่น

- Georizel algorithm (GAL)
- Fast Furrier Transform (FFT)
- Covariance method
- Prony method
- Maximum Entropy Method (MEM)

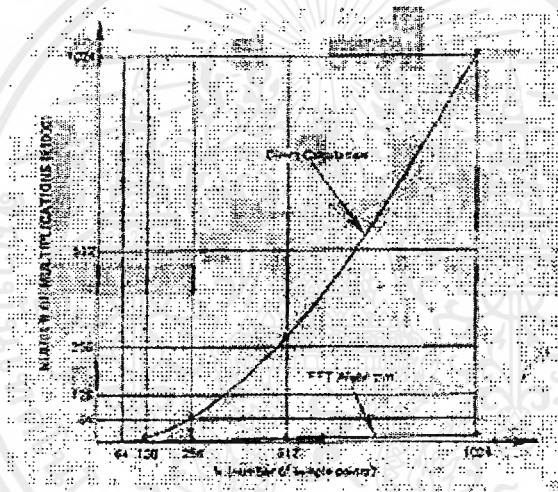
วิธีการ Covariance และ วิธี Prony เป็นวิธีที่ไม่นิยมมากนัก แต่ถ้าผู้อ่านสนใจอาจจะหาข้อมูลเพิ่มเติมได้ที่บทความ “Block time and frequency – domain modified covariance method of spectrum analysis” และหนังสือ “Advance of calculus application, Practice – Hall โดย F.B.Hildenberg ตามลำดับ

FFT กับ GAL ในรายงานฉบับนี้จะได้เสนอเกี่ยวกับ หลักการและข้อดีข้อเสียของ FFT และ GAL วิธีการแปลงฟูรีเยร์ (Fast Furrier Transform) จะเป็นการทำการแปลงฟูรีเยร์แบบเต็มหน่วย (Discrete Furrier Transform) : DFT อย่างหนึ่ง แต่จะมีขั้นตอนการลดทอนจำนวนครั้งของการคิดให้น้อยลงกว่าการแปลงฟูรีเยร์แบบโดยตรง ซึ่งจะมีทั้งการลดทอนทางเวลา และการลดทอนทางความถี่ แต่วิธี GAL จะเป็นการคำนวณ การแปลงฟูรีเยร์แบบเต็มหน่วย โดยเอกสารนี้เป็นเอกสารที่สงวนไว้สำหรับการใช้งานเพื่อการศึกษาเท่านั้น ไม่อนุญาตให้นำไปใช้ประโยชน์ด้านการค้าไม่ว่ากรณีใดๆ ทั้งสิ้น อีกทั้งห้ามมิให้คัดแปลงเนื้อหาและต้องอ้างอิงถึงเจ้าของเอกสารทุกครั้งที่มีการนำไปใช้

ตรงไม่มีการลดทอนขั้นตอน ทำให้ GAL ใช้เวลาในการคำนวณนานกว่าฟาสต์ฟูเรียร์ ความเร็วในการคำนวณสามารถเปรียบเทียบได้โดย สมมติให้มีข้อมูลที่ต้องการแปลง การแปลงฟูเรียร์แบบเต็มหน่วย เป็น N ตัว (ตัวอย่างการสุ่ม)

การแปลงฟูเรียร์แบบเต็มหน่วย โดย GAL ต้องคูณจำนวนเชิงซ้อน N^2 ครั้ง และการบวกจำนวนเชิงซ้อน $N(N-1)$ ครั้ง

การแปลงฟูเรียร์แบบเต็มหน่วยโดยใช้การแปลงฟาสต์ฟูเรียร์แทน ต้องคูณจำนวนเชิงซ้อนเพียง $N/2(\log_2 N)$ ครั้ง และการบวกจำนวนเชิงซ้อนเพียง $N(\log_2 N)$ ครั้ง ความแตกต่างนี้จะมีมากขึ้นเรื่อยๆ เมื่อค่าของ N มีค่ามากขึ้น ดังรูปด้านล่าง



รูปที่ 2.2 แสดงการเปรียบเทียบจำนวนครั้งที่ต้องใช้ในการบวกและคูณจำนวนเชิงซ้อนของทั้ง 2 วิธี

แต่ถ้าที่ในเงื่อนไขที่จำนวนข้อมูลที่น่ามาคิดมีน้อยนั้น วิธี GAL จะสามารถให้ประสิทธิภาพที่ดีกว่า ฟาสต์ฟูเรียร์ และเนื่องจากที่ทั้งสองวิธีมีพื้นฐานที่เหมือนกัน ดังนั้นจึงมีปัญหาก็เหมือนกันคือ- การเกิดการซ้อนทับกันของความถี่ (aliasing) การเกิดการรั่วไหลของพลังงาน (leakage) ปรากฏการณ์ picket fence และ frequency resolution ไม่ดีพอ

ซึ่งปัญหาในบางกรณีก็สามารถปรับปรุงได้เช่น การเกิดการซ้อนทับกันของความถี่เราสามารถแก้ได้โดยการใช้อัตราการสุ่มสัญญาณให้มากกว่า 2 เท่าของสัญญาณที่พิจารณา และถ้าหากมีข้อมูลไม่เพียงพอ อาจใช้การ interpolate ข้อมูลขึ้นมาก็ได้ frequency resolution สามารถปรับปรุงได้โดยการเพิ่มจำนวนของข้อมูลที่ใช้ในการคำนวณ เพราะว่าการเพิ่มจำนวนข้อมูลเป็น

การลด frequency resolution ($F_{res} = F_{sam}/N$) จะทำให้มีความถูกต้องมากขึ้น หรืออาจจะลดความถี่ของการสุ่มสัญญาณ ($F_{sampling}$) แต่จะไม่นิยมทำเพราะจะทำให้เกิดการ aliasing ได้ แต่การเพิ่มจำนวนของข้อมูลจะทำให้เสียเวลาในการประมวลผลมากขึ้น

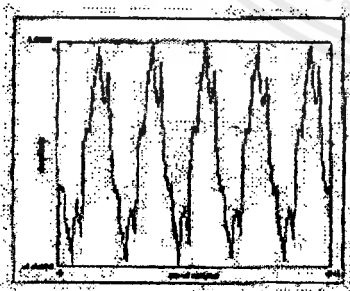
2. Adaptive Algorithm

เนื่องจาก โรเตอร์สล็อตฮาร์โมนิกส์ จะมีการเปลี่ยนแปลงตามโหลด และ ความถี่ของ inverter ที่ใช้เป็นแหล่งจ่ายศักดาไฟฟ้า ดังนั้นสัญญาณไม่ควรถูกสมมุติให้หยุดนิ่งภายในกรอบ (Stationary in window) แต่วิธีของ FFT และ MEM จะสมมุติสัญญาณให้หยุดนิ่งอยู่ภายในกรอบของข้อมูล

วิธีที่หนึ่งที่ใช้แทนการสมมุติให้สัญญาณอยู่นิ่งภายในกรอบ คือ การทำ moving data window แต่ไม่สามารถนำไปใช้ในวิธีฟาสต์ฟูเรียร์ได้ เนื่องจากทำได้ยากและไม่มีทางเป็นไปได้ ถ้าหากนำไปประยุกต์ใน MEM สามารถทำได้โดยง่าย เพราะเราสามารถที่จะใช้กรอบข้อมูลขนาดเล็กในวิธีของ MEM ได้ แต่เทคนิคนี้ยังมีข้อจำกัดที่เราต้องสมมุติข้อมูลหยุดนิ่งภายในกรอบเล็กๆอยู่ดี

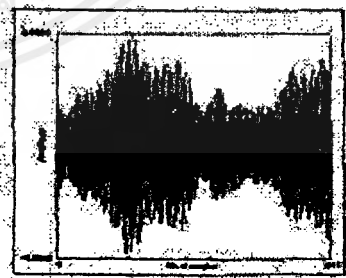
Adaptive Algorithm นี้เป็นเทคนิคที่พบมากในการหาค่าสัมประสิทธิ์ของ วิธีการคำนวณ Autoregressive โดยใช้หลัก Sample-by-sample. Adaptive Algorithm ที่ง่ายที่สุดคือ LMS และวิธีอื่นที่น่าสนใจ เช่น FRLS และ KF

รูปแสดงการเปรียบเทียบสเปกตรัมจากวิธีต่างๆ

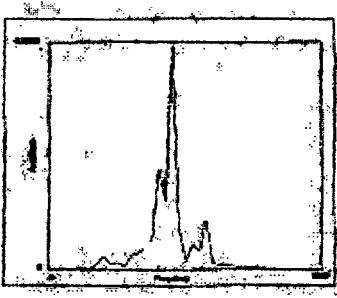


รูปที่ 2.4 สัญญาณกระแสที่สเตเตอร์ที่

ความถี่ 50 Hz

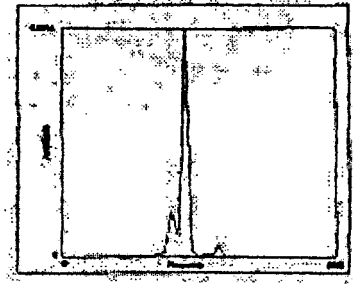


รูปที่ 2.5 สัญญาณเมื่อผ่านตัวกรองดิจิทัล



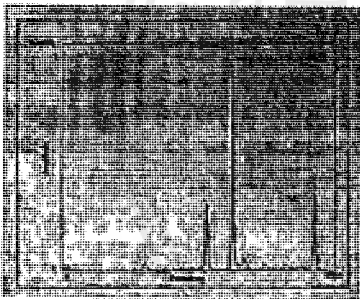
รูปที่ 2.6 สเปกตรัมของสัญญาณที่ผ่าน

การกรอง โดยใช้ FFT



รูปที่ 2.7 สเปกตรัมของสัญญาณที่ผ่าน

การกรอง โดยใช้ GAL



รูปที่ 2.8 สเปกตรัมของสัญญาณที่ผ่าน

การกรอง โดยใช้ MEM



รูปที่ 2.9 สเปกตรัมของสัญญาณที่ผ่าน

การกรอง โดยใช้ FRLS

ซึ่งในโครงการนี้เลือกศึกษาการวิเคราะห์โรเตอร์สล็อตฮาร์มอนิกส์โดยใช้ฟาสต์ฟูเรียร์ เพราะเป็นวิธีที่เหมาะสมกับพื้นฐานต่างๆที่มีอยู่ และสร้างความเข้าใจเบื้องต้นเกี่ยวกับพฤติกรรมของโรเตอร์สล็อตฮาร์มอนิกส์

เอกสารนี้เป็นเอกสารที่สงวนไว้สำหรับการใช้งานเพื่อการศึกษาเท่านั้น ไม่อนุญาตให้นำไปใช้ประโยชน์ด้านการค้าไม่ว่ากรณีใดๆ ทั้งสิ้น อีกทั้งห้ามมิให้ดัดแปลงเนื้อหาและต้องอ้างอิงถึงเจ้าของเอกสารทุกครั้งที่มีการนำไปใช้

บทที่ 3

การแปลงฟูรีเยร์ (Fast Furier Transform)

3.1 บทนำ (Introduction)

โดยทั่วไปเราอาจกล่าวได้ว่าฟังก์ชันต่อเนื่อง (Continuos Function) ใดๆ ที่มีการซ้ำๆ ทุกๆช่วงเวลา T เราจะสามารถเขียนให้อยู่ในรูปผลบวกของคลื่นไซน์ (Sine wave) ที่มีความถี่หลักมูล(Fundamental) กับความถี่ฮาร์โมนิกส์ที่ลำดับสูงขึ้นไป ซึ่งเป็นจำนวนเท่าของความถี่หลักมูลได้เสมอ

ดังนั้นในการวิเคราะห์สัญญาณจะกล่าวถึงกระบวนการในการคำนวณขนาด (Magnitude)และมุมเฟส (Phase angle) ของแต่ละส่วนประกอบที่เป็นมูลฐานและในลำดับฮาร์โมนิกส์ที่สูงขึ้น ผลของอนุกรมที่ได้เรียกว่า “อนุกรมฟูรีเยร์”(Furier Series) ซึ่งแสดงความสัมพันธ์ในรูปโดเมนเวลา (Time domain) และ โดเมนความถี่ (Frequency domain)

ในกรณีการวิเคราะห์สำหรับฟังก์ชันทั่วไป ซึ่งอยู่ในช่วง $-\infty$ ถึง ∞ จะทำการวิเคราะห์โดยอาศัยการแปลงฟูรีเยร์ (Furier Transform) ซึ่งเป็นการแปลงฟังก์ชันในโดเมนเวลาไปสู่โดเมนความถี่ และ อินเวอร์สการแปลงฟูรีเยร์ (Inverse Furier Transform) ซึ่งเป็นการแปลงฟังก์ชันในโดเมนความถี่ไปสู่โดเมนเวลา ดังนั้นเราอาจกล่าวได้ว่า อนุกรมฟูรีเยร์เป็นกรณีหนึ่งของการแปลงฟูรีเยร์

อย่างไรก็ตามในทางปฏิบัติ ข้อมูลหรือค่าที่จะทำการวิเคราะห์เป็นค่าซึ่งได้จากการสุ่มค่า (Sampled data) ของฟังก์ชันในโดเมนเวลาซึ่งค่าที่ได้จะอยู่ในรูปของขนาดของฟังก์ชัน ณ เวลาที่ทำการสุ่ม ซึ่งระยะห่างของการสุ่มแต่ละครั้งจะเป็นช่วงเวลาที่แน่นอน ในการแปลงฟูรีเยร์ของค่าที่ได้จากการสุ่มเหล่านี้จะต้องใช้การแปลงที่เรียกว่า การแปลงฟูรีเยร์เต็มหน่วย (Discrete Furier Transform: DFT) เนื่องจาก การแปลงฟูรีเยร์เต็มหน่วยนั้นใช้เวลาในการประมวลผลค่อนข้างมาก เราสามารถทำการแปลงฟูรีเยร์เต็มหน่วยให้รวดเร็วขึ้นได้โดยการอาศัยวิธีการที่เรียกว่า การแปลงฟูรีเยร์ (Fast Furier Transform : FFT) ซึ่ง FFT เป็นวิธีการพื้นฐานซึ่งถือได้ว่ารวดเร็วและได้รับการยอมรับมากในการนำมาวิเคราะห์รูปแบบต่างๆ ดังนั้นในการวิเคราะห์สัญญาณที่จะกล่าวต่อไป จะเน้นในส่วนของ FFT

3.2 การวิเคราะห์อนุกรมฟูรีเยร์ (Fourier Series Analysis)

อนุกรมฟูรีเยร์ของฟังก์ชันคาบ (Periodic function) $X(t)$ ใดๆ อาจแสดงได้ดังนี้

$$X(f_n) = \sum_{n=-\infty}^{\infty} X(f_n) e^{-j2\pi f_n t} \quad (3.1)$$

โดยที่ a_0 เป็นค่าเฉลี่ยของฟังก์ชัน $X(t)$

a_n และ b_n เป็นสัมประสิทธิ์ของอนุกรมของฟังก์ชัน $X(t)$

เมื่อ

$$a_0 = \frac{1}{T} \int_{-T/2}^{T/2} X(t) dt \quad (3.2)$$

ซึ่งหมายถึงพื้นที่ใต้กราฟของ $X(t)$ ในช่วง $T/2$ ถึง $-T/2$

$$a_n = \frac{2}{T} \int_{-T/2}^{T/2} X(t) \cos\left(\frac{2\pi f_n t}{T}\right) dt \quad \text{โดยที่ } n = 1 \rightarrow \infty \quad (3.3)$$

และ

$$a_n = \frac{2}{T} \int_{-T/2}^{T/2} X(t) \cos\left(\frac{2\pi f_n t}{T}\right) dt \quad \text{โดยที่ } n = 1 \rightarrow \infty \quad (3.4)$$

นอกจากนั้นเราสามารถเขียนฟังก์ชันคาบใดๆให้อยู่ใน อนุกรมฟูรีเยร์รูปเชิงซ้อน (Complex Form of the Fourier series) ได้ในรูปต่อไปนี้

$$x(t) = A_0 + A_2 \sin(\omega t + \phi) + A_2 \sin(2\omega t + \phi) + \dots \quad (3.5)$$

โดยแต่ละลำดับของอนุกรมอาจสามารถเขียนได้ดังนี้

$$X(f_n) = \frac{1}{T} \int_{-T/2}^{T/2} x(t) e^{-j2\pi f_n t} dt \quad \text{เมื่อ } f_n = nf \quad (3.6)$$

โดยที่ $e^{-j2\pi f_n t}$ เป็นเวกเตอร์หนึ่งหน่วย และ $x(t)$ ใดๆ เราสามารถเขียนในรูปเชิงซ้อนได้ดังนี้

$$x(t) = \sum_{n=-\infty}^{\infty} X(f_n) e^{-j2\pi f_n t} \quad \text{และ} \quad f_n = -f_n \quad (3.7)$$

3.3 การแปลงฟูรีเยร์ (Fourier Transform)

ในการวิเคราะห์ฟูรีเยร์นั้น สำหรับสัญญาณที่เป็นคาบ เราจะได้ว่าผลการวิเคราะห์จะอยู่ในรูปของอนุกรมของแต่ละความถี่ซึ่งเป็นจำนวนเท่าของความถี่หลักมูลเท่านั้น (Series of discrete frequency component) ถ้าเรานำมาประยุกต์ใช้กับสัญญาณซึ่งต่อเนื่องทั่วไปซึ่งไม่จำเป็นต้องเป็นสัญญาณที่เป็นคาบ โดยขยายการการอินทิเกรตในช่วงคาบ T ให้กว้างมาก ๆ หรือเป็นช่วง ∞ นั่นเอง ดังนั้นช่วงกว้างของแต่ละความถี่จึงเข้าใกล้ศูนย์ ดังนั้นเราจะได้ ฟังก์ชัน $X(f)$ เป็นฟังก์ชันต่อเนื่องหรือเราอาจเขียนใหม่ได้เป็น

$$X(f) = \int_{-\infty}^{\infty} x(t) e^{-j2\pi f t} dt \quad (3.8)$$

โดยที่ $x(t)$ เป็นฟังก์ชันโดเมนเวลาซึ่งต่อเนื่อง และเรียก $X(f)$ ว่าเป็นการแปลงฟูรีเยร์ของโดเมนเวลา $x(t)$ ในทางกลับกัน เราจะได้

$$x(t) = \int_{-\infty}^{\infty} X(f) e^{j2\pi f t} dt \quad (3.9)$$

เรียก $X(f)$ ว่าเป็นอินเวอร์ตการแปลงฟูรีเยร์ของฟังก์ชัน โดเมนความถี่ $X(f)$ โดยค่า $X(f)$ จะอยู่ในรูปเชิงซ้อนซึ่งอาจเขียนได้ดังนี้

$$X(f) = \text{Re } X(f) + j \text{Im } X(f) \quad (3.10)$$

ส่วนจริงของ $X(f)$ หาได้จาก

$$\begin{aligned} \text{Re } X(f) &= 0.5 \{X(f) + X(-f)\} \\ &= \int_{-\infty}^{\infty} x(t) \cos 2\pi f t dt \end{aligned} \quad (3.11)$$

และส่วนจินตภาพของ $X(f)$ หาได้จาก

$$\begin{aligned} \text{Im } X(f) &= 0.5\{X(f)+X(-f)\} \\ &= \int_{-\infty}^{\infty} x(t) \sin 2\pi f t dt \end{aligned} \quad (3.11)$$

ดังนั้นสเปกตรัมของแอมพลิจูด (Amplitude spectrum) ของแต่ละความถี่หาได้จาก

$$|X(f)| = \sqrt{(\text{Re } X(f))^2 + (\text{Im } X(f))^2} \quad (3.15)$$

และสเปกตรัมของมุมเฟส (Phase spectrum) หาได้จาก

$$\phi(f) = \tan^{-1} \left(\frac{\text{Im } X(f)}{\text{Re } X(f)} \right) \quad (3.16)$$

3.4 การแปลงฟูรีเยร์แบบเต็มหน่วย (Discrete Fourier Transform)

การแปลงฟูรีเยร์แบบเต็มหน่วยเป็นการแปลงฟูรีเยร์สำหรับข้อมูลในโดเมนเวลาที่ไม่ต่อเนื่อง(ค่าที่ผ่านการสุ่ม) ให้เป็นค่าในโดเมนความถี่ไม่ต่อเนื่องเช่นกัน ผลการแปลงฟูรีเยร์ที่ได้จะประกอบด้วยส่วนประกอบย่อยรวมกันดังนี้

$$X(f_k) = \frac{1}{N} \sum_{n=0}^{N-1} x(t_n) e^{-j2\pi k n / N} \quad (3.15)$$

เรียกการแปลงฟูรีเยร์ลักษณะนี้ว่า การแปลงฟูรีเยร์แบบเต็มหน่วย (Discrete Fourier Transform: DFT)

$$x(t_n) = \sum_{k=0}^{N-1} X(f_k) e^{-j2\pi k n / N} \quad (3.16)$$

และเรียกการแปลงลักษณะนี้ว่า อินเวอร์สการแปลงฟูรีเยร์แบบเต็มหน่วย (Inverse Discrete Fourier Transform: IDFT)

คู่การแปลงฟูรีเยร์ที่ได้จะอยู่ในรูปเต็มหน่วย (Discrete from) ซึ่งเป็นรูปแบบที่เหมาะสมในการนำมาคำนวณโดยการประมวลผลแบบดิจิทัลต่อไปจากสมการที่ 3.15 เราอาจเขียนผลการแปลงในรูปใหม่ได้ดังนี้

$$X(f_k) = \frac{1}{N} \sum_{n=0}^{N-1} x(t_n) W^{kn} \quad (3.17)$$

โดยที่

$$W = e^{-j2\pi/N} \quad (3.18)$$

3.5 การแปลงฟาสต์ฟูรีเยร์ (Fast Fourier Transform : FFT)

โดยทั่วไปการคำนวณ DFT สำหรับสัญญาณเข้าที่ยาว N ลำดับนั้น คอมพิวเตอร์จะท้องทำการคูณจำนวนเชิงซ้อนถึง $N \times N$ ครั้ง และบวกจำนวนเชิงซ้อนอีก $N(N-1)$ ครั้ง ซึ่งโดยทั่วไปคอมพิวเตอร์จะทำการบวกได้ง่ายและเร็วกว่าการคูณมากดังนั้นอาจกล่าวได้ว่า ความเร็วในการคำนวณ DFT ขึ้นอยู่กับจำนวนครั้งการคูณเป็นสำคัญ

เราจะกล่าวถึงวิธีการซึ่งสามารถลดจำนวนครั้งของการคูณลงได้เหลือ $\log_2 N$ ครั้ง หรือจำนวนครั้งลดไปถึง $N/(\log_2 N)$ เท่าซึ่งเรียกวิธีการนี้ว่าการแปลงฟาสต์ฟูรีเยร์ (Fast Fourier Transform หรือ FFT)

3.5.1 การแปลงฟาสต์ฟูรีเยร์แบบฐานสอง (Radix 2 FFT)

- หลักการเบื้องต้นของ FFT

เพื่อความสะดวกเราอาจละพจน์ $1/N$ ในการคำนวณ DFT ดังนั้นการแปลงฟูรีเยร์แบบเต็มหน่วยสำหรับ ลำดับ $x(m)$ ที่ยาว N จุด ที่นิยามคือ

$$X(k) = \sum_{m=0}^{N-1} x(m) W^{mk} \quad (3.20)$$

โดยที่ $k_m = 0, 1, \dots, N-1$ และจำนวนเชิงซ้อน $W = e^{-j2\pi/N}$ และ $x(m)$, $X(k)$ เป็นสัญญาณในโดเมนเวลาและโดเมนความถี่ตามลำดับ

เราสามารถเขียนสมการ (3.23) ในรูปของสมการเมตริกซ์ได้เป็น

$$\{X\} = \{A\} \cdot \{x\} \quad (3.21a)$$

โดยที่ $\{X\}$ และ $\{x\}$ เป็นเวกเตอร์แนวตั้ง (column vector) ที่ประกอบด้วยสมาชิก $X(k)$ และ $x(m)$ ตามลำดับจำนวน N ลำดับ และ $\{A\}$ เป็นเมทริกซ์จัตุรัส (square matrix) ขนาด $N \times N$ ที่มีสมาชิกเป็นจำนวนเชิงซ้อน W^{mk} เช่นถ้าพิจารณากรณีที่ $N = 4$ เราสามารถเขียนแยกออกได้เป็น

$$\begin{bmatrix} X(0) \\ X(1) \\ X(2) \\ X(3) \end{bmatrix} = \begin{bmatrix} W^0 & W^0 & W^0 & W^0 \\ W^0 & W^1 & W^2 & W^3 \\ W^0 & W^2 & W^4 & W^6 \\ W^0 & W^3 & W^6 & W^9 \end{bmatrix} \begin{bmatrix} x(0) \\ x(1) \\ x(2) \\ x(3) \end{bmatrix} \quad (3.21b)$$

แต่เนื่องจากคุณสมบัติความเป็นคาบของ W คือ

$$W^{mk} = W^{[mk \bmod (N)]} \quad (3.22)$$

สมการ (3.21b) อาจเขียนได้เป็น

$$\begin{bmatrix} X(0) \\ X(1) \\ X(2) \\ X(3) \end{bmatrix} = \begin{bmatrix} 1 & 1 & 1 & 1 \\ 1 & W^1 & W^2 & W^3 \\ 1 & W^2 & W^0 & W^2 \\ 1 & W^3 & W^2 & W^1 \end{bmatrix} \begin{bmatrix} x(0) \\ x(1) \\ x(2) \\ x(3) \end{bmatrix} \quad (3.23)$$

คุณสมบัติความเป็นคาบทำให้เราต้องแยกตัวประกอบของเมทริกซ์ ออกเป็นเมทริกซ์ย่อยหลายเมทริกซ์คูณกัน และสมาชิกภายในเมทริกซ์ย่อยให้มีค่าเป็นศูนย์มากที่สุด วิธีการแยกตัวประกอบนี้จะไม่กระทำโดยตรงจาก แต่จะมีการสลับตำแหน่งหรือจัดกลุ่มของเมทริกซ์ด้วยวิธีการกลับบิต (bit reversal) และเมทริกซ์หลังจัดการสลับแถวแล้วนำมาแยกตัวประกอบอีกครั้ง

วิธีการแยกตัวประกอบอาจทำโดยวิธีการใช้ตัวเลขฐานสอง โดยการแทนครรรชนี k และ m ของสมการ (3.20) ด้วยเลขฐานสอง กรณีที่ ครรรชนี k และ m จะมีค่าได้เพียง 0,1,2, และ 3 เท่านั้น ดังนั้น

$$k = (k_p, k_o) \quad , \quad m = (m_p, m_o) \quad (3.24)$$

โดยที่ k_p, k_o, m_p และ m_o เป็นเลขโคคที่มีค่าแค่ 0 และ 1 เท่านั้น ดังนี้

$$k = 2k_p, k_0, \quad m = 2m_p, m_0 \quad (3.25)$$

แทนค่า และ ลงในสมการ (3.20)

$$X(k_p, k_0) = x(m_p, m_0) W^{2m_p(2k_p+k_0)} \quad (3.26)$$

โดยคุณสมบัติความเป็นคาบของ W และ $W^{4m_p k_p} = 1$ ดังนั้นสมการ (3.26) ได้ใหม่เป็น

$$\begin{aligned} X(k_1, k_0) &= \sum_{m_0=0}^1 \left\{ \sum_{m_1=1}^1 x(m_1, m_0) W^{(2m_1 k_0)} \right\} W^{(2k_1+k_0)m_0} \\ &= \sum_{m_0=0}^1 \{ x(k_0, m_0) W^{(2k_1+k_0)m_0} \} \end{aligned} \quad (3.27a)$$

โดยสมมติให้ตัวแปร เป็นการคำนวณระหว่างกลาง ผลของสมการ (3.30a) เขียนเป็น
เมตริกซ์ใหม่ ๆ ได้เป็น

$$\begin{matrix} (k_1, k_2) \\ \begin{bmatrix} x(0,0) \\ x(1,0) \\ x(0,1) \\ x(1,1) \end{bmatrix} \end{matrix} = \begin{matrix} \begin{bmatrix} 1 & W^0 & 0 & 0 \\ 1 & W^2 & 0 & 0 \\ 0 & 0 & 1 & W^1 \\ 0 & 0 & 1 & W^0 \end{bmatrix} & \begin{bmatrix} 1 & 0 & W^0 & 0 \\ 0 & 1 & 0 & W^0 \\ 1 & 0 & W^2 & 0 \\ 0 & 1 & 0 & W^2 \end{bmatrix} & \begin{matrix} (m_1, m_2) \\ \begin{bmatrix} x(0,0) \\ x(0,1) \\ x(1,0) \\ x(1,1) \end{bmatrix} \end{matrix} \end{matrix} \quad (3.27b)$$

ซึ่งมีผลลัพธ์ระหว่างกลาง และ ผลลัพธ์ เป็น

$$\begin{matrix} (k_1, k_2) \\ \begin{bmatrix} x(0,0) \\ x(1,0) \\ x(0,1) \\ x(1,1) \end{bmatrix} \end{matrix} = \begin{matrix} \begin{bmatrix} 1 & 0 & W^0 & 0 \\ 0 & 1 & 0 & W^0 \\ 1 & 0 & W^2 & 0 \\ 0 & 1 & 0 & W^2 \end{bmatrix} & \begin{matrix} (m_1, m_2) \\ \begin{bmatrix} x(0,0) \\ x(0,1) \\ x(1,0) \\ x(1,1) \end{bmatrix} \end{matrix} \end{matrix} \quad (3.28a)$$

และค่า DFT ของสัญญาณเป็น

$$\begin{matrix} (k_1, k_2) \\ \begin{bmatrix} x(0,0) \\ x(1,0) \\ x(0,1) \\ x(1,1) \end{bmatrix} \end{matrix} = \begin{matrix} \begin{bmatrix} 1 & W^0 & 0 & 0 \\ 1 & W^2 & 0 & 0 \\ 0 & 0 & 1 & W^1 \\ 0 & 0 & 1 & W^0 \end{bmatrix} \end{matrix} \begin{matrix} (m_1, m_2) \\ \begin{bmatrix} x(0,0) \\ x(0,1) \\ x(1,0) \\ x(1,1) \end{bmatrix} \end{matrix} \quad (3.28b)$$

จะเห็นได้ว่าจากผลการแยกตัวประกอบของ $\{A\}$ ได้ว่า สมาชิกตามแนวอนของตัวประกอบเมตริกซ์ จะมีเพียง 2 ตัวเท่านั้นที่มีค่าไม่เป็นศูนย์ และในสองตัวนี้จะมีสมาชิกหนึ่งตัวมีค่าเป็นศูนย์เสมอ ในขณะที่อีกตัวจะเป็นจำนวนเชิงซ้อน ซึ่งเราต้องการคูณจำนวนเชิงซ้อนเพียง $\text{Mog}2N = 8$ ครั้ง และบวกจำนวนเชิงซ้อนอีก 8 ครั้ง ในขณะที่การคำนวณปกติใช้การคูณจำนวนเชิงซ้อน 16 ครั้ง และบวกจำนวนเชิงซ้อน 12 ครั้ง เรายังสามารถลดจำนวนการคูณลงได้อีก จากการคำนวณสัญญาณระหว่างกลาง $x_1(0,0)$ และ $x_1(0,1)$ ซึ่ง

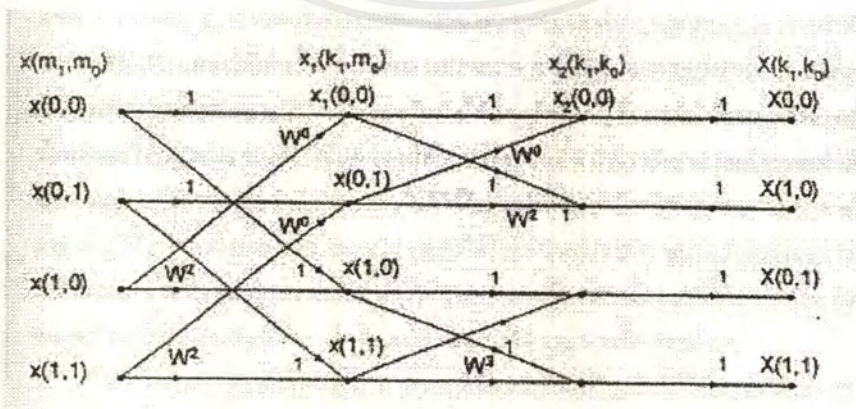
$$x_1(0,0) = x(0,0) + W^0 \cdot x(1,0) = x(0,0) + W^0 \cdot x(1,0) \quad (3.29)$$

และ

$$x_1(1,0) = x(0,0) + W^2 \cdot x(1,0) = x(0,0) - W^0 \cdot x(1,0)$$

เนื่องจากคุณสมบัติของจำนวนเชิงซ้อน $W^2 = -W^0$ ทำให้การคำนวณ $x_1(0,1)$ ต้องการการคูณจำนวนเชิงซ้อนเพียงครั้งเดียวเท่านั้น ซึ่งทำได้โดยการคำนวณพจน์ $W^0 \cdot x(1,0)$ ก่อนแล้วนำไปบวกและลบกับพจน์ $x(0,0)$ เพื่อให้ได้ลำดับ $x_1(0,0)$ และ $x_1(1,0)$ ตามลำดับ

เราอาจแสดงวิธีการคำนวณ FFT โดยแสดงเป็นกราฟการไหล ดังรูป 3.1 โดยหัวลูกศรชี้ทิศทางการคำนวณ ส่วนอักษรกำกับเป็นค่าตัวคูณค่าของสัญญาณที่ต้นลูกศรนั้น และที่บัพ (Node) เป็นการรวมหรือบวกกันของสัญญาณ ส่วน $x_1(k_p, m_p)$ แทนการคำนวณระหว่างกลางและ $X(k_p, k_q)$ เป็นค่า DFT ของลำดับสัญญาณ



รูปที่ 3.1 กราฟการไหลแสดงถึงวิธีการคำนวณตามสมการ 3.31

เอกสารนี้เป็นเอกสารที่สงวนไว้สำหรับการใช้งานเพื่อการศึกษาเท่านั้น ไม่อนุญาตให้นำไปใช้ประโยชน์ด้านการค้า ไม่ว่าจะกรณีใดๆ ทั้งสิ้น อีกทั้งห้ามมิให้ดัดแปลงเนื้อหาและต้องอ้างอิงถึงเจ้าของเอกสารทุกครั้งที่มีการนำไปใช้

● ขั้นตอนการลดทอนทางเวลา

วิธีการที่เสนอมานั้น จะเป็นการจัดกลุ่มลำดับสัญญาณในโดเมนเวลา $x(m)$ ที่มีขนาด N จุด ออกเป็นสองอันดับสัญญาณที่มีความยาว $N/2$ จุดเท่ากัน โดยเรียกว่าลำดับสัญญาณคู่และลำดับสัญญาณคี่ โดยที่ลำดับสัญญาณคู่เกิดจากการเอาลำดับสัญญาณในตำแหน่งเลขคู่มาเรียงกัน ที่เหลือเป็นลำดับสัญญาณคี่ ดังนั้นถ้าเราให้ $x_e(m)$ เป็นลำดับคู่ และ ลำดับคี่เป็น $x_o(m)$ เพราะฉะนั้น

$$x_e(m) = x(2m) \quad ; \quad m = 0, 1, \dots, (N/2) - 1 \quad (3.33)$$

$$x_o(m) = x(2m + 1) \quad ; \quad m = 0, 1, \dots, (N/2) - 1$$

และถ้าเราให้ W_N แทน W ของลำดับ ที่ยาว N จุด ทำให้การคำนวณการแปลง DFT ของลำดับสัญญาณ $x(m)$ ที่ยาว N จุดเขียนได้ใหม่เป็น

$$\begin{aligned} X(k) &= \sum_{m=0}^{N-1} x_e(m)(W_N)^{km} + \sum_{m=0}^{N-1} x_o(m)(W_N)^{km} \\ &= \sum_{m=0}^{(N/2)-1} x(2m)(W_N)^{2mk} + \sum_{m=0}^{(N/2)-1} x(2m+1)(W_N)^{(2m+1)k} \end{aligned} \quad (3.31)$$

โดยพจน์ $(W_N)^2 = W_{N/2}$ ซึ่งหมายถึงค่า W ของลำดับที่ยาว $N/2$ ดังนั้นจะเขียนใหม่เป็น

$$X(k) = \sum_{m=0}^{N/2-1} x_e(m)(W_{N/2})^{km} + (W_N)^k \sum_{m=0}^{N/2-1} x_o(m)(W_{N/2})^{km} \quad (3.35)$$

$$X(k) = X_1(k) + (W_N)^k X_2(k)$$

โดยที่ $X_1(k)$ และ $X_2(k)$ ผลการแปลง DFT ขนาด $N/2$ จุดของลำดับ $x_e(m)$ และ $x_o(m)$ ตามลำดับ สมการที่ (3.35) แสดงให้เห็นว่าการคำนวณ DFT ขนาด N จุดนั้นสามารถแบ่งการคำนวณย่อยออกเป็นการคำนวณ DFT ขนาด $N/2$ จุด สองอันดับได้ และข้อสำคัญคือ จะทำให้การคูณจำนวนเชิงซ้อนลดลงไปประมาณ 50 เปอร์เซ็นต์ โดยหลักการเดียวกันนี้ทำให้เราสามารถแบ่งทอนลำดับ $x_e(m)$ และ $x_o(m)$ ออกเป็นลำดับคู่และลำดับคี่ได้อีก จนในที่สุดเหลือเพียงลำดับขนาด 2 จุด หรืออาจกล่าวได้ว่า การคำนวณ DFT ขนาด N จุด ทำได้โดยการแปลง DFT ขนาด 2 จุด จำนวน $N/2$ ภาคด้วยกัน ข้อสังเกตคือการซอยเพื่อแบ่งลำดับ $x(n)$ ออกเป็นทีละครึ่งจนเหลือการคำนวณ DFT ขนาด 2 จุด นี้ สำหรับสัญญาณ N ลำดับ จะทำการแบ่งได้ $\log_2 N$ ครั้ง (ดังรูป 3.3)

การนำ DFT ขนาด 2 จุด จำนวน $N/2$ ภาคนี้มาประกอบกันเพื่อให้ได้การคำนวณ DFT ขนาด N จุดนั้น จะต้องมียุทธศาสตร์ในการทำเพื่อไม่ให้ค่าที่ได้ผิดพลาดไป ดังนั้นเราต้องทำ การนิยามสมการ (3.32) สำหรับ $k > N/2$ ด้วยซึ่งทำได้โดยการเขียน

$$X(k) = X_1(k) + (W_N)^k X_2(k) \quad ; 0 \leq k \leq (N/2)-1 \quad (3.33)$$

$$= X_1(k - N/2) + (W_N)^k X_2(k - N/2) \quad ; N/2 \leq k \leq N-1$$

พจน์ $(W_N)^k$ ในสมการ 3.32 เรียกว่าตัวประกอบการหมุน (twiddle factor) ซึ่งมีความสำคัญในการนำ DFT ขนาด 2 จุด หรือ DFT ขนาด $N/2$ จุดมาประกอบกันเป็น DFT ขนาด N จุดได้ เหมือนเดิม และจากความสัมพันธ์ $(W_N)^{k-N/2} = -(W_N)^k$ เราจะได้

$$X(k) = X_1(k) + (W_N)^k X_2(k) \quad ; 0 \leq k \leq (N/2)-1 \quad (3.34a)$$

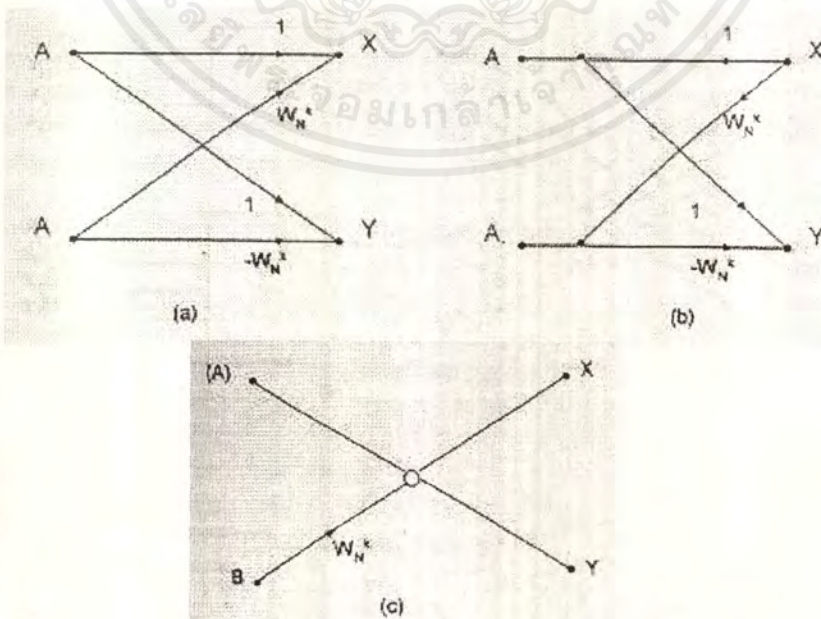
$$= X_1(k - N/2) + (W_N)^{k-N/2} X_2(k - N/2) \quad ; N/2 \leq k \leq N-1 \quad (3.34b)$$

ตามสมการ 3.37 ทำให้เราทราบว่าในการคำนวณหา DFT ของลำดับคู่หนึ่ง จะประกอบด้วยลำดับ $X(k)$ ในสมการ 3.34a และลำดับ $X(k)$ ในสมการ 3.34b ซึ่งจะห่างออกไปจากลำดับ $X(k)$ ในสมการ 3.34a ไป $N/2$ จุดนั้น สามารถคำนวณได้โดยใช้สูตรการคูณจำนวนเชิงเส้นเพียงครั้งเดียวเท่านั้น จากผลอันนี้เราจะนำไปสร้างหน่วยความจำที่มีชื่อว่าหน่วย ความจำผีเสื้อ (butterfly unit) โดยหน่วยคำนวณนี้ (อาจอยู่ในรูปแบบของวงจรหรือโปรแกรม) มีข้อมูลเข้าสองข้อมูลคือ A และ B และให้ข้อมูลออกเป็น X และ Y เป็น

$$X = A + (W_N)^k \cdot B$$

$$Y = A - (W_N)^k \cdot B$$

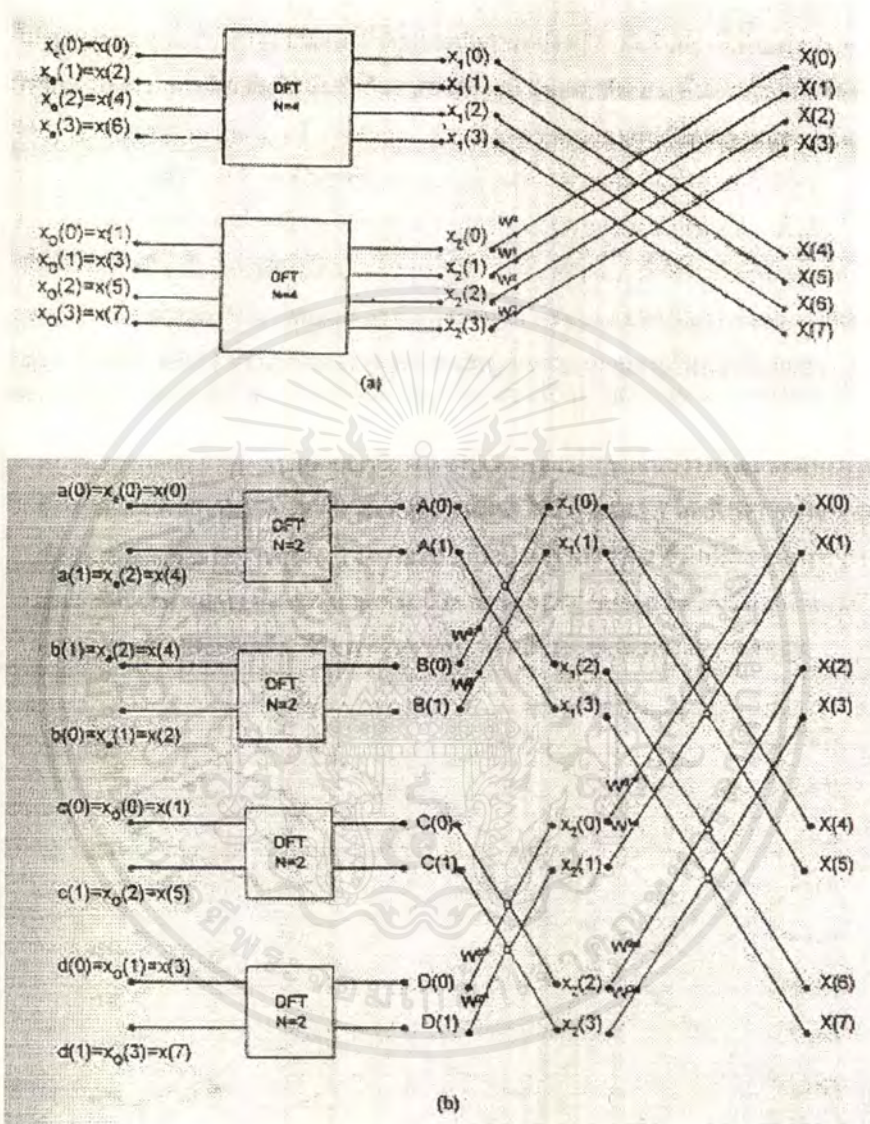
(3.38)



รูปที่ 3.2 หน่วยผีเสื้อของการคำนวณตามขั้นตอนวิธีลดทอนทางเวลา

เอกสารนี้เป็นเอกสารที่สงวนไว้สำหรับการใช้งานเพื่อการศึกษาเท่านั้น ไม่อนุญาตให้นำไปใช้ประโยชน์ด้านการค้า ไม่ว่าจะกรณีใดๆ ทั้งสิ้น อีกทั้งห้ามมิให้ดัดแปลงเนื้อหาและต้องอ้างอิงถึงเจ้าของเอกสารทุกครั้งที่มีการนำไปใช้

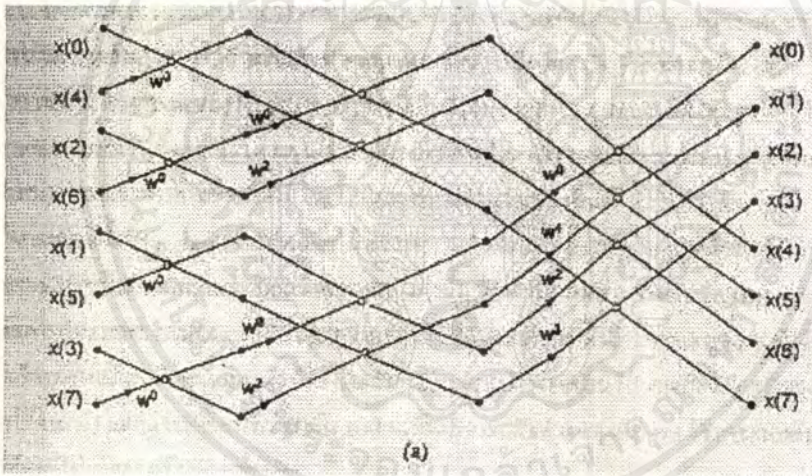
โดยที่การทำงานของหน่วยเคลื่อนที่ แทนได้ด้วยกราฟการไหล ดังแสดงไว้ในรูป 3.2(a) 3.2(b) หรือ 3.2(c) โดยรูปที่ 3.3 แสดงการคำนวณ DFT แบบ 8 จุด



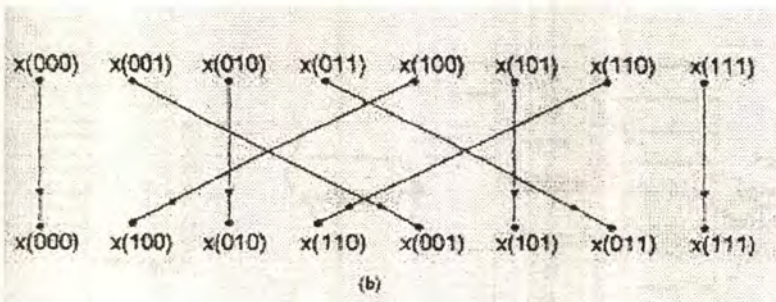
รูปที่ 3.3 (a) และ (b) แสดงขั้นตอนแบบ การลดทอนทางเวลา สำหรับ DFT แบบ 8 จุด

ตามรูป 3.4(a) ถ้าคีย์สัญญาณเข้า $x(n)$ ไม่ได้ถูกจัดเรียงอย่างต่อเนื่อง หรือ ตามธรรมชาติแต่ไม่ถูก สลับตำแหน่งกันอย่างมีหลักเกณฑ์ คือการสลับตำแหน่ง หรือสลับอันดับ กันนี้จะเป็นไปตามวิธีการที่เรียกว่า การผันกลับบิต นั่นคือถ้าเราแทนคีย์ n ของลำดับ $x(n)$ ด้วยเลขฐานสองโดยที่จำนวนบิตต้องเพียงพอที่จะแทนค่า N ได้ เช่น ในกรณี $N=8$ ที่ต้องแทนกันด้วยเลขฐานสอง 3 บิต จากนั้นการจัดลำดับ $x(n)$ ใหม่จะได้จากการผันกลับบิตของเลขฐานสองที่แทนคีย์ n เอกสารนี้เป็นเอกสารที่สงวนไว้สำหรับการใช้งานเพื่อการศึกษาเท่านั้น ไม่อนุญาตให้นำไปใช้ประโยชน์ด้านการค้าไม่ว่ากรณีใดๆ ทั้งสิ้น อีกทั้งห้ามมิให้ดัดแปลงเนื้อหาและต้องอ้างอิงถึงเจ้าของเอกสารทุกครั้งที่มีการนำไปใช้

ดังรูป 3.4(b) คือ $x(001)$ จะถูกแทนด้วย $x(100)$ และ $x(110)$ และ $x(110)$ ถูกแทนด้วย $x(011x)$ เป็นต้น เนื่องจากครรชนี n เป็นครรชนีในโดเมนเวลา และวิธีการของ FFT แบบนี้เป็นการลดทอนเวลาทางการคำนวณโดยการ ด้บ หรือ ตัดทอน ลำดับในโดเมนเวลา หรือ $x(n)$ ออกเป็นกลุ่มย่อย โดยแต่ละกลุ่มประกอบด้วยลำดับ $x(n)$ เพียงสองลำดับที่เป็น *pmคู่กัน* การจัดกลุ่มนี้คล้ายกับเป็นการ สุ่มตัวอย่างลำดับเดิมอีกครั้งหนึ่ง ด้วยอัตราการสุ่มตัวอย่างที่ต่ำกว่า และถ้าหากเราถือว่าแต่ละกลุ่ม ข้อมูลใหม่ที่จัดทำขึ้นมา ต่างเป็นลำดับ ข้อมูลชุดหนึ่งแล้ว ก็เท่ากับว่าเราได้ตัดทอนลำดับในโดเมน เวลาลงไปเป็นกลุ่มลำดับข้อมูลย่อยหลายลำดับ ดังนั้นจึงเรียกรูปแบบนี้ว่า การลดทอนทาวเวลา ซึ่งแสดงแผนภาพลำดับวิธีการของ การลดทอนทาวเวลา ได้ดังรูป 3.4.1.5 โดยที่ DFT ขนาด N จุด เดิมถูกแบ่งออกเป็น DFT ขนาด $N/2$ จุด จำนวน 2 ภาคนำมารวมกันโดยใช้ตัวประกอบการหมุน และลำดับนี้จะทำงานกระทั่งผลลำดับสุดท้ายเป็นการแปลง DFT ขนาด 2 จุด โดยที่การนำเอา DFT ขนาด $N/2$ จุดมาประกอบกัน มีวิธีการที่ขึ้นอยู่กับการจัดเรียงตัวของตัวประกอบการหมุน



รูปที่ 3.4(a) กราฟการไหลสัญญาณแสดงการคำนวณตามรูป 3.3



รูปที่ 3.4 (b) แสดงการสลับตำแหน่งของลำดับ $x(n)$ ด้วยการผันกลับบิต

เอกสารนี้เป็นเอกสารที่สงวนไว้สำหรับการใช้งานเพื่อการศึกษาเท่านั้น ไม่นอนุญาตให้นำไปใช้ประโยชน์ด้านการค้า ไม่ว่ากรณีใดๆ ทั้งสิ้น อีกทั้งห้ามมิให้ดัดแปลงเนื้อหาและต้องอ้างอิงถึงเจ้าของเอกสารทุกครั้งที่มีการนำไปใช้

- การลดทอนทางเวลาโดยวิธีการซ้ำที่

คุณสมบัติที่เป็นข้อดีบางประการของการแปลงฟาสต์ฟูเรียร์ ตามรูป 3.4(a) โดยทั่วไปแล้วอาจกล่าวได้ว่าการคำนวณการแปลง DFT นั้นแท้จริงแล้วก็คือ การนำลำดับจำนวนเชิงซ้อนที่มีอยู่ N ลำดับ มาทำการแปลงเป็นจำนวนเชิงซ้อนอีกกลุ่มหนึ่งที่มีอยู่ N ลำดับเช่นกัน โดยการใช้ FFT การแปลงเช่นนี้จะกระทำ $\log_2 N$ ชั้นตอนด้วยกัน ดังนั้นตามรูป 3.4(a) ซึ่ง $N=8$ ควรต้องมีหน่วยความจำ ($\log_2 N$) หรือ 3 แถวลำดับ (array) ด้วยกันสำหรับเก็บข้อมูลที่ต้องใช้ในการคำนวณ โดยที่แถวลำดับแรกไว้เก็บลำดับข้อมูล $x(n)$ สองแถวลำดับ $x_r(k)$ และแถวลำดับสุดท้ายสำหรับผลลัพธ์ $X(k)$ โดยการคำนวณจะประกอบด้วยหน่วยสี่เสี้ยว ซึ่งลักษณะการคำนวณของหน่วยสี่เสี้ยวนี้ หากเรามีหน่วยความจำต่างหากไว้สำหรับเก็บค่าผลคูณของจำนวนเชิงซ้อน (W_N)^k ผลลัพธ์ X กับ Y ที่คำนวณสามารถเก็บแทนที่ไว้ในหน่วยความจำที่เก็บลำดับข้อมูลเข้า A และ B ได้ (ดังรูป 3.2) โดยลักษณะการทำเช่นนี้จะเห็นว่า ตามรูป 3.4(a) ผลลัพธ์การคำนวณทางขวามือสามารถบรรจุกแทนที่ในหน่วยความจำทางด้านซ้ายมือได้โดยไม่มีผลต่อการคำนวณส่วนอื่น ๆ ซึ่งเรียกว่าเป็น การคำนวณแบบซ้ำที่ (in place) ซึ่งมีข้อดีคือใช้หน่วยความจำเพียงหนึ่งแถวลำดับ หรือต้องการหน่วยความจำสำหรับเก็บจำนวนเชิงซ้อนเพียง $N+1$ ค่าเท่านั้น วิธีการนี้จะเหมาะสำหรับข้อมูลยาวมาก โดยการคำนวณจะไม่เปลืองเนื้อที่หน่วยความจำ ข้อดีอีกประการคือ ตัวประกอบหมุน (W_N)^k นั้นจะถูกเรียกอย่างเป็นลำดับคือจากค่าล็กน้อยไปสู่ค่าล็กมาก จึงทำให้การเขียนโปรแกรม หรือสร้างวงจรทำได้ง่ายกว่า แต่ก็มีข้อเสียตรงที่ว่าลำดับ $x(n)$ จะต้องมีการสลับตำแหน่งกันตาม วิธีการผันกลับบิต จึงต้องมีโปรแกรมหรือวงจรเพิ่มเติม

- การแปลงฟาสต์ฟูเรียร์ชนิดลดทอนทางความถี่ (Decimation-in-Frequency : DIF)

ลำดับการคำนวณ FFT ซึ่งใช้กันมากและประยุกต์ใช้ในโครงสร้างนี้คือ การลดทอนทางความถี่ ซึ่งมีหลักการคล้ายคลึงกับ การลดทอนทางเวลา โดยที่การลดทอนทางความถี่จะแบ่งลำดับโดเมนเวลา $x(m)$ ออกเป็นสองส่วนเท่า ๆ กัน โดยการแบ่งครึ่งซึ่งทำได้โดย ถ้าให้ $x_E(m)$ และ $x_O(m)$ แทนลำดับสัญญาณที่ได้จากการแบ่งครึ่งนี้

$$\begin{aligned} x_E(m) &= x(m) && ; m=0,1,\dots,(N/2)-1 \\ x_O(m) &= x(m+N/2) && ; m=0,1,\dots,(N/2)-1 \end{aligned} \quad (3.36)$$

เพราะฉะนั้นการคำนวณ DFT ขนาด จุด ของ $x(n)$ สามารถเขียนแยกได้สองส่วนคือ

$$\begin{aligned} X(k) &= \sum_{m=0}^{(N/2)-1} x(m)(W_N)^{mk} + \sum_{m=N/2}^{N-1} x(m)(W_N)^{mk} \\ &= \sum_{m=0}^{(N/2)-1} x_E(m)(W_N)^{mk} + \sum_{m=N/2}^{(N/2)-1} x_0(m)(W_N)^{(m+N/2)k} \\ X(k) &= \sum_{m=0}^{(N/2)-1} x_E(m)(W_N)^{mk} + (W_N)^{Nk/2} \sum_{m=N/2}^{(N/2)-1} x_0(m)(W_N)^{mk} \end{aligned} \quad (3.37)$$

เพราะว่าพจน์ $(W_N)^{Nk/2} = e^{-j\pi k} = (-1)^k$ จึงเขียนได้เป็น

$$X(k) = \sum_{m=0}^{(N/2)-1} [x_E(m) + (-1)^k x_0(m + N/2)] (W_N)^{mk} \quad (3.38)$$

และถ้าเราแยกกรณี k ออกเป็นเลขคู่และคี่ เพราะฉะนั้น $X(2k)$ และ $X(2k+1)$ จะแทน DFT จะแทนส่วนของเลขคู่และเลขคี่ตามลำดับหรือ

$$\begin{aligned} X(2k) &= \sum_{m=0}^{(N/2)-1} [x_E(m) + x_0(m)] (W_N)^{2mk} \\ &= \sum_{m=0}^{(N/2)-1} f(m) (W_{N/2})^{mk} \end{aligned} \quad (3.42)$$

และ

$$\begin{aligned} X(2k) &= \sum_{m=0}^{(N/2)-1} [x_E(m) - x_0(m)] (W_N)^{2mk} \\ &= \sum_{m=0}^{(N/2)-1} g(m) (W_{N/2})^{mk} \end{aligned} \quad (3.40)$$

จากผลของ (3.39) และ (3.40) แสดงว่าการคำนวณ DFT ขนาด N จุด ด้วยวิธีนี้จะทำได้โดย ในเบื้องแรกจากลำดับ $x(m)$ เราทำการแบ่งครึ่งออกเป็น 2 ลำดับ ดังสมการ (3.39) แล้วนำมาสร้างเป็นลำดับอันใหม่ที่ยาว $N/2$ จุด 2 ลำดับ โดยสมมติให้ลำดับใหม่นี้ชื่อ $f(m)$ และ $g(m)$ ลำดับคู่นี้ สามารถสร้างได้โดยใช้สมการ

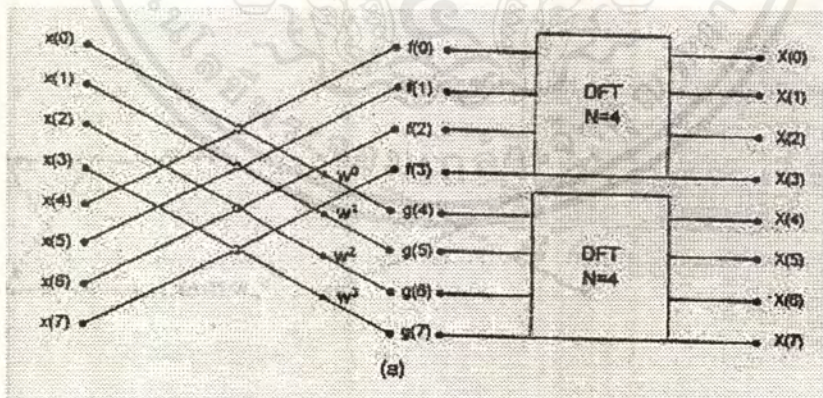
$$\begin{aligned} f(m) &= x_E(m) + x_0(m) && ; m=0, 1, \dots, (M/2) - 1 \\ g(m) &= [x_E(m) - x_0(m)] (W_N)^{mk} && (3.44) \end{aligned}$$

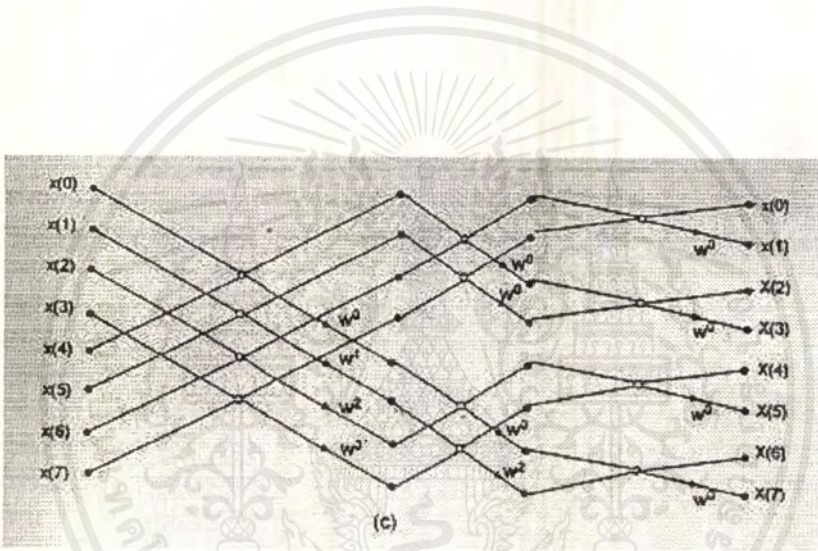
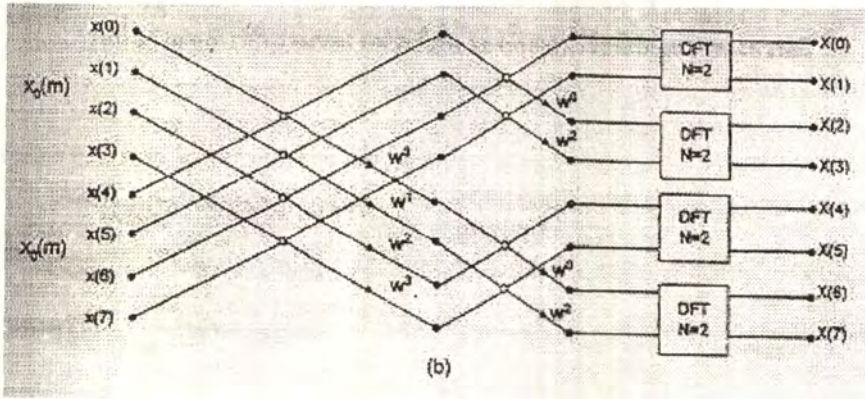
เอกสารนี้เป็นเอกสารที่สงวนไว้สำหรับการใช้งานเพื่อการศึกษาเท่านั้น ไม่อนุญาตให้นำไปใช้ประโยชน์ด้านการค้า ไม่ว่าจะกรณีใดๆ ทั้งสิ้น อีกทั้งห้ามมิให้ตัดแปลงเนื้อหาและต้องอ้างอิงถึงเจ้าของเอกสารทุกครั้งที่มีการนำไปใช้

และจากลำดับยาว $N/2$ จุดในสมการ (3.44) เราก็อาจนำไปคำนวณหา DFT ขนาด $N/2$ จุด โดยใช้ (3.42) และ (3.43) เพราะฉะนั้น โดยรวมแล้วจะเห็นว่า การคำนวณ DFT ขนาด N จุด ได้ถูกแบ่งเป็นการคำนวณ DFT ขนาด $N/2$ จุดสองภาคด้วยกัน

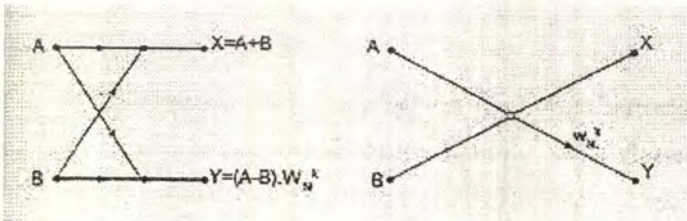
จะเห็นว่าเหมือนกับในการลดทอนทางเวลา การแบ่งการคำนวณย่อยออกเป็น DFT ขนาด $N/2$ จุดนี้สามารถแบ่งย่อยออกไปได้เรื่อย ๆ จนในที่สุดเหลือการคำนวณขนาด 2 จุด ตัวอย่างที่แสดงการคำนวณโดยใช้กราฟการไหลกรณี $N=8$ แสดงไว้ในรูป 3.6 โดยในรูปแสดงการแบ่งลำดับย่อยออกตามลำดับนั้น จนเหลือการคำนวณ DFT ขนาด 2 จุด และการแบ่งย่อยทำได้ 3 ครั้ง หรือ $\log_2 8$ และจำนวนครั้งในการคูณจำนวนเชิงซ้อนจะประมาณ $N \log_2 N$ เช่นเดียวกัน

ข้อแตกต่างระหว่างสองวิธีขั้นตอนการคำนวณทั้งสองวิธีคือ ประการแรก การลดทอนทางเวลา $x(n)$ จะเรียงตามธรรมชาติ และ $X(k)$ เรียงตามธรรมชาติ ส่วนการลดทอนทางความถี่จะตรงข้ามคือ $x(n)$ จะเรียงตามธรรมชาติ และ $X(k)$ จะถูกเรียงสลับแบบผันกลับบิท ประการที่สอง หน่วยพีเลื่อของการลดทอนทางความถี่ต่างไปจากการลดทอนทางเวลาคือเพราะ ได้จากการเอาลำดับ $x_E(m)$ และ $x_O(m)$ มาบวกและลบกันก่อนแล้วจึงทำการคูณด้วยจำนวนเชิงซ้อน $(W_N)^k$ หน่วยคำนวณพีเลื่อของการลดทอนทางความถี่ แสดงดังรูป 3.6





รูปที่ 3.5 แสดงลำดับขั้นตอนวิธีการของ FFT ชนิดการลดทอนทางความถี่



รูปที่ 3.6 แสดงการคำนวณของ หน่วยสี่เหลี่ยม ของขั้นตอนวิธีชนิดลดทอนทางความถี่

เอกสารนี้เป็นเอกสารที่สงวนไว้สำหรับการใช้งานเพื่อการศึกษาเท่านั้น ไม่อนุญาตให้นำไปใช้ประโยชน์ด้านการค้า ไม่ว่าจะกรณีใดๆ ทั้งสิ้น อีกทั้งห้ามมิให้ดัดแปลงเนื้อหาและต้องอ้างอิงถึงเจ้าของเอกสารทุกครั้งที่มีการนำไปใช้

บทที่ 4

การวิเคราะห์สัญญาณโรเตอร์สล็อตฮาร์โมนิกส์ โดยใช้โปรแกรม MATLAB

4.1 บทนำ

เนื่องจากสัญญาณ โรเตอร์สล็อตฮาร์โมนิกส์มีพฤติกรรมที่เปลี่ยนแปลงตามความเร็วของมอเตอร์ ดังนั้นการศึกษาพฤติกรรม ลักษณะ องค์ประกอบของโรเตอร์สล็อตฮาร์โมนิกส์จึงอาจเป็นแนวทางหนึ่งในการใช้หาความเร็วของอินดักชันมอเตอร์ได้ เนื่องจากลักษณะ พฤติกรรม องค์ประกอบโรเตอร์สล็อตฮาร์โมนิกส์ขึ้นอยู่กับปัจจัยและตัวแปรต่างมากมาย ดังนั้นในการศึกษาพฤติกรรมโรเตอร์สล็อตฮาร์โมนิกส์จำเป็นต้องทำการวิเคราะห์ในหลายๆ ด้าน เพื่อให้ทราบถึงพฤติกรรมที่แท้จริงของมัน ดังนั้นจึงมีความเหมาะสมที่จะใช้โปรแกรม MATLAB ด้วยเหตุผลดังต่อไปนี้

1. การประมวลผลของโปรแกรม MATLAB เป็นการประมวลผลสัญญาณเชิงดิจิทัล (Digital Signal Processing : DSP) ซึ่งช่วยให้ผลการทดลองมีความแม่นยำมากยิ่งขึ้น
2. โปรแกรม MATLAB มีฟังก์ชันต่างๆ ที่เกี่ยวกับการประมวลผลสัญญาณเชิงเลขมากพอสมควร ทำให้สะดวกในการวิเคราะห์การผลทดลอง
3. สามารถแก้ไขและปรับเปลี่ยน เพิ่มเติมวิธีการ แนวทางการทดลองได้ง่าย
4. สะดวกในการแสดงผล และวิเคราะห์การทดลอง เนื่องจากมีฟังก์ชันในการ แสดงผล และวิเคราะห์ อยู่มาก

ในรายงานฉบับนี้ใช้โปรแกรม MATLAB Version 5.1 ทำการทดลอง และวิเคราะห์ผล เนื่องจากความถี่ของสัญญาณ โรเตอร์สล็อตฮาร์โมนิกส์มีการเปลี่ยนแปลงตามความเร็วของมอเตอร์ ดังนั้นในการหาค่าความเร็วของมอเตอร์ เราจะต้องทำการวิเคราะห์ให้ได้ว่าความถี่ของสัญญาณ โรเตอร์สล็อตฮาร์โมนิกส์ที่ความเร็วต่างๆ มีค่าเป็นเท่าใด โดยอาศัยการกระจายสเปกตรัม (Spectrum) ของค่าสัญญาณกระแสที่ได้จากการทดลองให้อยู่ในโดเมนความถี่ แล้วจึงทำการพิจารณาว่าสเปกตรัมตัวบ่งที่มีการเลื่อนตัวเมื่อความเร็วของมอเตอร์เปลี่ยนไป ซึ่งจะช่วยให้สามารถระบุค่าสัญญาณ โรเตอร์สล็อตฮาร์โมนิกส์ได้ว่ามีความถี่เป็นเท่าใด แล้วจึงทำการคำนวณหา ค่าความเร็วมอเตอร์ต่อไป

4.2 รูปแบบของข้อมูลที่ได้จากการทดลอง

ในการการศึกษาพฤติกรรมโรเตอร์สล็อตทอร์โมนิกส์โดยใช้โปรแกรม MATLAB นั้น จำเป็นที่จะต้องทำการประมวลผลสัญญาณเชิงดิจิทัล ดังนั้นเราจะต้องทำการแปลงสัญญาณกระแสที่ป้อนเข้ามอเตอร์ให้เป็นข้อมูลทางดิจิทัล โดยได้ใช้ Digital Storage Scope รุ่น HP 54520 C เป็นตัวแปลง ซึ่งเราสามารถปรับเลือก ความยาวข้อมูล (Record Length) ความถี่ในการแซมปลิง (Sampling Frequency) นอกจากนั้นยังสามารถในการกรองความถี่ต่ำผ่าน ซึ่งจะช่วยตัดสัญญาณรบกวนต่างๆ (Noise) บางส่วนออกไปได้บ้าง รูปแบบของข้อมูลที่บันทึกมาจะอยู่ในรูปแบบ Text File ที่มีรูปแบบดังรูป 4.1

Type: normal

Points: 8192

Count: 1

XInc: 9.99999974738E-05

XOrg: 1.12848499549080E-05

YData range: 8.06299E-02

YData center: -2.35300E-03

KRange: 5.00000E-02

YRange: 8.06299E-02

Date: 06 OCT 1998.

Time: 90:56:55

Acq mode: real time

X Units: second

Y Units: Volt

Max Bandwidth: 500000000

Data:

2.43E-03

3.57E-03

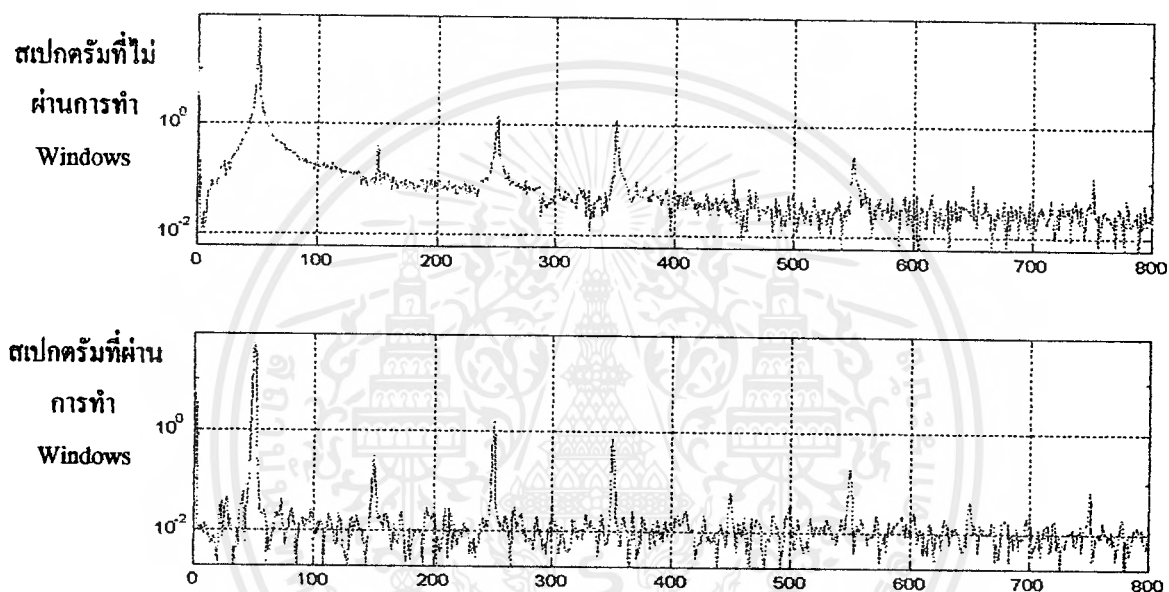
4.62E-03

5.58E-03

Header

4.4 การทำวินโดวส์ (Windows) และการคอนโวลูชัน (Convolution) ข้อมูล

จากข้อมูลทางดิจิทัลที่ได้มา หากเรานำมากระจายสเปกตรัมให้อยู่ใน โดเมนความถี่โดยไม่ผ่านกระบวนการใด ๆ เลย จะทำให้ลักษณะการกระจายของสเปกตรัมอยู่ในรูปที่พิจารณาได้ยาก และซึ่งอาจทำให้เกิดความผิดพลาดในการวิเคราะห์ก็ได้ เพื่อแก้ปัญหาดังกล่าวเราจึงต้องข้อมูลเหล่านี้ มาทำการจัดรูปแบบข้อมูลใหม่ โดยอาศัยการทำวินโดวส์และการคอนโวลูชัน

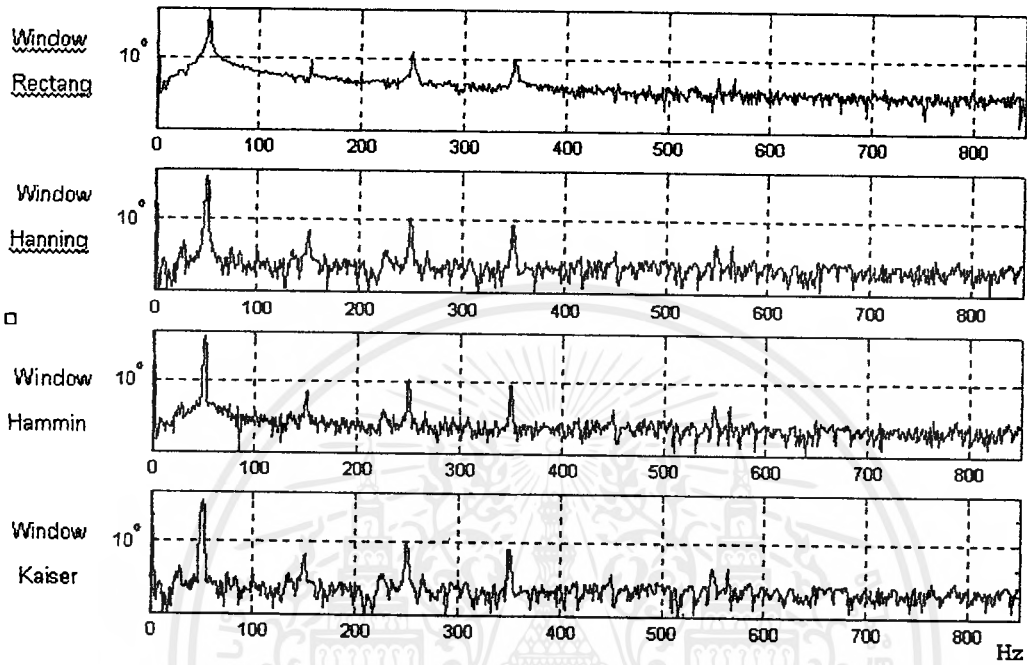


รูปที่ 4.3 แสดงสเปกตรัมของข้อมูลไม่ผ่านการวินโดวส์ และผ่านการวินโดวส์

ซึ่งการทำวินโดวส์ก็คือ การทำให้ข้อมูลหรือสัญญาณมีผลตอบสนอง ลักษณะตามที่เรากำลังต้องการ โดยอาศัยการตัดปลาย หรือถ่วงน้ำหนักเพื่อให้ผลตอบสนองของอนุกรมเปลี่ยนแปลงในลักษณะที่เราต้องการ เปรียบเสมือนเรามีหน้าต่างรูปร่างต่างๆ เมื่อข้อมูลผ่านหน้าต่างนี้แล้วก็จะทำให้ผลตอบสนองของข้อมูลเปลี่ยนไป

- ถ้าให้ $h_d(n)$ คือลำดับการตอบสนองเชิงเวลาของข้อมูลก่อนทำการวินโดวส์
 $H_d(\omega)$ คือลำดับการตอบสนองเชิงความถี่ของข้อมูลก่อนทำการวินโดวส์
 $h(n)$ คือลำดับการตอบสนองเชิงเวลาของข้อมูลหลังทำการวินโดวส์
 $H(\omega)$ คือลำดับการตอบสนองเชิงความถี่ของข้อมูลหลังทำการวินโดวส์

โดยส่วนใหญ่ในรายงานฉบับนี้จะใช้การทำวินโดวส์แบบ Hanning เนื่องจากวินโดวส์แบบนี้มีความแน่นอนทางความถี่สูง และไม่ลดขนาด (Magnitude) ของสัญญาณมากนัก



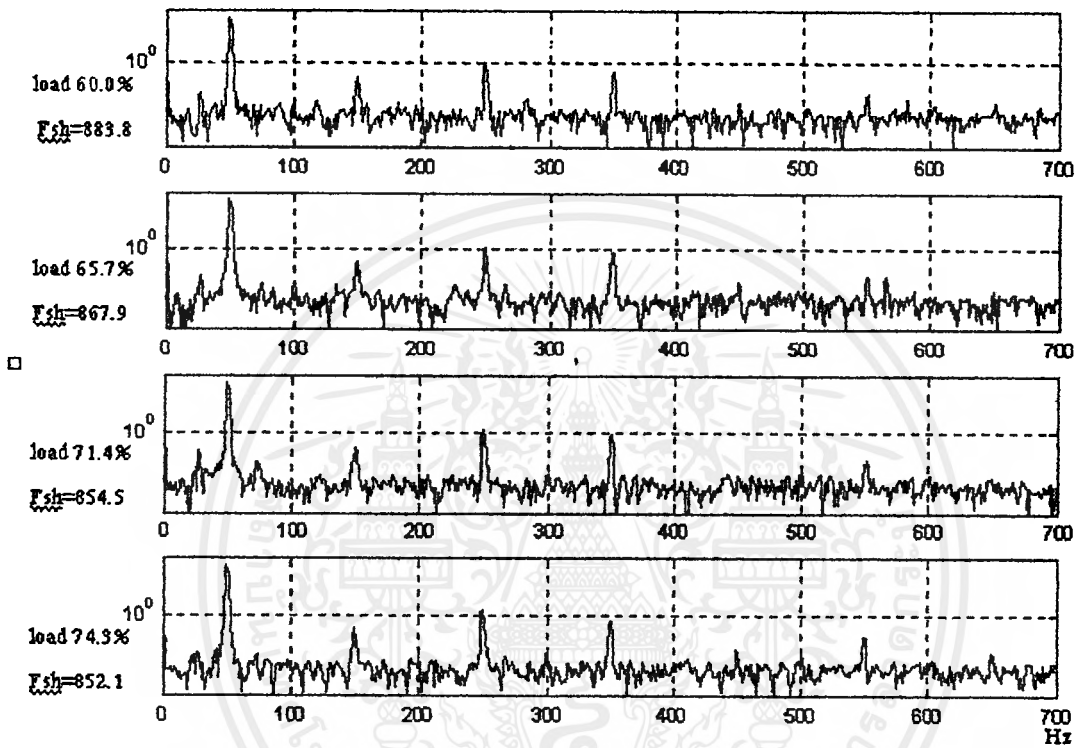
รูปที่ 4.4 แสดงสเปกตรัมของข้อมูลผ่านการวินโดวส์ แบบต่าง ๆ

4.5 การกระจายสเปกตรัมของข้อมูลโดยใช้ FFT ใน MATLAB

หลังจากที่ได้ทำการวินโดวส์ข้อมูล เพื่อปรับเปลี่ยนคุณสมบัติของข้อมูลแล้ว ก็จะนำข้อมูลที่ได้มากระจายสเปกตรัมโดยใช้การแปลงแบบ FFT ซึ่งใน MATLAB เองมีฟังก์ชันสำหรับการแปลง FFT อยู่แล้ว โดยข้อมูลที่จะมากระจายสเปกตรัมจะต้องมีจำนวนข้อมูลเป็น 2^M เมื่อ M เป็นจำนวนเต็มใดๆ มิฉะนั้น MATLAB จะทำการแปลงโดยใช้ DFT แทน

จากนั้นเราก็จะได้ผลลัพธ์จากการแปลง FFT ซึ่งเป็นลำดับสเปกตรัมของข้อมูล โดยจะอยู่ในรูปจำนวนเชิงซ้อน ที่มีขนาดความยาวข้อมูลเท่ากับความยาวข้อมูลก่อนทำการแปลง FFT จากผลลัพธ์ที่อยู่ในรูปจำนวนเชิงซ้อน เราจะต้องทำการคำนวณหาขนาด (Magnitude) ของผลลัพธ์ดังกล่าว เพื่อให้ได้สเปกตรัมของสัญญาณที่แท้จริง แล้วจึงนำขนาดของสัญญาณที่ได้มาสร้างกราฟเพื่อวิเคราะห์หาความถี่ของโรเตอร์สล็อตฮาร์โมนิกส์ต่อไป

ในการสร้างกราฟเพื่อแสดงขนาดแอมพลิจูดของสัญญาณในโดเมนความถี่ จะต้องมีการปรับปรุงสเกล (Scale) ของแกนให้ตรงกับค่าความถี่ตามความเป็นจริงซึ่งจะสัมพันธ์กับขนาดความยาวของข้อมูลที่ใช้ประมวลผล และความถี่แซมปลิง



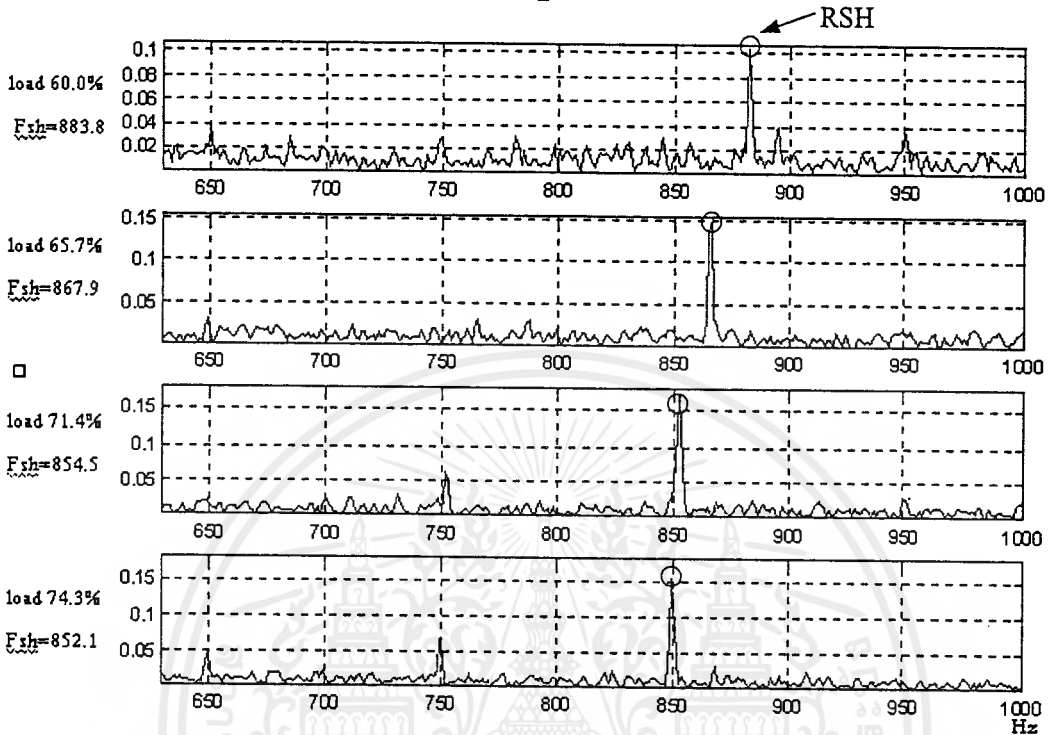
รูปที่ 4.5 แสดงสเปกตรัมของข้อมูลที่โหลดต่างๆ

4.6 กระบวนการที่ใช้ในการระบุตำแหน่งโรเตอร์สล็อตทฮาร์โมนิกส์

เมื่อเราได้กราฟ และข้อมูลขนาดสเปกตรัมของข้อมูล ก็จะต้องทำการระบุให้ได้ว่าสเปกตรัมตัวใดคือโรเตอร์สล็อตทฮาร์โมนิกส์มีความถี่เท่าใด จากรูปที่ 4.5 มีฮาร์โมนิกส์ต่างๆ เกิดขึ้นมากมายซึ่งมีทั้งใช้โรเตอร์สล็อตทฮาร์โมนิกส์และฮาร์โมนิกส์อื่น ดังนั้นเราจะต้องทำการแยกเป็นโรเตอร์สล็อตทฮาร์โมนิกส์โดยสังเกตว่าสเปกตรัมตัวใดบ้างที่มีการเลื่อนตัวเมื่อโหลดเปลี่ยนแปลง

ในการทดลองได้ใช้ มอเตอร์เหนี่ยวนำแบบกรงกระรอก 1 HP 380/220v 1500 rpm 4 Pole 36 สล็อต ซึ่งเป็นมอเตอร์ที่มีค่า Slot/pole เป็นจำนวนเท่าของ 3 ดังนั้นสูตรในการคำนวณหาความถี่ของโรเตอร์สล็อตทฮาร์โมนิกส์ดังนี้

$$f_{sh} = \left[Z \frac{(1-s)}{P} \pm 1 \right] f_0 \text{ เมื่อ } Z/P \text{ เป็น } 3N$$

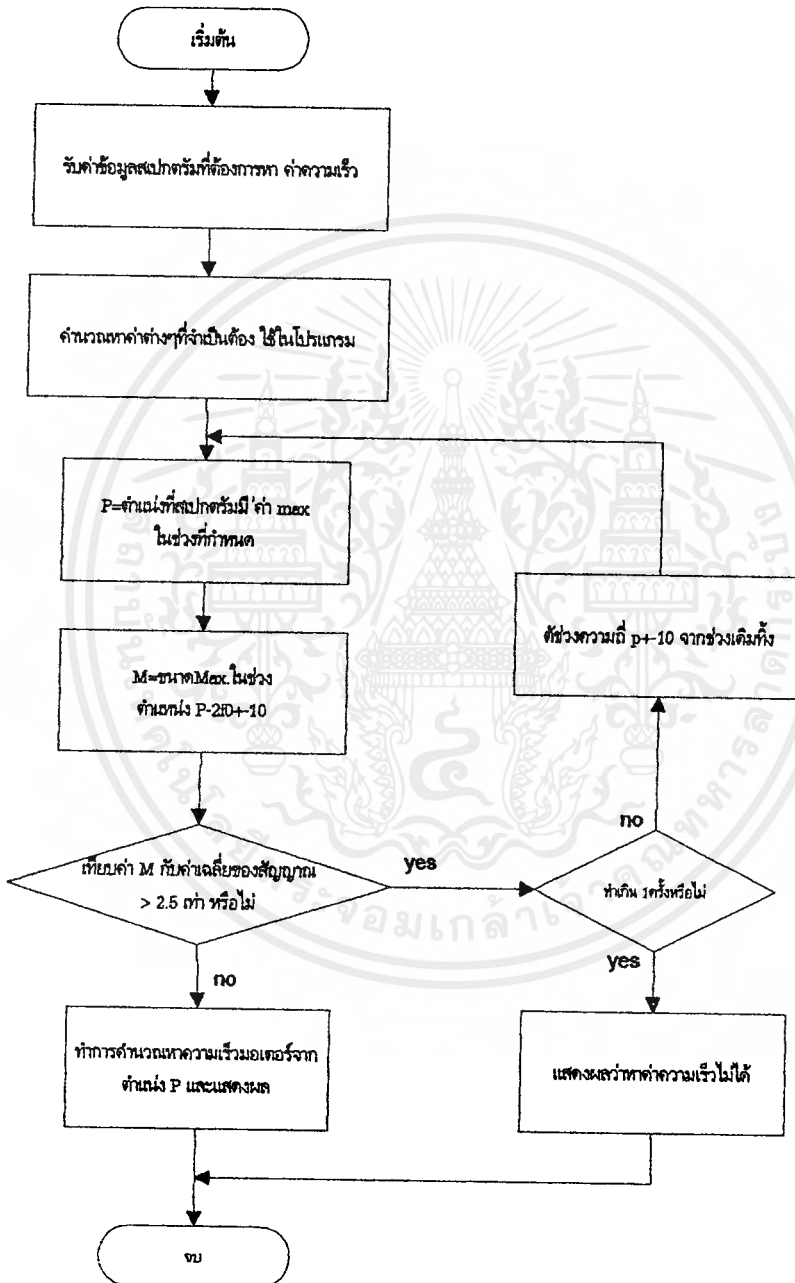


รูปที่ 4.6 แสดงสเปกตรัมของข้อมูลในช่วงความถี่ที่จะพิจารณาหาความถี่ของโรเตอร์สล็อตฮาร์โมนิกส์

หากพิจารณาถึงช่วงความเร็วตั้งแต่ 1200 –1500 rpm ความถี่ของโรเตอร์สล็อตฮาร์โมนิกส์ที่เกิดขึ้นจะมีค่าตั้งแต่ 750-950 Hz ดังนั้นในเขียนโปรแกรมสำหรับวิเคราะห์หาความเร็วของมอเตอร์ ก็จะมีการพิจารณาเฉพาะฮาร์โมนิกส์ที่เกิดในช่วงความถี่ดังกล่าวเท่านั้น และหากพิจารณาจากสูตรจะเห็นได้ว่าโรเตอร์สล็อตฮาร์โมนิกส์จะเกิดขึ้นเป็นคู่ โดยตำแหน่งที่เกิดจะห่างกันเท่ากับ 2 เท่าของความถี่ไฟฟ้าที่ป้อนให้กับมอเตอร์ และโรเตอร์สล็อตฮาร์โมนิกส์ที่มีความถี่สูงกว่ามักจะมีขนาดมากกว่า ตัวที่มีความถี่ต่ำกว่า ดังนั้นเพื่อเพิ่มความแน่นอนในการระบุความเร็วมอเตอร์จึงต้องมีการตรวจสอบเงื่อนไขดังกล่าวด้วย กระบวนการที่ใช้ในการหาค่าความเร็วมอเตอร์มีดังนี้

1. อ่านค่าข้อมูลการกระจายสเปกตรัมที่ต้องการจะหาค่าความเร็ว
2. ทำการคำนวณค่าเฉลี่ยของสเปกตรัม
3. ทำการพิจารณาหาตำแหน่งที่ขนาดของสัญญาณมีค่ามากที่สุด ในช่วงความถี่ที่กำหนด
4. ตรวจสอบว่าสัญญาณที่หาได้นั้นมีคู่ของฮาร์โมนิกส์เกิดขึ้น ณ ตำแหน่งห่างจากเดิม $2f_0$ หรือไม่ โดยทำการหาค่าขนาดที่สูงที่สุดในช่วงความถี่ที่น้อยกว่า $2f_0 \pm 10$ Hz ว่ามีขนาดมากกว่า 2.5 เท่าหรือไม่

5. ถ้าใช้ก็แสดงว่ามีโอกาสเป็นโรเตอร์สถิตย์ทฮาร์โมนิกส์สูง แล้วทำการคำนวณย้อนกลับหาความเร็วของมอเตอร์โดยใช้สมการข้างต้น
6. ถ้าไม่ใช่ที่เป็นให้ทำการคำนวณใหม่โดยตัดช่วงสัญญาณที่ได้ในข้อ 3 ทิ้งไปแล้วทำการคำนวณวนข้อ 3 -6 ใหม่ถ้ายังไม่เจออีกก็ให้แสดงผลว่าไม่เจอ



รูปที่ 4.7 แสดง Flow Chart ของ โปรแกรมหาความเร็วมอเตอร์

บทที่ 5

โครงสร้างของ TMS320C50 DSP Starter Kit (50'DSK)

TMS320C50 เป็นโปรเซสเซอร์ที่ทำงานด้าน DSP (Digital Signal Processing) ซึ่งตระกูล TMS320 จะมีอยู่หลายเบอร์ เช่น TMS320C50, TMS320C51, TMS320C53 ซึ่งเป็นการนำเอาสถาปัตยกรรมของ C'25 มาปรับปรุงให้มากขึ้น ทั้งในด้านความเร็วและความสะดวกอื่นๆ

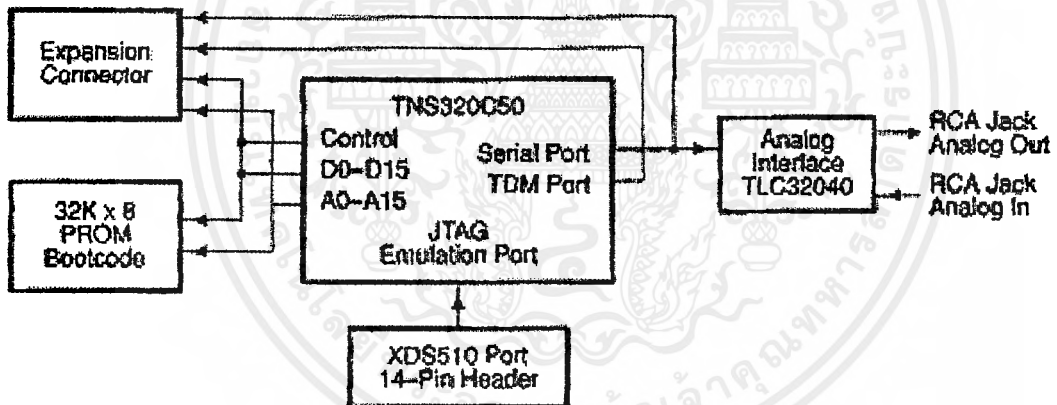
5.1 ลักษณะโดยทั่วไปของบอร์ด

1. มีแรมบนบอร์ด 9 K เวิร์ด
2. ทำงานได้รวดเร็วคือ 30-50 ns ต่อหนึ่งคำสั่ง
3. ใช้งานแทน 'C1X และ 'C2X ได้
4. มีแรมสำหรับ โปรแกรม / ข้อมูล ขนาด 9K x 16 บิต
5. มีรอมขนาด 2K x 16 บิต สำหรับการบูต
6. สามารถต่อหน่วยความจำข้างนอกได้ถึง 224K x 16 บิต ซึ่งประกอบด้วย หน่วยความจำสำหรับเก็บโปรแกรม 64K หน่วยความจำเก็บข้อมูล 64K สำหรับ I/O และอื่นๆ อีก 64 K
7. มี ALU (Arithmetic Logic Unit) ACC (accumulator) และ ACCB (accumulator buffer) ขนาด 32 บิต
8. มี PLU (Parallel Logic Unit) ขนาด 16 บิต
9. มีคำสั่งในการคูณ 16 บิต ที่ทำงานใน 1 ไชเกิล
10. มีรีจิสเตอร์ถึง 8 ตัว ในการคำนวณและเก็บค่า
11. มีสแตค (Stack)
12. มีคำสั่งสำหรับการเลื่อนบิต (shift) ตั้งแต่ 0 – 16 บิต
13. ย้ำแอดเดรสแบบเซอร์คูลาร์ (circular) โดยการใช้เซอร์คูลาร์บัฟเฟอร์ (circular buffer)
14. มีคำสั่งสำหรับการทำซ้ำโดยเฉพาะสำหรับการเคลื่อนย้ายบิต ภายในคำสั่งเดียว
15. มีคำสั่งเคลื่อนย้ายข้อมูลระหว่างหน่วยความจำข้อมูลและหน่วยความจำโปรแกรมมีพอร์ตอนุกรมที่รับส่งแบบ ฟูลดูเพลก (Full Duplex) สำหรับ 'C50 กับอุปกรณ์อื่นๆ
16. มี TDM (Time – division multiple) ของพอร์ตอนุกรม

17. สามารถกำหนดสัญญาณนาฬิกา โดยใช้ไทเมอร์ (Timer) , เคาน์เตอร์ (Counter)
18. มีซอฟต์แวร์ได้ทั้งหยุด (Stop) , เริ่ม (Start) , รีเซต (Reset)
19. มีพอร์ต I/O ได้ถึง 64K และมี 16 ตำแหน่ง สำหรับการเข้าถึงหน่วยความจำ
20. มีการทำงานเป็นแบบกไปป์ไลน์
21. สามารถผลิตสัญญาณนาฬิกา โดยการหารสัญญาณนาฬิกาที่จ่ายให้กับซีพียู

ใช้เทคโนโลยีของ ซีมอส (CMOS) และใช้ไฟเลี้ยงเพียง 5V รูปที่ 2.1 แสดงบล็อกไดอะแกรมของบอร์ด ซึ่งประกอบไปด้วย โฮตอินเตอร์เฟส , อนาลอกอินเตอร์เฟส และ อิมูเลชัน ทำให้สามารถติดต่อกับ พีซีได้โดยผ่านทาง RS232 นอกจากนี้ยังมี PROM ขนาด 32 Kbytes ที่ใช้เก็บ เคอร์เนลโปรแกรมไว้สำหรับการบูต

ส่วนของอนาลอกอินเตอร์เฟส (Analog Interface) ใช้ TLC32040 ซึ่งเป็นวงจรรินเตอร์เฟส สัญญาณอนาลอก (analog interface circuit : AIC) ที่มี RCA คอนเนคเตอร์ 2 ตัว สำหรับ อินพุต และ เอาท์พุต



รูปที่ 5.1 บล็อกไดอะแกรมของ TMS320C5x DSK

จากรูปที่ 5.1 การทำงานเริ่มต้นที่การบูตโหลดเดอร์ (Bootloader) ซึ่งบรรจุบนชิปรวม บูตโหลดเดอร์ (PROM Bootloader) ขนาด 32 บิต เบอร์ 27PC256FM จะทำการบูต (Boot) บอร์ด เป็นการเซตค่าที่จำเป็นสำหรับ TMS ซึ่งใช้เป็นดีบั๊กเกอร์ (debugger) ของ DSK

เมื่อเริ่มการรีเซต เริ่มต้นที่ตำแหน่ง 000H โดยขาริเซต หรือที่ \overline{BR} จะเป็นสถานะต่ำ (Low) และทำการเรียกโปรแกรม เคอร์เนลโปรแกรม (Kernel Program) โดยใช้ขา \overline{BIO} และ XF ของ TMS ในการติดต่อกับ PC ทาง RS232

ในการติดต่อกับ \overline{BIO} เป็นสถานะต่ำ (Low) จะเป็นการแสดงว่าเริ่มติดต่อกับ RS232 ซึ่ง จะเป็นการกำหนดบิตเริ่มต้น สำหรับการคำนวณ ไคบิตเริ่มต้นที่ 1 บิตเริ่มต้น + 7 บิต

ข้อมูล แล้วหารด้วย 8 จะได้อัตราบอร์ด (Baud Rate) ที่คำนวณจากคำสั่ง NOP ในโครงการนี้ กำหนดอัตราบอร์ดที่ 9600 bit/sec

5.1.1 วงจรส่วน CPU TMS320C50

ขา $\overline{MP}/\overline{MC}$ ของ TMS320C50 ต่อลงกราวด์เพื่อให้อยู่ในโหมดไมโครคอมพิวเตอร์ในส่วนของอินเตอร์รัพต์ $\overline{INT1}-\overline{INT4}$ และ \overline{NMI} จะแอกทิฟในสถานะต่ำ (low) ต้องมีตัวต้านทานต่อกับไฟเลี้ยงไว้ ส่วนของการติดต่อกับ RS232 จะต่อที่ \overline{BIO} และ XF ซึ่งจะกล่าวอีกทีในการอธิบายส่วนของการติดต่อกับ PC ส่วนสัญญาณนาฬิกาของระบบจะใช้คริสตอลขนาด 40 MHz ต่อเข้าที่ CLKIN ในส่วนของ CLKOUT1 จะต่อไปยัง TLC32040

การติดต่อกับหน่วยความจำจะใช้แอกเครสบัส A0 - A15 จะอ่านเขียนโดยกำหนดที่ ขา R/W, RD, WE และ STRB

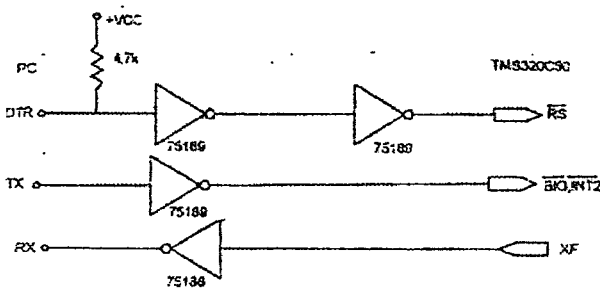
ในการติดต่อกับ TLC32040 เป็นการติดต่อแบบอนุกรมโดยมีขา DR สำหรับข้อมูล และ ขา DX สำหรับส่งข้อมูลโดยกำหนดสัญญาณที่ CLKR และ CLX ในการติดต่อ จะติดต่อเป็นแฟรม โดยมีการกำหนดเฟรมที่ FSR และ FSX กำหนดเฟรมในการรับและเฟรมในการส่งตามลำดับ

5.1.2 วงจรส่วนการติดต่อกับ RS232

การติดต่อกับ PC ผ่านทางพอร์ตอนุกรม ในโครงการนี้จะใช้ COM2 มีขั้นตอนดังนี้ ข้อมูลจาก พีซี จะเข้าที่ขา TX ผ่าน UTA ซึ่งเป็นเบอร์ 75189 เพื่อเปลี่ยนสัญญาณ RS232 มาเป็นสัญญาณ TTL มาติดต่อกับ $\overline{INT2}$ และ \overline{BIO} เข้าที่ TMS320C50 อีกที

ในการส่งข้อมูลจาก TMS ไปยัง PC จะผ่านที่ขา TX โดยมี IC เบอร์ 75188 เปลี่ยนสัญญาณ TTL เป็นสัญญาณ RS232 อีกที

ส่วนขา DRT จะใช้เป็นขาสำหรับเซตบอร์ด ซึ่งมี 75089X2 สำหรับการเปลี่ยนระดับสัญญาณ และการต่อเพิ่มเติมในส่วนของการติดต่อทาง RS232 จะมีการต่อดังรูปที่ 5.2



รูปที่ 5.2 แสดงการติดต่อกับ RS232

เอกสารนี้เป็นเอกสารที่สงวนไว้สำหรับการใช้งานเพื่อการศึกษาเท่านั้น ไม่อนุญาตให้นำไปใช้ประโยชน์ด้านการค้า ไม่ว่าจะกรณีใดๆ ทั้งสิ้น อีกทั้งห้ามมิให้ดัดแปลงเนื้อหาและต้องอ้างอิงถึงเจ้าของเอกสารทุกครั้งที่มีการนำไปใช้

โดยที่

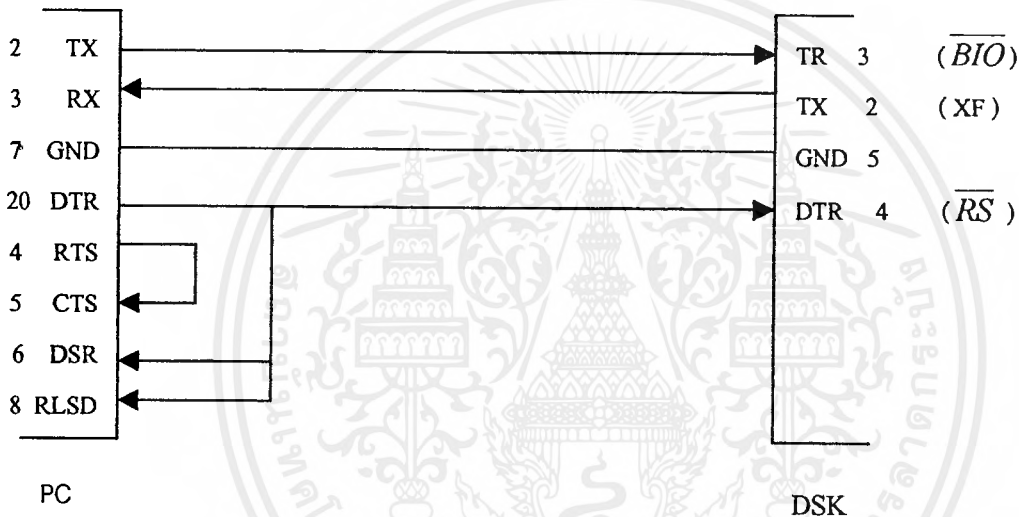
\overline{CTS} : clear to send

\overline{DSR} : data set ready

\overline{RTS} : reques to send

\overline{DTR} : data terminal ready

การรับสัญญาณจาก RS232 มาเป็น TTL และ จาก TTL มาเป็น RS232 จะใช้ไอซี 75189 และ 75188 ตามลำดับ โดยที่ปกติแล้ว ระดับ RS232 +12V จะเป็นลอจิก 0 และ -12V จะเป็นลอจิก 1 ซึ่งจะต่อดังรูปที่ 5.3



รูปที่ 5.3 สัญญาณในการติดต่อกับ RS232

5.1.3 วงจรส่วนที่ติดต่อกับ TLC32040

จากที่ได้กล่าวมาแล้ว การติดต่อระหว่าง TMS320C50 กับ TLC32040 จะผ่านทางพอร์ตอนุกรม โดยขาที่ใช้จะเป็น DX , DR , FSR , FSX และ CLK สัญญาณนาฬิกาของ TLC32040 จะได้มาจาก TMS320C50 ทาง TOUT

ในการติดต่อกับสัญญาณอนาลอกภายนอกจะเข้ามาทาง AIN+ หรือ AUXIN± เข้ามายัง TLC32040 ในการส่งข้อมูลอนาลอก จะส่งออกทาง OUT+ และ OUT-

5.1.4 วงจรที่ติดต่อกับหน่วยความจำ

เนื่องจากบอร์ดมี PROM เบอร์ 27PC256 ซึ่งเก็บชุดโพลโคเดอร์ไว้ และส่วนของการติดต่อจะใช้บัสแอดเดรส A0 – A15 และบัสข้อมูล D0 – D7 ในการอ่าน \overline{RD} และ \overline{OE} โดยการเลือกชิปที่ \overline{CE} ทาง \overline{BR}

ในส่วนของ RAM ที่ใช้ จะใช้ภายใน TMS320C50 เอง ซึ่งมีขนาด 9K สำหรับหน่วยความจำโปรแกรม และ 9K สำหรับหน่วยความจำข้อมูลซึ่งจะอธิบายอีกครั้งในหัวข้อหน่วยความจำ

5.1.5 วงจรส่วนไฟเลี้ยงและหัวต่อขยายบอร์ด

บอร์ดทำงานโดยใช้ไฟโดยขนาด $\pm 5V$ โดยเรกติไฟ (rectifi) ไฟเข้ามา 9V จากหม้อแปลง ในการทำให้แรงดันคงที่ จะใช้ IC LM7805 สำหรับไฟบวก และใช้ LM7905 สำหรับไฟลบ ส่วนการขยายบอร์ด หรือส่วนที่สามารถต่อกับภายนอกได้จะมีถึง 5 ส่วน (JP1 – JP5) ซึ่งจะเป็นการต่อกับขาของ TMS320C50 และ TLC32040 ทั้งหมด

5.2 การจัดหน่วยความจำของ TMS320C50

TMS320C50 จะมีการแบ่งหน่วยความจำเป็นส่วนของหน่วยความจำโปรแกรม และหน่วยความจำข้อมูล ตามรูป 5.4

Hex	Program	Hex	Program	Hex	Data
0000	Interrupts and Reserved (External)	0000	Interrupts and Reserved (On-Chip)	0000	Memory-Mapped Registers
007F		007F		005F	
0030	External	0030	On-Chip ROM	0060	On-Chip DARAM B2
02FF		07FF		007F	
0690	On-Chip SARAM (RAM=1) External (RAM=0)	0800	On-Chip SARAM (RAM=1) External (RAM=0)	0080	Reserved
20FF		28FF		00FF	
2C00	External	2C00	External	0100	On-Chip DARAM B0 (CNF=0) Reserved (CNF=1)
F0FF		F0FF		02FF	
F200	On-Chip DARAM B0 (CNF=1) External (CNF=0)	F0FF	External	0300	On-Chip DARAM B1
F7FF		F200		04FF	
	MP/MC = 1 (Microprocessor Mode)	F7FF	MP/MC = 0 (Microcomputer Mode)	0500	Reserved
				07FF	
				0800	On-Chip SARAM (OVL=1) External (OVL=0)
				28BF	
				2C00	External
				F7FF	

รูปที่ 5.4 แสดงการเข้าถึงหน่วยความจำของ TMS320C50

5.2.1 หน่วยความจำข้อมูล (Data memory)

ในการออกแบบของ 'C5X จะใช้สถาปัตยกรรมแบบฮาร์วาร์ด (Harvard) กล่าวคือมีการแยก หน่วยความจำข้อมูล และหน่วยความจำโปรแกรม ออกจากกัน ซึ่งจะมีผลดีต่อความเร็ว

หน่วยความจำข้อมูลของ 'C5X สามารถขยายได้ถึง 64K x 16 บิต ซึ่ง 'C51 มีแรมบนชิพถึง 9K ซึ่งแรมจะเป็นแบบ SARAM (single - access RAM) และ DARAM (dual - access RAM) ขนาด 1056 เวิร์ด บนชิพ ซึ่งมีข้อดีคือ

1. มีการปฏิบัติการได้เร็วไม่มีการรอ (wait state)
2. ทำงานโดยวิธีการไปป์ไลน์ ทำให้ทำงานได้รวดเร็ว
3. ช่วยลดค่าใช้จ่ายในการต่อหน่วยความจำภายนอก
4. ช่วยประหยัดไฟ ซึ่งถ้าใช้การต่อหน่วยความจำภายนอกจะสิ้นเปลืองกว่า

2.2.2 หน่วยความจำโปรแกรม (Program Memory)

ในการใช้งานของหน่วยความจำโปรแกรม ซึ่งสามารถขยายได้ถึง 64K ซึ่ง 'C5X มีรอม, SARAM และ DARAM ซึ่งมีความเร็วที่สูง โดยไม่มีการรอ (wait state)

ในการทำงานของชิพ 'C50 สามารถใช้ร่วมกับรอมภายในขนาด 4K ซึ่งสามารถโปรแกรมมาจากโรงงาน มีความเร็วในการทำงานเต็มที่ ในการเลือกใช้จะต้องมีการกำหนดที่ขาของ $/MP/\overline{MC}$ หากขาค้างล้าวเป็นสถานะสูง ตำแหน่ง 4K แรกจะเป็นหน่วยความจำภายนอกชิพ แต่ถ้าเป็นสถานะต่ำ ตำแหน่ง 4K เวิร์ดแรกจะเป็นรอมภายในชิพ ดังรูปที่ 5.4

5.3 วงจรอินเทอร์เฟซสัญญาณอนาล็อก TLC32040

5.3.1 ลักษณะที่สำคัญของ TLC320C40 มีดังนี้

- ใช้เทคโนโลยีการผลิต Advanced LinCMOS™ Silicon-Gate Process
- ความละเอียดของ ADC และ DAC เป็น 14 บิต
- สามารถเปลี่ยนอัตราการแซมปลิงของ ADC และ DAC ได้ถึง 19,200 ครั้ง/วินาที
- มี Switch-Capacitor Antialiasing Input Filter และ Output-Reconstruction Filter
- มีพอร์ตอนุกรมสำหรับติดต่อโดยตรงกับ TMS3211, TMS320C17, TMS32020, และ TMS320C25 DSP
- สามารถปรับอัตราการแปลงของ ADC และ DAC ทั้งแบบซิงโครนัส หรืออะซิงโครนัส โดยใช้ซอฟต์แวร์ควบคุม

5.3.2 การทำงานของ TLC32040

- อินพุตทางอนาล็อก (analog input) สำหรับ อนาล็อกอินพุตจะมี 2 กลุ่มคือ IN+ , IN- และ AUX IN+ , AUX IN- ซึ่งสามารถเลือกใช้กลุ่มใดกลุ่มหนึ่ง โดยจะใช้ในแบบ ดิฟเฟอเรนเชียล

เอกสารนี้เป็นเอกสารที่สงวนไว้สำหรับการใช้งานเพื่อการศึกษาเท่านั้น ไม่อนุญาตให้นำไปใช้ประโยชน์ด้านการค้าไม่ว่ากรณีใดๆ ทั้งสิ้น อีกทั้งห้ามมิให้ดัดแปลงเนื้อหาและต้องอ้างอิงถึงเจ้าของเอกสารทุกครั้งที่มีการนำไปใช้

ยด (differential) หรือ ซิงเกิล-เอนด์ (single-ended) และค่าเกน สำหรับอินพุท IN+, IN-, AUX IN+ และ AUX IN- สามารถจะใช้โปรแกรมตั้งค่าได้ (มี 3 ค่า คือ 1 2 หรือ 4) การเลือกกลุ่มอินพุทใด จะเลือกโดยใช้ซอฟต์แวร์ควบคุม

- A/D bandpass filter , A/D bandpass filter clocking และ A/D conversion timing สำหรับ A/D แบนด์พาส ฟิลเตอร์ (A/D bandpass filter) เราสามารถที่จะเลือกใช้หรือไม่ใช้ก็ได้โดยใช้ซอฟต์แวร์ควบคุม ความถี่ของสัญญาณนาฬิกาควบคุมฟิลเตอร์ (filter clock) จะเป็นตัวกำหนดทรานเฟอร์ฟังก์ชัน (transfer function) ของฟิลเตอร์ โดยจะคิดจากอัตราส่วนความถี่สัญญาณนาฬิกาควบคุมฟิลเตอร์ 28 kHz ที่ความถี่ต่ำ เริ่มมีลักษณะความถี่สูงผ่าน จะมีความถี่เป็น 300 Hz อัตราการแปลง D/A ก็หาได้จากความถี่ ที่ หาร 288 kHz ด้วย RX เคาน์เตอร์ B

- เอาท์พุททางอนาลอก (analog output)

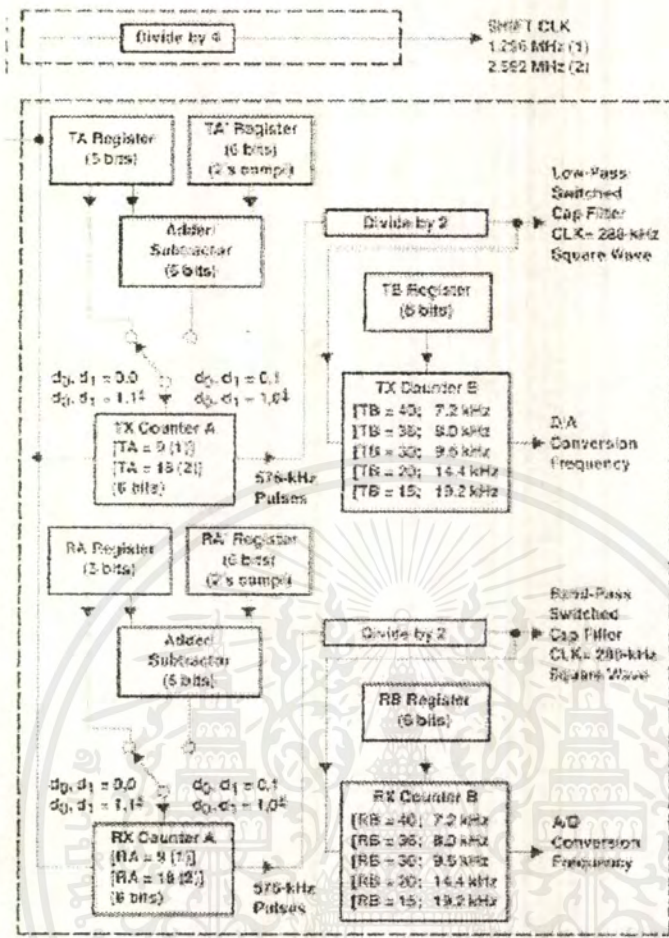
อนาลอกเอาท์พุทจะมีแอมพลิไฟต์ (power amplifier) มีเอาท์พุททั้งแบบ นอน-อินเวอร์ตติ้ง (non-inverting) และ แบบ อินเวอร์ตติ้ง (inverting) และเนื่องจากมีแอมพลิไฟต์ทำให้อาท์พุท สามารถขับ ทรานฟอเมอร์ ชนิด ไฮบริดจ์ (hybridge transformer) หรือ โหลดอิมพีแดนซ์ต่ำได้โดยใช้ทั้งแบบดิฟเฟอเรนเชียล หรือ ซิงเกิล-เอนด์

- วงจรกรองความถี่ต่ำของ A/D , วงจรกรองความถี่ แบนด์พาส ของ D/A

สัญญาณนาฬิกาการควบคุม วงจรกรองความถี่ต่ำ และ อัตราการแปลงสัญญาณดิจิทัลเป็นอนาลอก (D/A lowpass filter , D/A lowpass filter clocking , D/A conversion timing) เช่น Hz เดียวกับ A/D ฟิลเตอร์โดยทรานเฟอร์ฟังก์ชันของฟิลเตอร์ถูกกำหนดจากอัตราส่วนกับความถี่ 288 Hz และ อัตราการแปลง D/A ก็หาได้จากความถี่ 288 หารด้วย TX เคาน์เตอร์ B

- การต่อกลับ (Loopback)

การต่อกลับจะให้ผู้ใช้ตรวจสอบวงจร โดย OUT+ และ OUT- จะต่อเข้าภายในกับ IN+ และ IN- ดังนั้นบิต DAC(d15 - d2) จะถูกส่งไปยังขา DX และเปรียบเทียบกับบิต ADC ที่รับมาจากขา DR ซึ่งโดยปกติจะมีค่าที่เท่ากัน (แต่ในทางปฏิบัติ อาจไม่เท่ากันก็ได้) ในการตรวจสอบ ถ้าใช้ขา IN+ และ IN- สัญญาณภายนอกที่ต่อกับ IN+ และ IN- จะไม่มีผล แต่ถ้าใช้ AUX IN+ , AUX IN- สัญญาณภายนอกจะถูกรวมกับ OUT+ และ OUT- สำหรับการควบคุมการต่อกลับ จะทำโดยการตั้งค่าในรีจิสเตอร์ควบคุม



รูปที่ 5.5 แสดงไทม์เมอร์ภายใน

5.4 อุปกรณ์เสริม (Peripherals)

TMS320C50 มีการอินเตอร์เฟสกับภายนอกได้ถึง 8 วิธี ซึ่งประกอบด้วย

1. อินเทอร์รัพต์
2. พอร์ตอนุกรม (serial port)
3. พอร์ตอนุกรมแบบแบ่งเวลา (TDM serial port)
4. ไทม์เมอร์ (Timer)
5. รีจิสเตอร์ใช้โปรแกรมสภาวะการรอ (software-programmable wait state)
6. พอร์ตติดต่อภายนอก (I/O port)
7. รีจิสเตอร์หารสัญญาณนาฬิกา (divide-by-one clock)

เอกสารนี้เป็นเอกสารที่สงวนไว้สำหรับการใช้งานเพื่อการศึกษาเท่านั้น ไม่อนุญาตให้นำไปใช้ประโยชน์ด้านการค้าไม่ว่ากรณีใดๆ ทั้งสิ้น อีกทั้งห้ามมิให้ดัดแปลงเนื้อหาและต้องอ้างอิงถึงเจ้าของเอกสารทุกครั้งที่มีการนำไปใช้

8. XF และ BIO

ซึ่งทั้งหมดจะควบคุมผ่านรีจิสเตอร์ควบคุม โดยการใช้วิธีการอ้างหน่วยความจำ ในการใช้งานจะเป็นการใช้ โดยการส่งลงที่แอดเดรสของหน่วยความจำโปรแกรม และข้อมูล ซึ่งเราก็จะกล่าวถึงเฉพาะหัวข้อที่เกี่ยวกับโครงงานเท่านั้น

5.4.1 อินเทอร์รัพต์ (Interrupt)

TMS320C50 มีอินเทอร์รัพต์ทั้งหมด 16 อินเทอร์รัพต์ (16 INT - INT1) แต่จะไม่ใช้พร้อมกันทั้งหมด โดยปกติจะใช้ 9

การรีเซต (Reset) จะเป็นอินเทอร์รัพต์แบบ นอน มาร์กอะเบิล จากภายนอก (nonmaskable external interrupt) ซึ่งเมื่อเกิดขึ้นจะมีการรีเซตดังนี้

1. CNF = 0 หมายถึงการใช้หน่วยความจำข้อมูลบนชิพ
2. PC = 0000H
3. INTM บิต = 1 และ IFR = 0 ทำให้อินเทอร์รัพต์ทุกตัวไม่ทำงาน
4. บิตสถานะ (status bit) จะเป็นดังนี้

0 → VO 0 → XF 1 → SXM 0 → PM 1 → HM
 0 → BRAI 0 → TRM 0 → NDX 0 → CENM1 0 → CENM2
 0 → IPTR 0 → OVLY 0 → AVIS 0 → RAM 0 → BIG
 0 → CNF 1 → INTM MP/MC (PIN) → (MC/MP) 1 → C

5. GREG = 0000000

6. RPTC = 00

7. IACK จะแสดงการเก็บสถานะการรีเซต

ในการควบคุมการอินเทอร์รัพต์จะมี IFR (Interrupt Flag Register) แสดงภาวะการอินเทอร์รัพต์ และ IMR (Interrupt Mask Register) แสดงการ Mask ของอินเทอร์รัพต์ ดังรูปที่

5.7

15	9	8	7	6	5	4	3	2	1	0
Reserved	$\overline{INT4}$	TXNT	TRNT	XINT	RINT	TINT	$\overline{INT3}$	$\overline{INT2}$	$\overline{INT1}$	

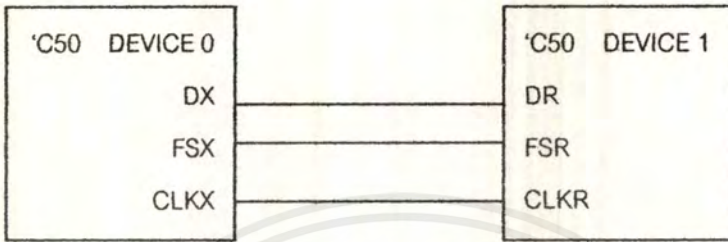
รูปที่ 5.6 รีจิสเตอร์อินเทอร์รัพต์แฟลก

ในการกำหนดให้ใช้อินเทอร์รัพต์จะต้องทำการเคลียร์ที่ INTM บิตด้วย

เอกสารนี้เป็นเอกสารที่สงวนไว้สำหรับการใช้งานเพื่อการศึกษาเท่านั้น ไม่อนุญาตให้นำไปใช้ประโยชน์ด้านการค้า ไม่ว่ากรณีใดๆ ทั้งสิ้น อีกทั้งห้ามมิให้ดัดแปลงเนื้อหาและต้องอ้างอิงถึงเจ้าของเอกสารทุกครั้งที่มีการนำไปใช้

5.4.2 พอร์ตอนุกรม (Serial port)

Serial port ของ TMS320C50 จะเป็นแบบฟูล – ดูเพล็กซ์ คือ สามารถรับส่งภายในเวลาเดียวกัน ทำให้สามารถติดต่ออุปกรณ์ภายนอกอื่นๆได้ ไม่ว่าจะเป็น CODEC A/D หรือระบบอื่นๆ ในการต่อขาต่างๆ จะเป็นตามรูปที่ 5.8



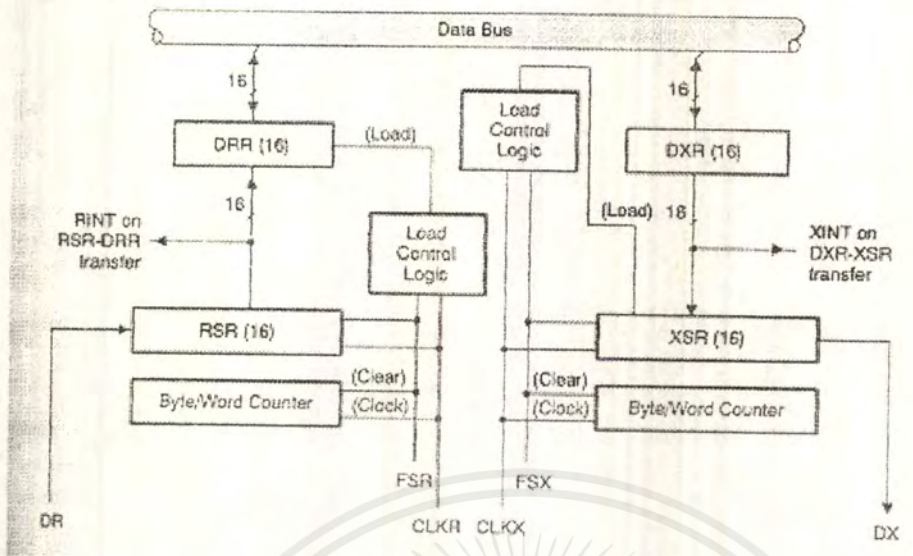
รูปที่ 5.7 แสดงการต่อพอร์ตอนุกรมกับพอร์ตภายนอก
ตารางที่ 5.1 ขาสัญญาณของพอร์ตอนุกรม

ขาสัญญาณ	ความหมาย
CLKX	สัญญาณคล็อกที่ใช้ในการส่ง
CLKR	สัญญาณคล็อกที่ใช้ในการรับ
DX	สัญญาณข้อมูลอนุกรมในการส่ง
DR	สัญญาณข้อมูลอนุกรมในการรับ
FSX	สัญญาณการซิงโครไนซ์เฟรมการส่ง
FSR	สัญญาณการซิงโครไนซ์เฟรมการรับ

และในการควบคุมพอร์ตอนุกรมจะมีรีจิสเตอร์ที่จำเป็นตามตารางที่ 5.2

ตารางที่ 5.2 รีจิสเตอร์พอร์ตอนุกรม

รีจิสเตอร์	ความหมาย
SPC	รีจิสเตอร์ควบคุมพอร์ตอนุกรม
DXR	รีจิสเตอร์ส่งข้อมูล
DRR	รีจิสเตอร์รับข้อมูล
XSR	รีจิสเตอร์เลื่อนการส่ง
RSR	รีจิสเตอร์เลื่อนการรับ



รูปที่ 5.8 บล็อกโคโตะแกรมการทำงานของพอร์ตอนุกรม

ในการส่งข้อมูลทำได้โดยการเขียนข้อมูลลงใน DXR (Data transmit register) จะเป็นตัวเลื่อนบิตตามสัญญาณนาฬิกาจนครบ ไปตามขา DR เข้ามาที่ RSR (Receive Shift Register) เมื่อครบแล้วจะทำการอินเตอร์รัพต์บอกให้ทราบ แล้วสามารถรับข้อมูลโดยการอ่านข้อมูลจาก DRR (Data Receive Register)

5.4.3 ไทม์เมอร์ (Timer)

ในการใช้ไทม์เมอร์ของ TMS320C50 ซึ่งจะสามารถตั้งคาบเวลาของสัญญาณนาฬิกาได้ โดยสัญญาณที่จะออกที่ขา Tout ของ TMS320C50

ซึ่งการคำนวณคาบเวลาจะเป็นไปตามสูตร

$$T = \frac{1}{t_c \times (TDDR + 1) \times (PRD + 1)}$$

ซึ่ง t_c เป็นคาบเวลาของสัญญาณที่จ่ายให้ที่ขาของ CLKOUT1

TDDR (Timer Divide Down Ratio)

PRD (Period Register) เป็นรีจิสเตอร์ที่สามารถใส่ค่าคาบเวลาได้

ในการทำงานจะต้องมีการใส่ค่าต่างๆลงบน TCR (Timer Control

Register) ดังตารางที่ 5.3

ตารางที่ 5.3 รีจิสเตอร์ควบคุมไทม์เมอร์ (TCR)

15-12	11	10	9-6	5	4	3-0
Reserve	SOFT	FREE	PSC	TRB	TSS	TDDR

เอกสารนี้เป็นเอกสารที่สงวนไว้สำหรับการใช้งานเพื่อการศึกษาเท่านั้น ไม่นอนุญาตให้นำไปใช้ประโยชน์ด้านการค้าไม่ว่ากรณีใดๆ ทั้งสิ้น อีกทั้งห้ามมิให้ดัดแปลงเนื้อหาและต้องอ้างอิงถึงเจ้าของเอกสารทุกครั้งที่มีการนำไปใช้

5.4.4 การเขียนโปรแกรมและคำสั่ง

- การกำหนดสถานะเริ่มต้นสำหรับ TMS320C50

ทุกครั้งที่มีการใช้งาน TMS320C50 จำเป็นต้องมีการกำหนดสถานะเริ่มต้น (Initialize) ตัวชิพก่อนเสมอซึ่งต้องทำการเตรียมสถานะของ โปรเซสเซอร์ให้พร้อม โดยปกติจะทำให้เมื่อเกิดการรีเซตของ TMS320C50 จะเกิดขึ้นเมื่อขา \overline{RS} อยู่ในสถานะต่ำ ซึ่งจะทำให้ IPTR (Interrupt pointer) ซึ่งอยู่ใน PMST (processor mode status register) เกิดการเคลียร์ ทำให้เกิดการ map เวกเตอร์ไปที่เพจ 0 ในการเกิดอินเตอร์รัพต์ นั้นเมื่อรีเซตจะทำให้ disable และในการกำหนดสถานะเริ่มต้นสำหรับโปรเซสเซอร์นั้นจะประกอบด้วย

- การ Map หน่วยความจำ และรีจิสเตอร์ควบคุม
- การเซตโครงสร้างของอินเตอร์รัพต์
- โหมดควบคุมต่างๆ (OVM, SXM, PM, AVIS, NDX, TRM)
- การควบคุมหน่วยความจำ (RAM, OVLY, CNF)
- กำหนดรีจิสเตอร์ช่วย (Auxiliary register) และตัวชี้รีจิสเตอร์ช่วย
- กำหนดตัวชี้เพจข้อมูล (Data page pointer)

การกำหนดค่าใน PMST (Processor mode status register)

ตารางที่ 5.4 การกำหนดค่าใน PMST

15	14	13	12	11	10	9	8	7	6	5	4	3	2	1	0
IPTR			0	0	0	AVI	0	OVL	RA	$\overline{MP/MV}$		NDX	IRM	BRA	
						S		Y	M				T		

ค่า IPTR ที่เรากำหนดที่ IPTR = 1000B หรือเป็นเพจที่ 1 ซึ่งตรงกับโปรแกรมตำแหน่ง 0800h ส่วนการกำหนดใช้ RAM ภายใน จะต้องใช้ RAM 9K ซึ่งอยู่ในชิพ กำหนดแรม OVLY เป็น 1 RAM ที่ใช้จะเป็น SARAM โดยที่หน่วยความจำโปรแกรมอยู่ที่ 0800h - 2BFFh

ในส่วนของการกำหนดอินเตอร์รัพต์เวกเตอร์ (Interrupt vector) มีการกำหนดดังนี้

- Reset 0800h การรีเซตภายนอก
- $\overline{INT1}$ 0802h สัญญาณอินเตอร์รัพต์จากผู้ใช้ภายนอก หมายเลข 1
- $\overline{INT2}$ 0804h สัญญาณอินเตอร์รัพต์จากผู้ใช้ภายนอก หมายเลข 2
- $\overline{INT3}$ 0806h สัญญาณอินเตอร์รัพต์จากผู้ใช้ภายนอก หมายเลข 3
- TINT 0808h สัญญาณอินเตอร์รัพต์ไทมเมอร์ภายใน

เอกสารนี้เป็นเอกสารที่สงวนไว้สำหรับการใช้งานเพื่อการศึกษาเท่านั้น ไม่อนุญาตให้นำไปใช้ประโยชน์ด้านการค้าไม่ว่ากรณีใดๆ ทั้งสิ้น อีกทั้งห้ามมิให้ดัดแปลงเนื้อหาและต้องอ้างอิงถึงเจ้าของเอกสารทุกครั้งที่มีการนำไปใช้

- RINT 080Ah สัญญาณอินเทอร์รัพต์สำหรับการรับค่าจากพอร์ตอนุกรม
- XINT 080Ch สัญญาณอินเทอร์รัพต์สำหรับการส่งค่าให้พอร์ตอนุกรม
- $\overline{INT4}$ 0812h สัญญาณการอินเทอร์รัพต์จากผู้ใช้ภายนอก
- TRAP 0822h คำสั่งซอฟต์แวร์ แทรป (Software trap instruction)
- NMI 0824h นอนมาร์กอะเบิลอินเทอร์รัพต์ (Nonmaskable Interrupt)

และในโครงงานนี้เรากำหนด interrupt จาก IMR (Interrupt mask register) ซึ่งจะกำหนดดังนี้

ตารางที่ 5.5 การกำหนดค่าใน IMR

15...9	8	7	6	5	4	3	2	1	0
Reserved	$\overline{INT4}$	TXNT	TRNT	XINT	RINT	TINT	$\overline{INT3}$	$\overline{INT2}$	$\overline{INT1}$

ซึ่งก่อนการใช้อินเทอร์รัพต์จะต้องไม่ mask อินเทอร์รัพต์ ด้วนั้นๆ โดยใช้คำสั่ง clrc INTM ส่วน IMM จะแอกทีฟที่ "1"

ตัวอย่าง

setc INTM ; กำหนด $\overline{INT1}$, \overline{XINT}

SPLK #031h,IMR ; \overline{RINT} แอกทีฟ

Clrc INTM

ในโครงงานนี้ใช้ $\overline{INT2}$, RINT, XINT แอกทีฟ

- การเขียน โปรแกรมทางด้านคณิตศาสตร์และลอจิก

TMS320C50 มี PLU (Parallel Logic Unit) ซึ่งจะเป็นการกระทำทางลอจิก (Logic) ที่มีความเร็วมาก ในส่วนนี้มีรีจิสเตอร์ซึ่งใช้ในการประมวลผล เช่น สเกลลิงชิฟเตอร์ (scaling shifter) ตัวคูณแบบขนาน 16×16 บิต อริทเมติก ลอจิก ยูนิท (arithmetic logic unit : ALU) 32 บิต แอคคิวมูเลเตอร์ (accumulator :ACC) 32 เป็นต้น

ซึ่งมีประสิทธิภาพในการประมวลผลทางด้าน คณิตศาสตร์ และลอจิก ที่จำเป็นในการใช้งานทางด้านการประมวลผล ทางดิจิทัล

เอกสารนี้เป็นเอกสารที่สงวนไว้สำหรับการใช้งานเพื่อการศึกษาเท่านั้น ไม่อนุญาตให้นำไปใช้ประโยชน์ด้านการค้าไม่ว่ากรณีใดๆ ทั้งสิ้น อีกทั้งห้ามมิให้ดัดแปลงเนื้อหาและต้องอ้างอิงถึงเจ้าของเอกสารทุกครั้งที่มีการนำไปใช้

บทที่ 6

หน่วยลดทอนสัญญาณ

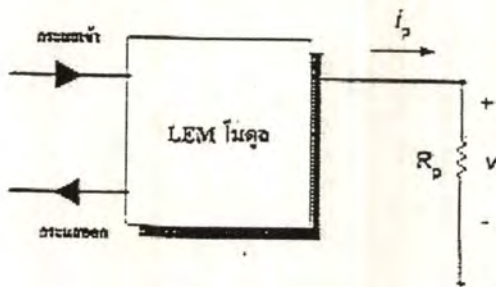
6.1 บทนำ

ข้อสำคัญประการหนึ่งในการวัดสัญญาณฮาร์โมนิกส์คือเราไม่สามารถวัดขนาดและรูปร่างสัญญาณเข้ามาคำนวณขนาดขององค์ประกอบฮาร์โมนิกส์ได้โดยตรง เนื่องจากจะต้องนำรูปคลื่นกระแสมาทำการคำนวณโดยอาศัย การประมวลผลเชิงตัวเลข (DSP ; Digital Signal Processing) โดยการใช้โปรแกรม MATLAB ซึ่งก่อนทำการประมวลผลลักษณะรูปคลื่นซึ่งเป็นสัญญาณอนาลอก (Analog) จะถูกเปลี่ยนเป็นสัญญาณดิจิทัลโดยใช้สโคปรุ่น HP 54520C ซึ่งเป็นตัวแปลงสัญญาณอนาลอกเป็นดิจิทัล จากนั้นทำการบันทึกข้อมูลลงแผ่นดิสก์ ในการใช้หน่วยลดทอนจะต้องทำการออกแบบวงจร ซึ่งได้ออกแบบไว้เพื่อให้สามารถใช้ได้กับบอร์ด TMS320C26 เนื่องจากมีความคิดที่จะใช้บอร์ดดังกล่าวในโครงการที่ 2 สัญญาณ อนาลอกนี้จะเป็นสัญญาณที่อยู่ในช่วง ± 3 โวลต์ ดังนั้น จึงจะต้องลดทอนสัญญาณเข้าอยู่ในรูปของสัญญาณแรงดันไม่เกิน ± 3 โวลต์ โดยที่หลังการลดทอนสัญญาณลักษณะรูปคลื่น (wave form) ต้องมีความผิดเพี้ยน (distortion) น้อยที่สุด

โดยความจำเป็นอันนี้จึงเลือกใช้ LEM โมดูลซึ่งเป็นตัวแปลงกระแสโดยอาศัยหลักการของปรากฏการณ์ของฮอลล์ (Hall effect) โดยการทำงานจะคล้ายกับหม้อแปลงกระแสโดยทั่วไปคือให้กระแสออกทางด้านทุติยภูมิแต่มีความผิดเพี้ยนของสัญญาณน้อยกว่า

6.2 การแปลงสัญญาณกระแสให้เป็นสัญญาณแรงดัน

กระแสที่ออกจาก LEM โมดูลจะถูกแปลงเป็นสัญญาณแรงดันค่าไม่เกิน ± 3 โวลต์ โดยให้กระแสผ่านความต้านทานค่าคงที่ค่าหนึ่งแล้วนำแรงดันตกคร่อมมาใช้



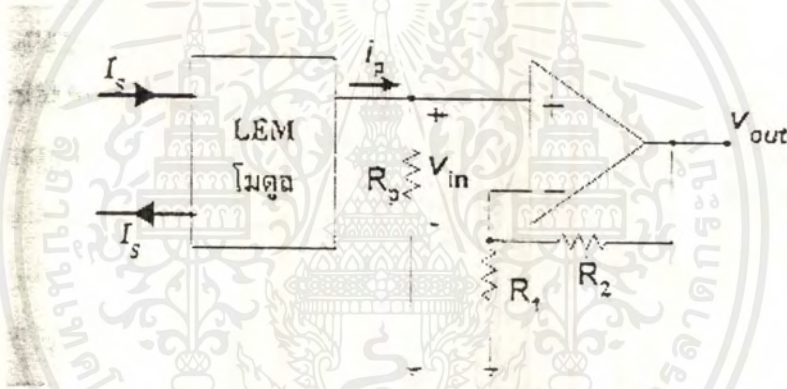
รูปที่ 6.1 แสดงการแปลงสัญญาณกระแสจาก LEM โมดูลให้เป็นสัญญาณแรงดัน

ซึ่งแรงดันตกคร่อม R_p หาได้จาก

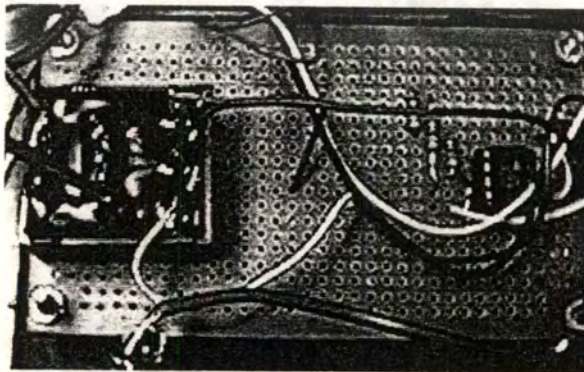
$$v = i_p R_p \quad 6.1$$

แต่อย่างไรก็ตามการนำแรงดันตกคร่อม R_p ป้อนการ์ด DSP โดยตรงนั้นอาจมีผลให้การวัดผิดเพี้ยนได้เนื่องจากการคิงกระแสของการ์ด DSP (ถึงแม้จะมีค่าน้อยแต่สามารถหลีกเลี่ยงได้)

ดังนั้นจะใช้วงจร นอน-อินเวอร์ตติง (non-inverting) มาขึ้นกลางโดยใช้ออปแอมป์ LF351 ซึ่งเป็น ออปแอมป์ที่ใช้งานได้ในช่วงความถี่ได้สูง (4 Mhz) ซึ่งใช้ได้ในช่วงการใช้งานสำหรับสัญญาณในการวัดสัญญาณฮาร์โมนิกส์ไม่เกินลำดับที่ 35 คือ ที่ความถี่ $35 \times 50 = 1750$ Hz หรือ 1.75 KHz



รูปที่ 6.2 แสดงการใช้วงจร นอน อินเวอร์ตติง (non-inverting) มาขึ้นกลางระหว่างสัญญาณแรงดันจาก LEM โมดูล



รูปที่ 6.3 ภาพแสดง LEM โมดูลที่ต่อเข้ากับนอน-อินเวอร์ตติง

เอกสารนี้เป็นเอกสารที่สงวนไว้สำหรับการใช้งานเพื่อการศึกษาเท่านั้น ไม่นุญาตให้นำไปใช้ประโยชน์ด้านการค้าไม่ว่ากรณีใดๆ ทั้งสิ้น อีกทั้งห้ามมิให้ดัดแปลงเนื้อหาและต้องอ้างอิงถึงเจ้าของเอกสารทุกครั้งที่มีการนำไปใช้

จากวงจรรูปที่ 6.2 จะได้

$$v_{out} = \left(1 + \frac{R_2}{R_1}\right)v_{in} \quad 6.2$$

โดยเลือกใช้ $R_1 = R_2 = 5 \text{ K}\Omega$ เราจะได้ $v_{out} = 2 \cdot v_{in}$ และเนื่องจาก v_{out} เป็นสัญญาณที่ต้องป้อนเข้าการ์ด DSP ซึ่งจำกัดขนาดแรงดันสูงสุดไม่เกิน ± 3 โวลต์ ดังนั้น v_m ต้องมีขนาดไม่เกิน ± 1.5 โวลต์ เนื่องจาก LEM โมดูลที่ใช้เป็นแบบ LA25 NP ซึ่งทนกระแสได้ 25 แอมแปร์ ดังนั้นจะทนกระแสสูงสุดได้ $25 \times \sqrt{2} = 35.4$ แอมแปร์ หรือประมาณ 36 แอมแปร์

โดยเลือกใช้อัตราส่วน (turn ratio) เป็น 1000/1 ดังนั้น

$$\begin{aligned} I_p &= \frac{36}{1000} \text{ A} \\ &= 36 \text{ mA} \end{aligned}$$

จากสมการ (6.1) จะสามารถคำนวณ R_p ได้ แต่เนื่องจาก $v = v_m$ ดังนั้น

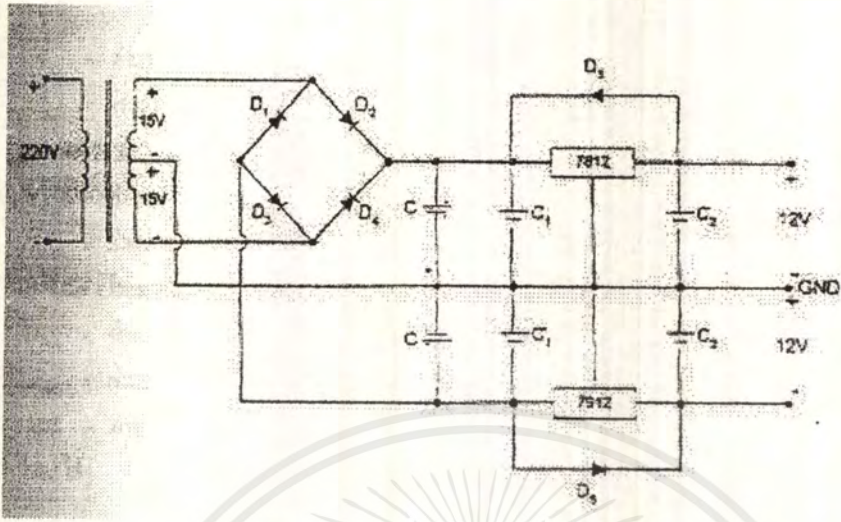
$$R_p = \frac{v}{i_p} \Omega \quad 6.3$$

หาค่า $R_p = 1.5/36 \times 10^3 \Omega$
 $= 41.7 \Omega$

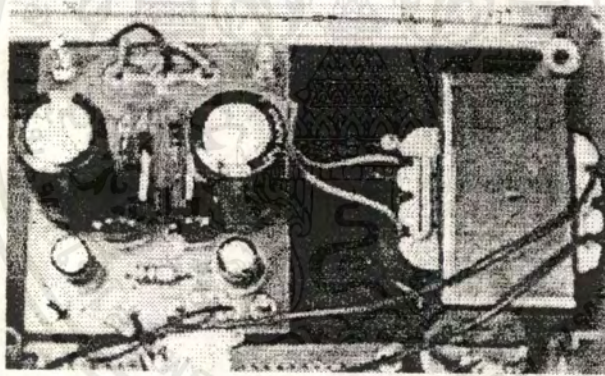
ดังนั้นเลือกใช้ $R_p = 40 \Omega$

6.3 วงจรสร้างไฟเลี้ยงอปแอมป์ และ LEM โมดูล ± 12 โวลต์

โดยการจ่ายไฟสลับ 220 โวลต์ ผ่านหม้อแปลง ผ่านวงจรบริดจ์เรกติฟายแบบเต็มคลื่นผ่านฟิวเตอร์ แล้วทำให้เรียบด้วยไอซีเรกกูเลตดังรูปที่ 6.3



รูปที่ 6.4 วงจรจ่ายไฟเลี้ยง ± 12 โวลต์



รูปที่ 6.5 แสดงภาพภาคจ่ายไฟของเครื่องลดทอนสัญญาณ

ใช้ไอซีเรกกูเลต MC7812 และ MC7912

6.3.1 ขนาดของหม้อแปลง

คำนวณ V_{ac} ที่ใช้จาก

$$V_{ac} = \left(\frac{V_o + V_{reg} + V_{rect} + V_{ripple}}{0.92} \right) \times \frac{V_{norm}}{V_{min}} \times \frac{1}{2}$$

6.4

เอกสารนี้เป็นเอกสารที่สงวนไว้สำหรับการใช้งานเพื่อการศึกษาเท่านั้น ไม่อนุญาตให้นำไปใช้ประโยชน์ด้านการค้า ไม่ว่าจะกรณีใดๆ ทั้งสิ้น อีกทั้งห้ามมิให้ดัดแปลงเนื้อหาและต้องอ้างอิงถึงเจ้าของเอกสารทุกครั้งที่มีการนำไปใช้

เมื่อ V_o = ค่าแรงดันไฟตรงที่ผ่านการเรกกูเลตแล้ว

V_{reg} = แรงดันที่ตกคร่อมไอซีเรกกูเลต ซึ่งมีค่าประมาณ 3 โวลต์ สำหรับไอซีเรกกูเลตเบอร์ 78XX และ 79XX

V_{rect} = ค่าแรงดันคัทอิน (cutin voltage) ที่ตกคร่อมไดโอด ซึ่งประมาณ 1.1 โวลต์

V_{ripple} = ค่าแรงดันที่ไม่เรียบสูงสุด (peak ripple voltage) ที่ผ่านตัวเก็บประจุฟิลเตอร์ (C filter) ซึ่งมีค่าประมาณน้อยกว่า 1 โวลต์

V_{Nom} = ค่าแรงดันไฟสลับที่จ่ายให้วงจรในภาวะปกติ ใช้ 220 โวลต์

V_{min} = ค่าแรงดันไฟสลับที่จ่ายวงจรในภาวะผิดปกติ เช่น ไฟตก เป็น 200 โวลต์

0.92 = ค่าประสิทธิภาพการเรกติฟาย (Rectifier efficiency)

ดังนั้นจะได้

$$V_{ac} = \left(\frac{12 + 3 + 1.1 + 0.5}{0.92} \right) \times \frac{220}{200} \times \frac{1}{2}$$

$$= 4.0 \text{ V}$$

ใช้ V_{ac} 15 โวลต์ในการใช้งาน

เนื่องจากหม้อแปลงที่ใช้เป็นแบบมีแท่งกลาง (center tap) ดังนั้นพิกัดหม้อแปลงที่ใช้

คือ 220/30 โวลต์ กระแสไฟตรง I_{dc} ที่ต้องใช้ = กระแสจ่ายออปแอมป์ + กระแสจ่าย

LEM โมดูล

$$= 1.8 \text{ mA} + 25 \text{ mA}$$

$$= 26.8 \text{ mA}$$

เนื่องจากเป็นวงจรบริดจ์เรกติฟายแบบเต็มคลื่นดังนั้น

$$I_{ac} = 1.65 I_{dc} \quad 6.5$$

ดังนั้นจะคำนวณ $I_{ac} = 1.65 \times 26.8 = 44.2 \text{ mA}$

เพื่อค่าไว้เป็น $I_{ac} = 100 \text{ mA}$

ดังนั้นขนาดหม้อแปลงเป็น $0.1 \times 30 = 3 \text{ VA}$

ดังนั้นใช้หม้อแปลงขนาดใหญ่กว่า 3 VA

6.3.2 ขนาดตัวเก็บประจุ

ค่า C_1 และ C_2 สำหรับ 7812 และ 9712 ดูได้จากเอกสารประกอบ (data sheet) ใช้

$$C1 = 0.22 \mu\text{F} \text{ และ } C2 = 0.1 \mu\text{F}$$

เอกสารนี้เป็นเอกสารที่สงวนไว้สำหรับการใช้งานเพื่อการศึกษาเท่านั้น ไม่อนุญาตให้นำไปใช้ประโยชน์ด้านการค้าไม่ว่ากรณีใดๆ ทั้งสิ้น อีกทั้งห้ามมิให้ดัดแปลงเนื้อหาและต้องอ้างอิงถึงเจ้าของเอกสารทุกครั้งที่มีการนำไปใช้

สำหรับค่าตัวเก็บประจุสำหรับฟิลเตอร์คำนวณได้จาก

$$C = \frac{I_{dc}}{2fV_{r(p-p)}} \quad 6.6$$

เมื่อ $f = 50 \text{ Hz}$

หรืออาจคำนวณได้จาก

$$C = \frac{I_{dc}}{2\sqrt{3} fR_L r} \quad 6.7$$

เมื่อ $f = 100 \text{ Hz}$ $r =$ ค่าเปอร์เซ็นต์ความไม่เรียบ (percent ripple)

และ
$$R_L = \frac{V_{dc}}{I_{dc}} \quad 6.8$$

ดังนั้นคำนวณหาค่า C ที่ใช้ได้อย่างน้อยเท่ากับ

$$\frac{1}{2\sqrt{3} \times 100 \times \left(\frac{12}{0.027}\right) \times 0.01} = 650 \mu\text{F}$$

ในที่นี้ใช้ $C = 2000 \mu\text{F}$

6.3.3 ขนาดไดโอดที่ใช้

ในวงจรเรกติฟายแบบเต็มคลื่นไดโอดต้องทนแรงดันด้านกลับสูงสุด (PIV: Peak Invert Voltage) ได้อย่างน้อย 2 เท่าของค่าสูงสุดของแรงดันด้านทุติยภูมิเทียบกับแท่งปกกลาง คือ $PIV > 2V_m$ แต่เพื่อความปลอดภัยใช้ อย่างน้อย 3 เท่า $PIV > 3V_m$

เนื่องจากแรงดันเทียบแท่งปกกลางด้านทุติยภูมิเป็น 15 โวลต์ ดังนั้น

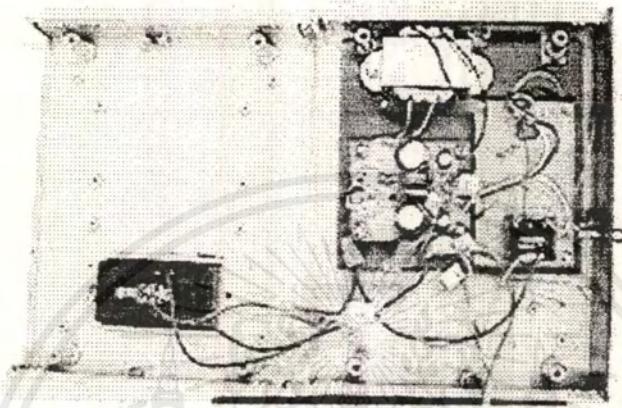
$$V_m = 5 \times \sqrt{2} = 21.2 \text{ โวลต์}$$

นั่นคือ

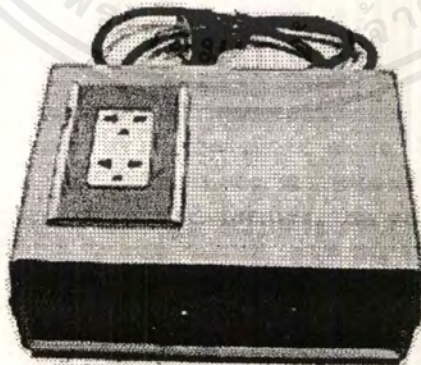
$$PIV > 3 \times 21.2 = 63.4 \text{ โวลต์}$$

ดังนั้นเลือกใช้ไดโอดเบอร์ 1N4002 ซึ่งมี $PIV = 100$ โวลต์

ไดโอด D_5 และ D_6 ใช้สำหรับป้องกันการคายประจุจาก C_2 และ C_3 ผ่านไอซีเรกกูเลต 7812 และ 7912 เมอร์ของ D_5 และ D_6 ดูได้จากเอกสารประกอบ (data sheet) ซึ่งได้ $D_5 = D_6$ เป็น 1N4001



รูปที่ 6.6 แสดงภายในของเครื่องลดทอนสัญญาณ



รูปที่ 6.7 แสดงภายนอกของเครื่องลดทอนสัญญาณ

เอกสารนี้เป็นเอกสารที่สงวนไว้สำหรับการใช้งานเพื่อการศึกษาเท่านั้น ไม่อนุญาตให้นำไปใช้ประโยชน์ด้านการค้าไม่ว่ากรณีใดๆ ทั้งสิ้น อีกทั้งห้ามมิให้ดัดแปลงเนื้อหาและต้องอ้างอิงถึงเจ้าของเอกสารทุกครั้งที่มีการนำไปใช้

บทที่ 7

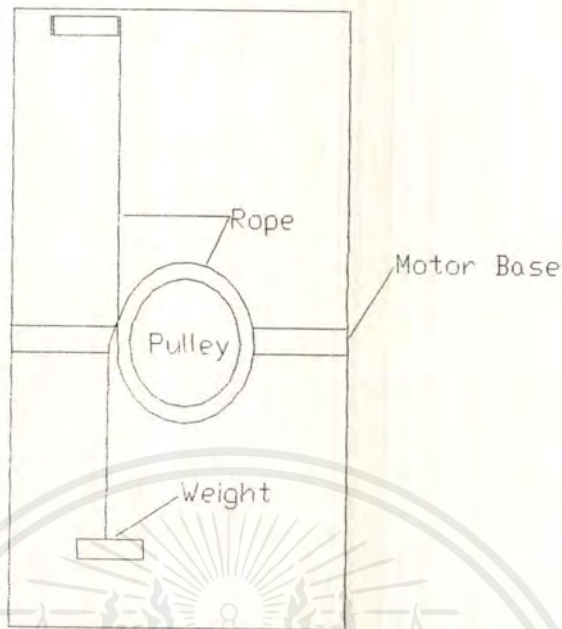
การทดลองและผลการทดลองในเวลาออฟไลน์ (Off Line)

ในการศึกษาการวัดความเร็วของมอเตอร์เหนี่ยวนำ โดยการนำตำแหน่งของโรเตอร์สล็อตฮาร์โมนิกส์มาใช้คำนวณในโครงการนี้ ได้มีการศึกษาถึงพฤติกรรมของโรเตอร์สล็อตฮาร์โมนิกส์ในแง่ต่างๆกัน เพื่อที่จะสามารถทำนายตำแหน่งที่โรเตอร์สล็อตฮาร์โมนิกส์น่าจะเกิดขึ้นในมอเตอร์ตัวที่ต่างๆกันได้ด้วย และสามารถกำหนดช่วงขอบเขตของการเกิดโรเตอร์สล็อตฮาร์โมนิกส์ได้ ดังนั้นการทดลองจึงต้องมีการออกแบบเพื่อศึกษาพฤติกรรมของโรเตอร์สล็อตฮาร์โมนิกส์เมื่อมีการเปลี่ยนค่าพารามิเตอร์ต่างๆ เช่น การเปลี่ยนแปลงค่าโหลด ที่แรงดันไฟเกิน (Over Voltage) ที่แรงดันไฟตก (Under Voltage) และที่ตัวมอเตอร์ที่ต่างกัน ว่ามีผลอย่างไรต่อโรเตอร์สล็อตฮาร์โมนิกส์ ในการศึกษาของโครงการนี้ได้ใช้การวิเคราะห์สเปกตรัมโดยใช้โปรแกรม Matlab ในการแปลงฟาสฟูเรียร์ ในโครงการนี้จึงได้มีการศึกษาในหัวข้อต่างๆ ดังต่อไปนี้

1. การทดสอบหาความสัมพันธ์ระหว่างการเคลื่อนที่ของโรเตอร์สล็อตฮาร์โมนิกส์กับกระแสของโหลด
2. การทดสอบหาความเร็วของมอเตอร์เหนี่ยวนำชนิดโรเตอร์กรงกระรอก (Squirrel Cage) ขนาด 1 แรงม้า โดยใช้โหลดทางกล
3. การทดสอบหาความเร็วรอบมอเตอร์เหนี่ยวนำชนิดโรเตอร์กรงกระรอก ขนาด 1 แรงม้า, 2 แรงม้า และมอเตอร์เหนี่ยวนำชนิดโรเตอร์พันขดลวด (Wound Rotor)
4. การศึกษาผลของแรงดันไฟฟ้าเกินและแรงดันไฟฟ้าตกที่มีผลต่อพฤติกรรมของโรเตอร์สล็อตฮาร์โมนิกส์หรือไม่อย่างไร

7.1 การทดสอบหาความสัมพันธ์ระหว่างการเคลื่อนที่ของสัญญาณโรเตอร์สล็อตฮาร์โมนิกส์ กับกระแสโหลดของมอเตอร์เหนี่ยวนำขนาด 1 แรงม้า

การทดลองทำโดยการป้อนค่าศักดาไฟฟ้าที่พิกัดให้กับมอเตอร์เหนี่ยวนำขนาด 1 แรงม้า แล้วค่อยๆทำการเพิ่มโหลดโดยการใส่น้ำหนักถ่วงเพิ่มทีละเล็ โดยมีการจัดอุปกรณ์ ดังรูปที่ 7.1



รูปที่ 7.1 แสดงการต่ออุปกรณ์การทดลอง

การทดลองจะเริ่มต้นบันทึกผลตั้งแต่ NO - load แล้วจึงเพิ่มน้ำหนักที่ถ่วงมอเตอร์เข้าไปเป็นลำดับดังนี้ 3 , 6 , 9 , 10 , 11 , 12 , 13 , 14 , 15 , 16 , 17 กิโลกรัม บันทึกค่ากระแสจากแอมป์มิเตอร์ , บันทึกค่าความเร็วของมอเตอร์จากทาโคมิเตอร์ , บันทึกข้อมูลลง disk เป็น file . txt แบบ verbose ข้อควรระวังสำหรับการทดลองก็คือต้องบันทึกความเร็วของมอเตอร์ในขณะที่ save ข้อมูลลง disk หลังจากที่ได้ข้อมูลมาจะทำการหาสเปกตรัมของข้อมูล โดยโปรแกรม Matlab แล้วก็พิจารณาว่ามีฮาร์โมนิกส์ตัวใดที่มีความถี่สัมพันธ์ตามสมการ

$$f_{sh} = \left[\frac{Z}{P} (1-s) \pm 1 \right] f_0$$

ผลที่เกิดขึ้นคือที่ค่าโหลดต่างกันฮาร์โมนิกส์ที่เป็นโหม่งฮาร์โมนิกส์จะอยู่กับที่ แต่จะมีฮาร์โมนิกส์อยู่ 1 คู่ที่เคลื่อนที่และมีความถี่เป็นคี่ตามการคำนวณ ดังนั้นเราจึงสามารถระบุได้ว่าฮาร์โมนิกส์ตัวนั้นเป็นโรเตอร์สล็อตฮาร์โมนิกส์และมีพฤติกรรมเคลื่อนที่ดังตารางด้านล่าง ตารางที่ 7.1 แสดงตำแหน่งของโรเตอร์สล็อตฮาร์โมนิกส์เมื่อโหลดเปลี่ยนแปลงจนถึงค่าพิกัด

กระแสโหลด (%)	37.14	44.29	54.29	60.00	65.71	71.43	74.29	80.00	85.71	91.43	100.0
ตำแหน่งของ RSH(Hz)	933.8	916.7	893.6	883.8	867.9	854.5	852.1	828.8	811.8	784.9	761.7

สรุป จะเห็นได้ว่าโรเตอร์สล็อตฮาร์โมนิกส์ จะมีความถี่ลดลงเมื่อกระแสโหลดมีค่าเพิ่มขึ้น

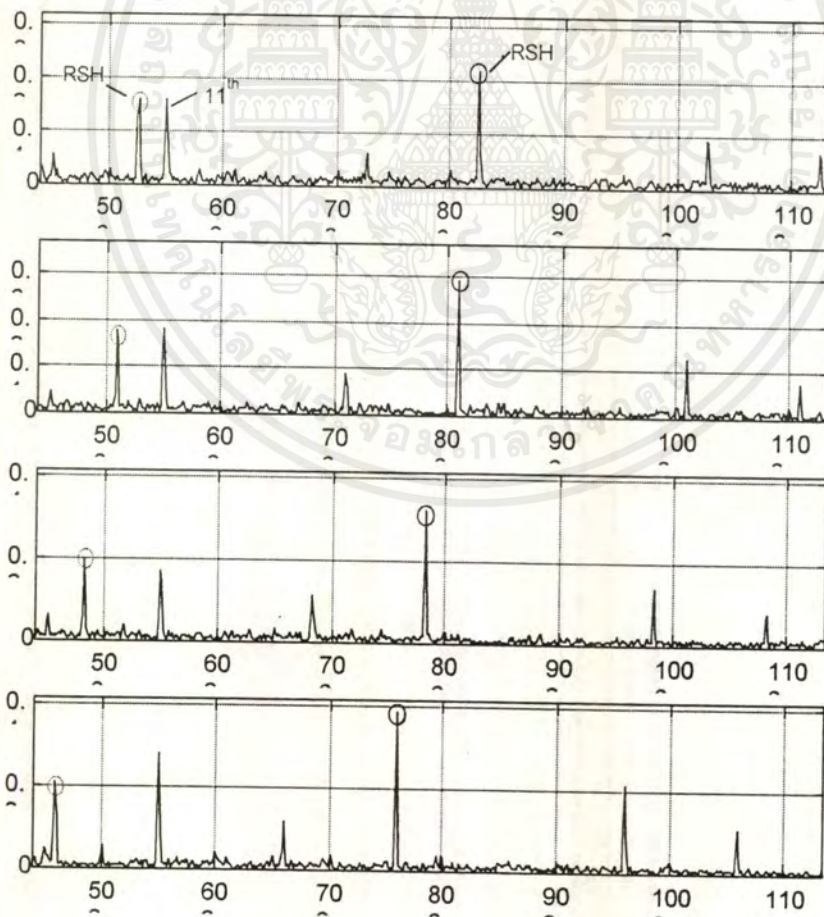
7.2 การหาความเร็วรอบของมอเตอร์เหนี่ยวนำชนิดโรเตอร์กรงกระรอก (Squirrel Cage)

ความเร็วที่ได้จากการคำนวณสามารถหาได้โดยการนำข้อมูลมาผ่านฮานนิงวินโดว์ แล้วนำมาแปลง FFT จะได้สเปกตรัมออกมาจะเป็นกราฟในโดเมนความถี่ ตรวจสอบว่ามีฮาร์โมนิกส์ตัวใด ที่อยู่ในช่วงที่น่าจะเกิดโรเตอร์สล็อตฮาร์โมนิกส์ ได้แล้วพิจารณาค่าฮาร์โมนิกส์ที่มีค่าแอมพลิจูดสูงสุดในย่านนั้นเมื่อพบแล้วก็ตรวจสอบว่าฮาร์โมนิกส์ดังกล่าวเป็นไหมฮาร์โมนิกส์หรือไม่ ถ้าไม่เป็นก็แสดงว่าเป็นโรเตอร์สล็อตฮาร์โมนิกส์ แล้วนำค่าความถี่ของโรเตอร์ฮาร์โมนิกส์ ; f_{sh} แทนค่าในสูตร

$$f_{sh} = \left[\frac{Z}{P}(1-s) \pm 1 \right] f_0$$

7.2.1 มอเตอร์เหนี่ยวนำกรงกระรอกขนาด 1 แรงม้าใช้โหลดทางกล

ทดลองโดยการนำมู่เล่มาต่อกับแกนเพลามอเตอร์กรงกระรอกขนาด 1 แรงม้าแล้วเพิ่มโหลดโดยการใส่เหล็กถ่วงที่มีมู่เล่ ผลตัวอย่างการแปลงสเปกตรัมข้อมูลแสดงในรูปที่ 7.2



รูปที่ 7.2 แสดงตัวอย่างสเปกตรัมกระแสมอเตอร์ที่โหลด 80 , 85.7 , 91.4 , 100%

เอกสารนี้เป็นเอกสารที่สงวนไว้สำหรับการใช้งานเพื่อการศึกษาเท่านั้น ไม่นอนุญาตให้นำไปใช้ประโยชน์ด้านการค้า ไม่ว่าจะกรณีใดๆ ทั้งสิ้น อีกทั้งห้ามมิให้ตัดแปลงเนื้อหาและต้องอ้างอิงถึงเจ้าของเอกสารทุกครั้งที่มีการนำไปใช้

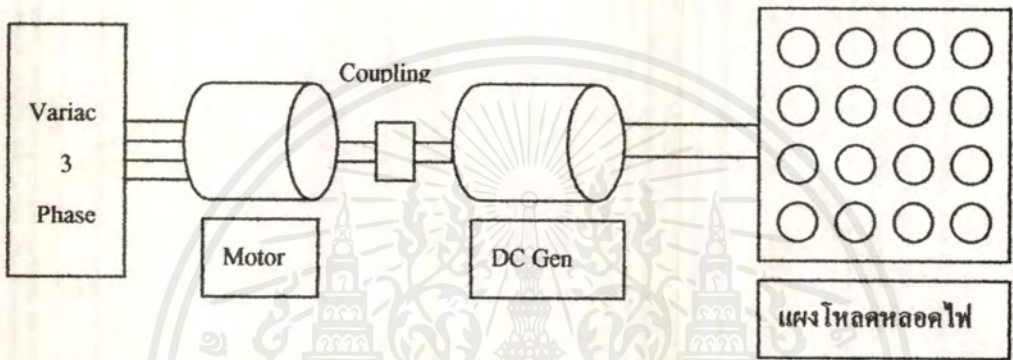
ตารางที่ 7.2 แสดงค่าความความเร็วที่ได้จากการคำนวณและค่าความเร็วจริงที่เปอร์

เซนต์ฟักค์โหลดต่างๆ

น้ำหนัก (kg)	% load	ความถี่ของโรเตอร์ สล็อตอาร์โมนิกส์ ; f_{sh} (Hz)	ความเร็วที่ได้ จากการคำนวณ (RPM)	ความเร็วจริงจาก ทาโคมิเตอร์ (RPM)	ค่าความคลาดเคลื่อน (% Error)
No-load	-	-	-	1499	-
3	37.14	933.8	1473	1474	0.07
6	44.29	916.7	1444.58	1450	0.37
9	54.29	893.6	1405.9	1418	0.85
10	60.00	883.8	1389.65	1405	1.09
11	65.71	867.9	1363.2	1384	1.50
12	71.43	854.5	1340.82	1367	1.77
13	74.29	852.1	1336.75	1355	1.81
14	80.00	832.8	1303.2	1328	2.03
15	85.71	811.8	1269.6	1303	2.49
16	91.43	784.9	1224.8	1274	2.79
17	100	761.7	1186.2	1223	3.01

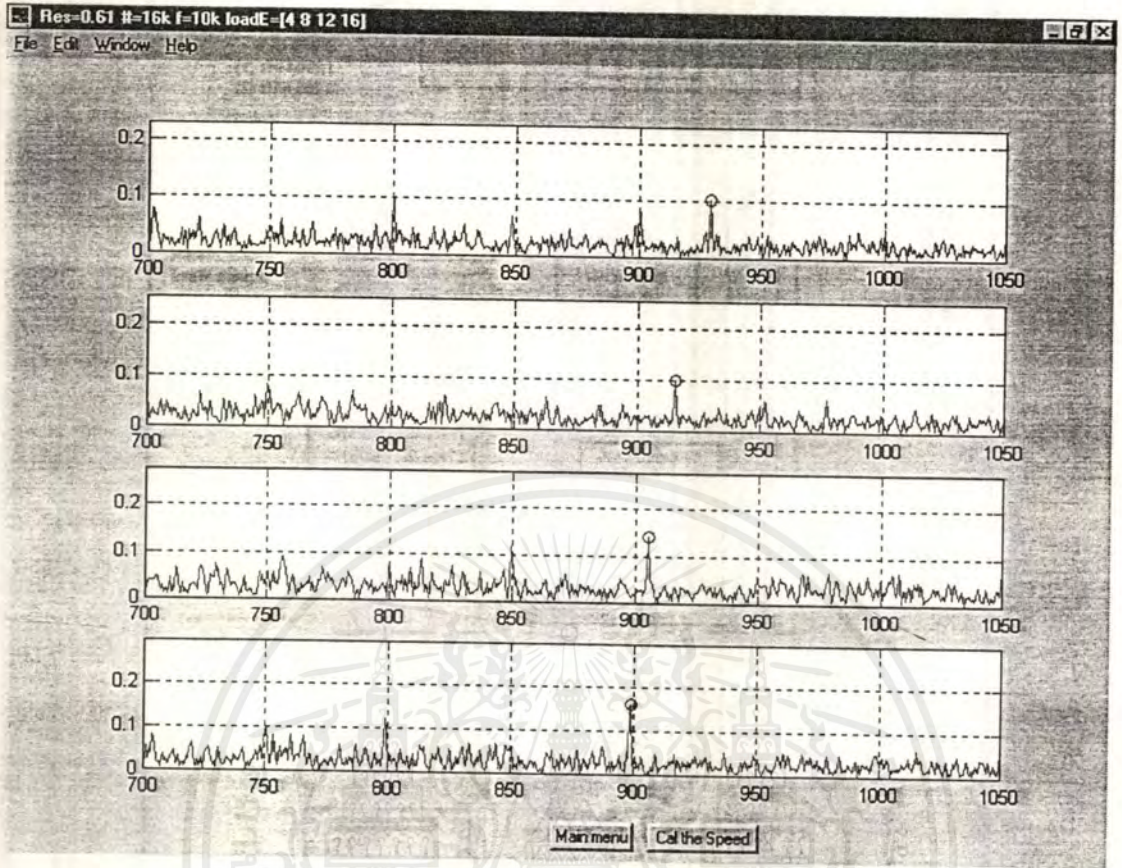
7.2.2 มอเตอร์เหนี่ยวนำกรงกระรอกขนาด 1 แรงม้าใช้โหลดทางไฟฟ้า

การทดลองใช้โหลดทางไฟฟ้านี้ ทดลองโดยการนำมอเตอร์กระแสตรงมาต่อพ่วงกัน (coupling motor) เข้ากับมอเตอร์เหนี่ยวนำ จากนั้นจ่ายไฟจากแหล่งจ่าย 3 เฟส (Variat 3 phase) เข้าที่มอเตอร์เหนี่ยวนำกรงกระรอก 1 แรงม้า ใช้มอเตอร์กระแสตรงทำหน้าที่เป็นโหลดให้กับมอเตอร์เหนี่ยวนำ จ่ายไฟให้กับโหลดหลอดไฟ



รูปที่ 7.3 แสดงการต่ออุปกรณ์เพื่อทดลองโหลดทางไฟฟ้า

จากบันทึกผลการทดลองและทำการประมวลผลโดยใช้โปรแกรม Matlab แล้วจะได้ผลการแปลงสเปกตรัมดังรูปที่ 7.4 สามารถเห็นการเคลื่อนที่ของโรเตอร์สล็อตฮาร์โมนิกส์ได้เปรียบเทียบกับโทมฮาร์โมนิกส์ ที่ไม่มีการเคลื่อนที่ และตารางที่ 7.3 แสดงผลการคำนวณความเร็วจากโปรแกรม Matlab



รูปที่ 7.4 แสดงสเปกตรัมของกระแสมอเตอร์เหนี่ยวนำ 1 แรงม้า เมื่อใส่โหลดทางไฟฟ้า

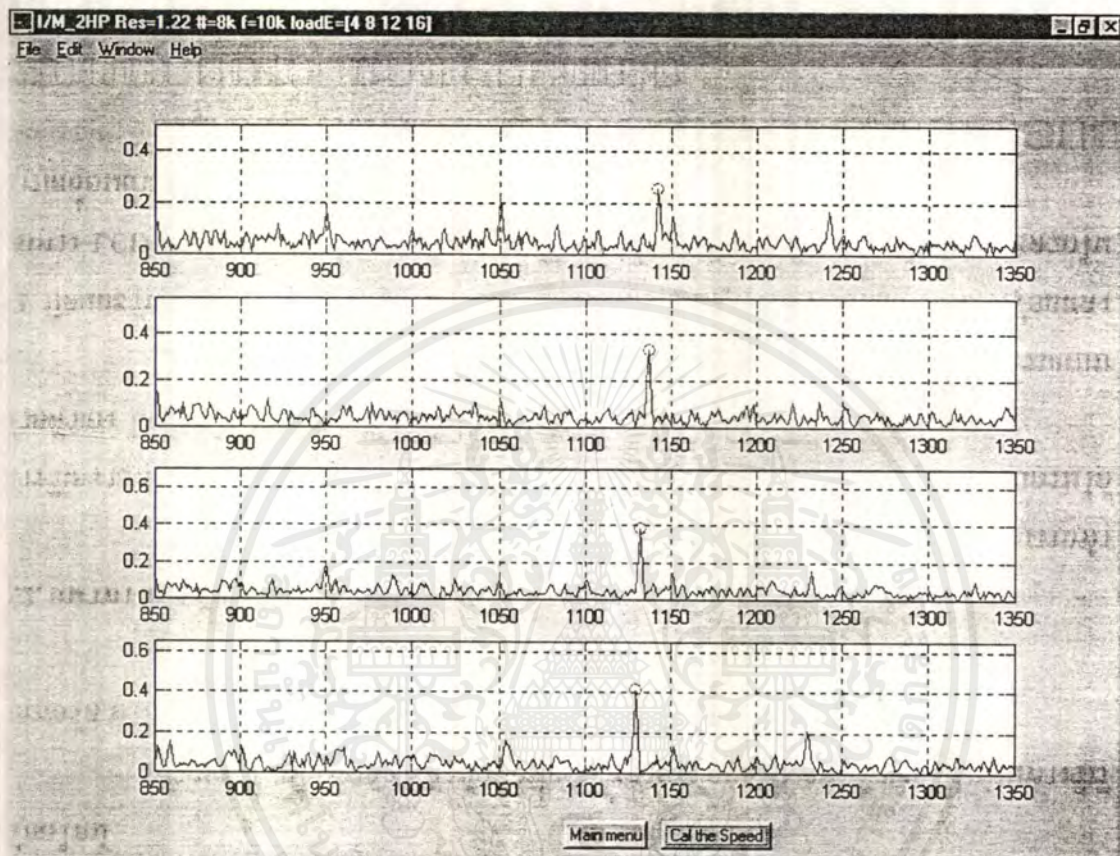
ตารางที่ 7.3 แสดงความเร็วที่ได้จากการคำนวณ และค่าความผิดพลาดที่เกิดขึ้น จากการใช้โหลดทางไฟฟ้ากับมอเตอร์กรงกระรอกขนาด 1 แรงม้า

% Load	จำนวน โหลดไฟ	ความถี่ของโรเตอร์ สลิโตนาร์โมนิกส์ (Hz)	ความเร็วที่ได้จาก การใช้โปรแกรม Matlab (RPM)	ความเร็วที่ได้ จากการใช้ ทาโคมิเตอร์	ค่าความคลาด เคลื่อน %
37.1	4	929.5654	1465.94	1472	0.41
44.29	8	916.1377	1443.56	1451	0.512
48.62	12	905.7617	1426.27	1438	0.81
50.64	16	899.6582	1416.1	1430	0.97

เอกสารนี้เป็นเอกสารที่สงวนไว้สำหรับการใช้งานเพื่อการศึกษาเท่านั้น ไม่อนุญาตให้นำไปใช้ประโยชน์ด้านการค้า
ไม่ว่ากรณีใดๆ ทั้งสิ้น อีกทั้งห้ามมิให้ดัดแปลงเนื้อหาและต้องอ้างอิงถึงเจ้าของเอกสารทุกครั้งที่มีการนำไปใช้

7.2.3 มอเตอร์เหนี่ยวนำขนาด 2 แรงม้าใช้โหลดทางไฟฟ้า

การทดลองจะเหมือนกันกับการทดลองในหัวข้อ 7.2.2 แต่เปลี่ยนจากมอเตอร์กระแสตรง 1 แรงม้าเป็น 2 แรงม้า ซึ่งจะได้ผลการทดลองเป็นดังที่แสดงในรูปที่ 7.5 และตารางที่ 7.4



รูปที่ 7.5 แสดงสเปกตรัมของกระแสมอเตอร์เหนี่ยวนำ 2 แรงม้า เมื่อใช้โหลดทางไฟฟ้า

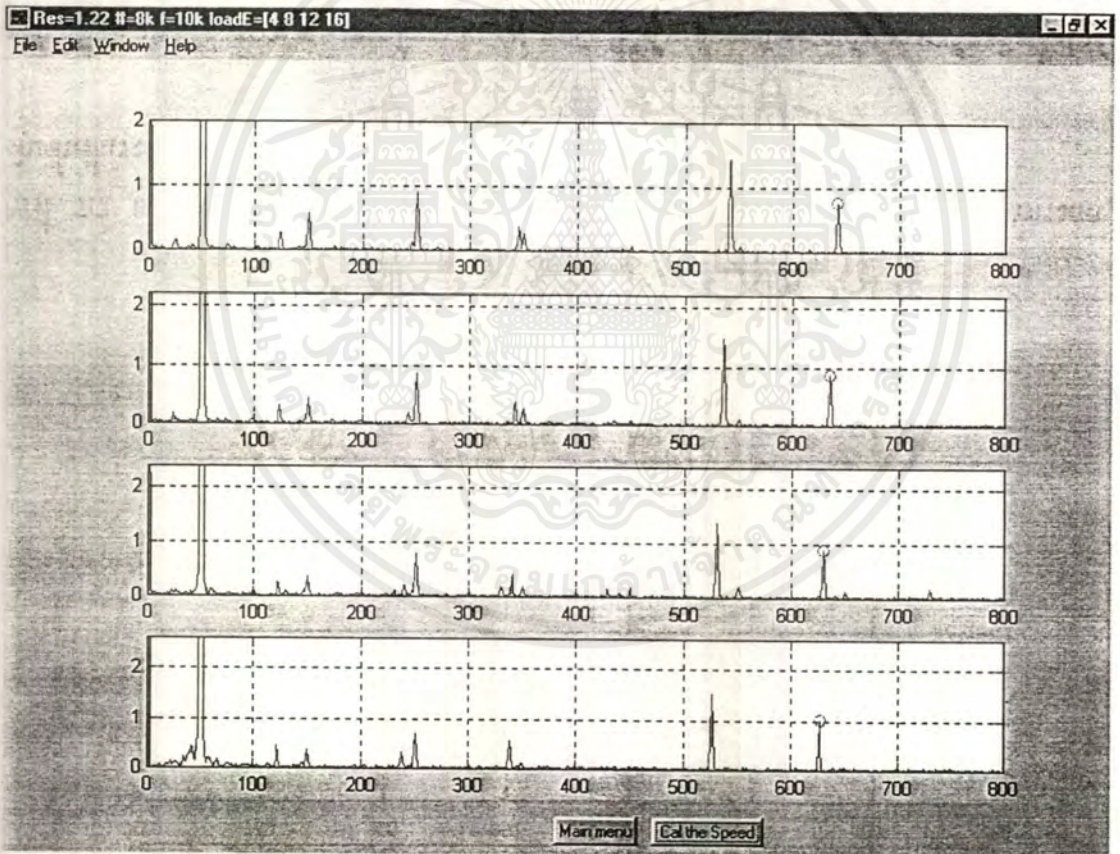
ซึ่งจะสังเกตได้ว่าโรเตอร์สล็อตฮาร์โมนิกส์ที่เราสามารถที่จะเห็นได้ชัด จะต่างกับที่เราเห็นได้จากมอเตอร์ขนาด 1 แรงม้า เนื่องจากมอเตอร์คนละตัวกันจะมีค่าพารามิเตอร์ที่ต่างกัน โดยที่มอเตอร์ขนาด 2 แรงม้านี้โรเตอร์สล็อตฮาร์โมนิกส์ที่สามารถเห็นได้ชัดคือที่เงื่อนไข $n_w = 5$, $k = 1$, $n_d = 0$ จากสมการ

$$f_{sh} = f_o \left((kZ + n_d) \left(\frac{1-s}{P} \right) + n_w \right)$$

ตารางที่ 7.4 แสดงค่าความคลาดเคลื่อนของความเร็วที่ได้จากการคำนวณกับความเร็วจริงที่เปอร์เซ็นต์พิกัดโหลดต่างๆ ของมอเตอร์ 2 แรงม้า โหลดทางไฟฟ้า

จำนวน หลอด (หลอด)	ความถี่ของโรเตอร์ส ลือตฮาร์โมนิกส์ ; f_{sh} (Hz)	ความเร็วที่ได้จาก การคำนวณ (RPM)	ความเร็วจริงจาก ทาโคมิเตอร์ (RPM)	ค่าความคลาด เคลื่อน (% Error)
33.87	1142.6	1487.63	1488	0.02
36.29	1137.7	1479.49	1481	0.10
38.30	1132.8	1471.35	1475	0.25
40.32	1130.4	1467.29	1472	0.32

7.3 การหาความเร็วรอบของมอเตอร์เหนี่ยวนำชนิดโรเตอร์พันขดลวด (Wound Rotor)



รูปที่ 7.6 แสดงสเปกตรัมของกระแสมอเตอร์เหนี่ยวนำชนิดของโรเตอร์พันขดลวด เมื่อใช้โหลดทางไฟฟ้า

และจากการสังเกตเราจะพบว่าโรเตอร์สลือตฮาร์โมนิกส์ที่เกิดขึ้นจะเกิดที่ความถี่ ในช่วง 500-700 Hz เนื่องจากค่าพารามิเตอร์ของมอเตอร์ที่เปลี่ยนไปโดยที่ $k = 1$, $n_d = 0$, $n_w = 1$ จาก

สมการ

เอกสารนี้เป็นเอกสารที่สงวนไว้สำหรับการใช้งานเพื่อการศึกษาเท่านั้น ไม่อนุญาตให้นำไปใช้ประโยชน์ด้านการค้า ไม่ว่ากรณีใดๆ ทั้งสิ้น อีกทั้งห้ามมิให้ดัดแปลงเนื้อหาและต้องอ้างอิงถึงเจ้าของเอกสารทุกครั้งที่มีการนำไปใช้

$$f_{sh} = f_o \left((kZ + n_d) \left(\frac{1-s}{P} \right) + n_w \right)$$

ตารางที่ 7.5 แสดงค่าความคลาดเคลื่อนของความเร็วที่ได้จากการคำนวณกับความเร็วจริงที่ค่าโหลด

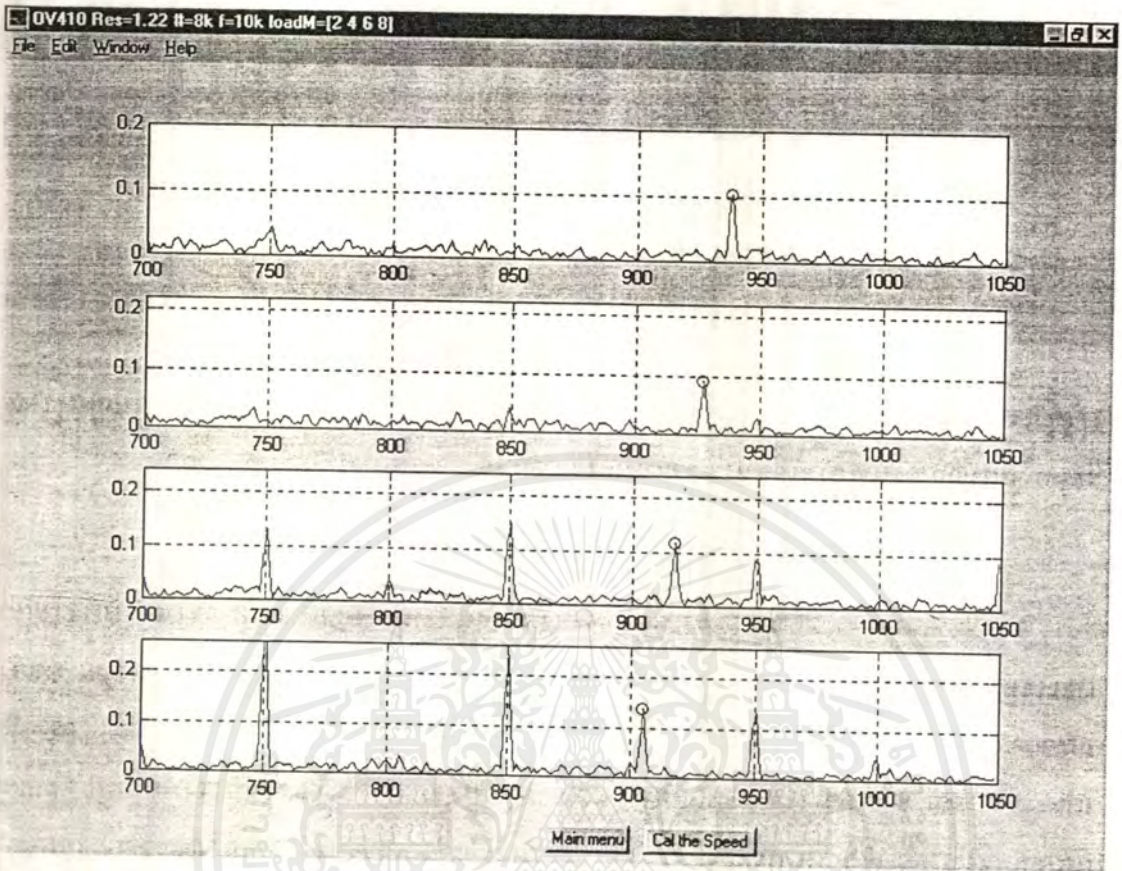
จำนวน โหลด (โหลด)	ความถี่ของโร เตอร์สล็อตฮาร์โมนิกส์ ; f_{sh} (Hz)	ความเร็ว ที่ได้จาก การคำนวณ (RPM)	ความเร็วจริงจาก ทาโคมิเตอร์ (RPM)	ค่าความคลาด เคลื่อน (% Error)
4	642.0898	1480.22	1478	0.15
8	635.9863	1464.97	1462	0.20
12	631.1035	1452.76	1450	0.19
16	627.4414	1443.60	1440	0.25

7.4 การหาความเร็วรอบของมอเตอร์เหนี่ยวนำเมื่อแรงดันไฟตกหรือแรงดันไฟเกิน

เนื่องจากในระบบไฟฟ้าจริงๆแล้วจะมีเหตุการณ์ของแรงดันไฟฟ้าที่ไม่ปกติอยู่เสมอ เช่น การเกิดแรงดันไฟตกและแรงดันไฟเกิน ดังนั้นเราจึงต้องมีการศึกษาถึงผลของแรงดันไฟที่ผิดปกติที่จะส่งผลกระทบต่อโรเตอร์สล็อตฮาร์โมนิกส์ ซึ่งเราจะทำการศึกษาที่แรงดันไฟเกินที่ 410 โวลท์ และแรงดันไฟตกที่ 350 โวลท์ ในการทดลองจะใช้มอเตอร์กรงกระรอกขนาด 1 แรงม้า และทำการใส่ทางกล เนื่องจากมอเตอร์ 1 แรงที่ใช้ในการทดสอบสามารถทดสอบได้ง่าย

7.4.1 ที่แรงดันไฟเกิน 410 V

ทำการจ่ายศักดาเข้ามอเตอร์เหนี่ยวนำกรงกระรอก 1 แรงม้าด้วยแรงดัน 410 โวลท์ แล้วทำการบันทึกผล และประมวลผลโดยการใช้โปรแกรม Matlab ซึ่งผลจากการแปลงสเปกตรัมจะได้ดังรูปที่ 7.7 จะเห็นการเคลื่อนที่ของโรเตอร์สล็อตฮาร์โมนิกส์ และตารางที่ 7.6 แสดงค่าความเร็วที่ได้จากการคำนวณและค่าความคลาดเคลื่อนเมื่อเปรียบเทียบกับความเร็วที่ได้จากการใช้ทาโคมิเตอร์



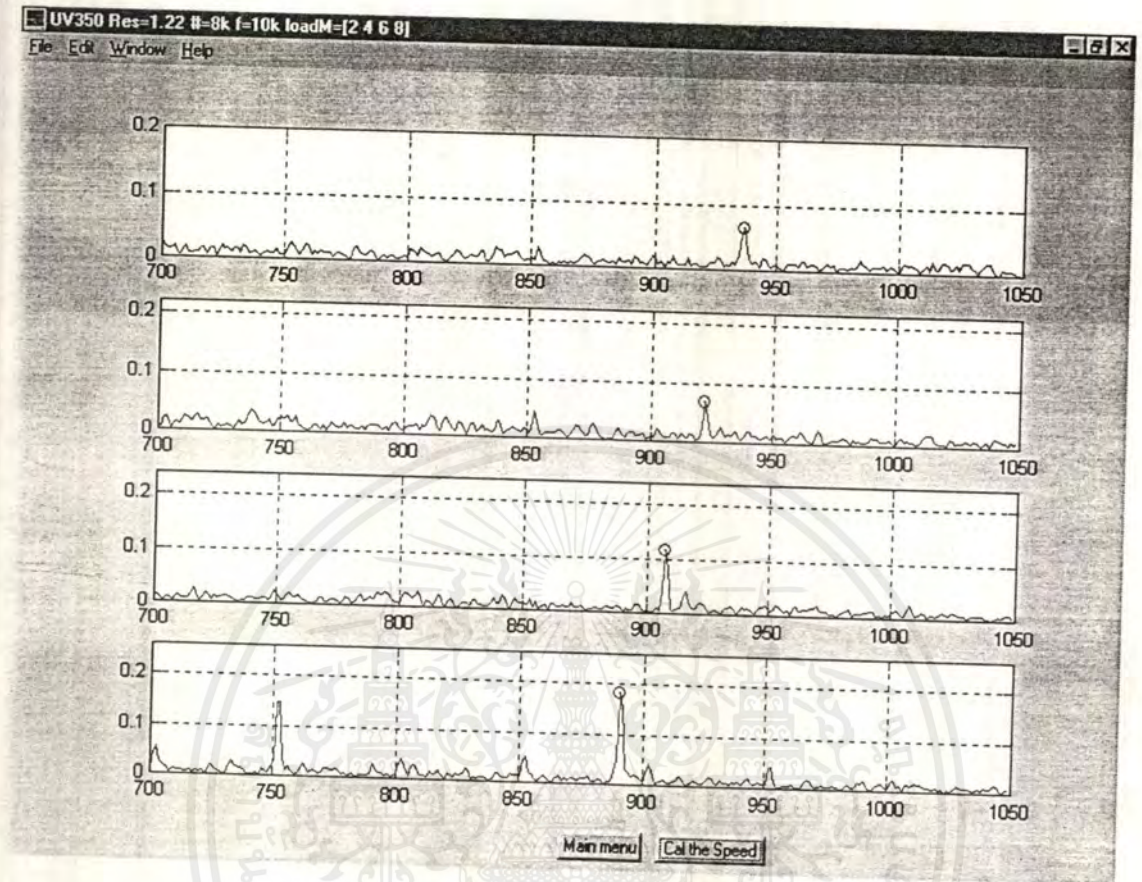
รูปที่ 7.7 แสดงสเปกตรัมของกระแสมอเตอร์เหนี่ยวนำชนิดโรเตอร์กรงกระรอกเมื่อโหลดทางกลเพิ่มขึ้นที่แรงดันไฟฟ้าเกิน 410 V

ตารางที่ 7.6 แสดงค่าความคลาดเคลื่อนของความเร็วที่ได้จากการคำนวณกับความเร็วจริงที่เปอร์เซ็นต์พิกัดโหลดต่างๆเมื่อแรงดันไฟฟ้าเกิน

% load	น้ำหนักถ่วง (Kg)	ความถี่ของโรเตอร์สลิปทาร์โมนิกส์ ; f_{sb} (Hz)	ความเร็วที่ได้จากการคำนวณ (RPM)	ความเร็วจริงจาก ทาโดมิเตอร์ (RPM)	ค่าความคลาดเคลื่อน (% Error)
35.3	2	938.72	1481.2	1481	0.01
38.6	4	927.73	1462.89	1467	0.28
43.2	6	917.97	1446.61	1453	0.44
49.3	8	905.76	1426.27	1436	0.67

เอกสารนี้เป็นเอกสารที่สงวนไว้สำหรับการใช้งานเพื่อการศึกษาเท่านั้น ไม่อนุญาตให้นำไปใช้ประโยชน์ด้านการค้าไม่ว่ากรณีใดๆ ทั้งสิ้น อีกทั้งห้ามมิให้ตัดแปลงเนื้อหาและต้องอ้างอิงถึงเจ้าของเอกสารทุกครั้งที่มีการนำไปใช้

7.4.2 ที่แรงดันไฟตก 350 V



รูปที่ 7.8 แสดงสเปกตรัมของกระแสมอเตอร์เหนี่ยวนำชนิดโรเตอร์กรงกระรอกเมื่อโหลดทางกลเพิ่มขึ้นที่แรงดันไฟฟ้าตก 350 V

ตารางที่ 7.7 แสดงค่าความคลาดเคลื่อนของความเร็วที่ได้จากการคำนวณกับความเร็วจริงที่เปอร์เซ็นต์พิกัดโหลดต่างๆเมื่อแรงดันไฟฟ้าตก

% load	น้ำหนักถ่วง (Kg)	ความถี่ของโรเตอร์ลือทาร์โมนิกส์ ; f_{rb} (Hz)	ความเร็ว ที่ได้จากการคำนวณ (RPM)	ความเร็วจริง จาก ทาโดมิเตอร์ (RPM)	ค่าความคลาดเคลื่อน (% Error)
38.5	2	937.50	1479.17	1481	0.12
40.1	4	922.85	1454.75	1461	0.42
45.2	6	908.20	1430.34	1440	0.67
51.9	8	891.11	1401.83	1417	1.07

เอกสารนี้เป็นเอกสารที่สงวนไว้สำหรับการใช้งานเพื่อการศึกษาเท่านั้น ไม่อนุญาตให้นำไปใช้ประโยชน์ด้านการค้าไม่ว่ากรณีใดๆ ทั้งสิ้น อีกทั้งห้ามมิให้ดัดแปลงเนื้อหาและต้องอ้างอิงถึงเจ้าของเอกสารทุกครั้งที่มีการนำไปใช้

7.5 วิเคราะห์และสรุปผลการทดลอง

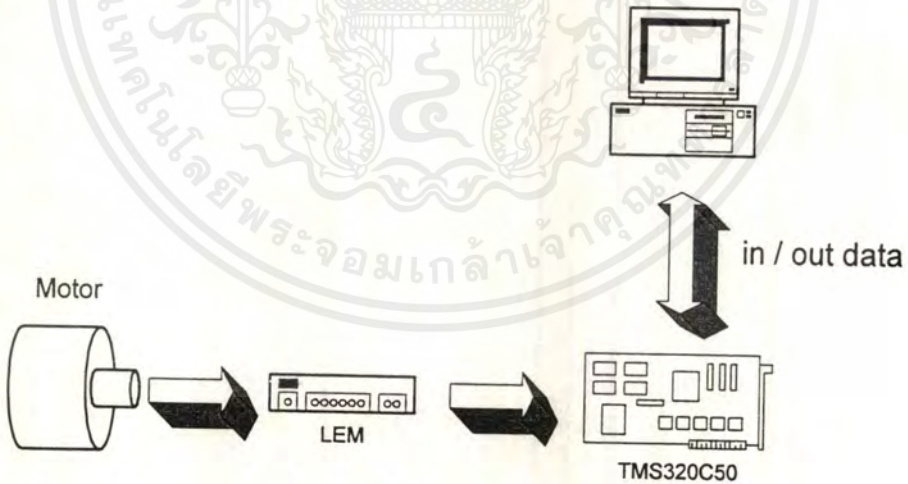
1. จากผลการทดลองจะเห็นได้ว่าเมื่อโหลดมีค่ามากขึ้น สัญญาณของโรเตอร์สล็อตฮาร์โมนิกส์จะมีความถี่ลดลง และขนาดของโรเตอร์สล็อตฮาร์โมนิกส์ก็มีค่าเพิ่มมากขึ้น
2. การใช้โหลดทางกลมีผลเสียคือการเกิดความร้อนเมื่อใส่ค่าโหลดสูงๆ กระแสไม่นิ่ง
3. การใช้โหลดทางไฟฟ้าจะทำให้เกิดการรบกวนของสัญญาณที่เกิดจากการสปาร์คของแปรงถ่าน ทำให้มีค่าความคลาดเคลื่อนมากกว่าการใช้โหลดทางกลที่เปอร์เซ็นต์สลิปเดียวกัน และจำเป็นต้องมีการใช้ข้อมูลจำนวนมากช่วยในการประมวลผล
4. ค่าความคลาดเคลื่อนการคำนวณความเร็วจะมีค่าสูงขึ้นเมื่อโหลดมีค่ามากขึ้น
5. การใช้มอเตอร์เหนี่ยวนำชนิดพันขดลวด จะได้ผลการทดลองที่มีความคลาดเคลื่อนน้อยกว่า โรเตอร์สล็อตฮาร์โมนิกส์มีขนาดสูงสามารถตรวจจับได้ง่ายเนื่องจาก มีความเป็นร่องสล็อตที่ชัดเจนกว่ามอเตอร์แบบกรงกระรอก
6. มอเตอร์แต่ละตัวมีค่าพารามิเตอร์ที่ต่างกันออกไป ดังนั้นในการใช้สูตรระบุความสัมพันธ์จะต้องมีการทดสอบหาความสัมพันธ์ที่ถูกต้องเสียก่อน เพราะว่าโรเตอร์สล็อตฮาร์โมนิกส์ของมอเตอร์แต่ละตัวที่สามารถตรวจจับได้จะเกิดที่ความถี่ไม่เท่ากันเนื่องจากมีค่าพารามิเตอร์ที่ต่างกัน เช่น มอเตอร์ 1 แรงม้าเกิด โรเตอร์สล็อตฮาร์โมนิกส์ที่ช่วง 700-950 Hz แต่ถ้าเป็นมอเตอร์ 2 แรงม้าจะสามารถพบได้ในช่วงความถี่ ประมาณ 1100 Hz
7. การเกิดความผิดปกติของแรงดัน ไฟฟ้าทั้ง ไฟตกและ ไฟเกินจะทำให้เกิดค่าความคลาดเคลื่อนที่สูงมากขึ้น แต่ตัวโรเตอร์สล็อตฮาร์โมนิกส์ยังสามารถเห็นได้ชัดเจนและมีพฤติกรรมต่างๆ เหมือนเดิม
8. การวัดสัญญาณของโรเตอร์สล็อตฮาร์โมนิกส์นั้นจะต้องเลือกค่าอัตราการสุ่มข้อมูล และค่าจำนวนข้อมูลที่เหมาะสม เพื่อที่จะทำให้ได้ค่าความถี่ริโซลูชัน (Frequency Resolution) ที่ดีที่สุด มีค่าความถูกต้องมากที่สุดแต่ต้องไม่ใช่ข้อมูลมากเกินไปจนทำให้เสียเวลาการประมวลผลนาน และความถี่การสุ่มข้อมูลต้องไม่น้อยจนทำให้เกิดการซ้อนทับของความถี่(aliasing) และค่าความถี่ริโซลูชันที่ดีที่สุดจากการทดสอบคือที่ประมาณ 0.31 Hz โดยใช้ข้อมูล 8192 ข้อมูล ที่อัตราการสุ่มข้อมูลเป็น 10 Ksa/S

บทที่ 8

การทดลอง และผลการทดลองที่เวลาจริง (Real Time)

เนื่องจากในการศึกษาการวัดความเร็วของมอเตอร์เหนี่ยวนำโดยการใช้ตำแหน่งของโรเตอร์สล็อตทาร์โมนิกส์มาคำนวณได้กล่าวถึงในบทที่ 7 นั้นเป็นเพียงการศึกษาแบบออฟไลน์ (Off Line) เท่านั้นไม่สามารถที่จะนำมาใช้จริงได้ ในบทนี้จะกล่าวถึงการนำวิธีการวัดความเร็วมอเตอร์ที่เวลาจริง (Real Time) ซึ่งสามารถพัฒนาไปสู่การใช้งานจริงได้

ในการทดลองนี้จะใช้อุปกรณ์ LEM ทำการลดทอนกระแสแล้วทำการเปลี่ยนสัญญาณกระแสให้เป็นสัญญาณแรงดันไม่เกิน ± 3 V เพื่อนำไปประมวลผลโดยบอร์ด TMS320C50 DSK ซึ่งเป็นบอร์ดที่ใช้การประมวลผลเชิงตัวเลข (DSP: Digital Signal Processing) ของบริษัท Texas Instrument โดยจะทำการสุ่มข้อมูลเข้ามาเป็นช่วง แล้วทำการแปลงข้อมูลจากโดเมนเวลาไปยังโดเมนความถี่ (FFT) จากนั้นจะทำการส่งข้อมูลที่แปลงเป็นโดเมนความถี่แล้วไปยังเครื่องคอมพิวเตอร์ทำการแสดงผลกราฟฟิคออกทางหน้าจอคอมพิวเตอร์

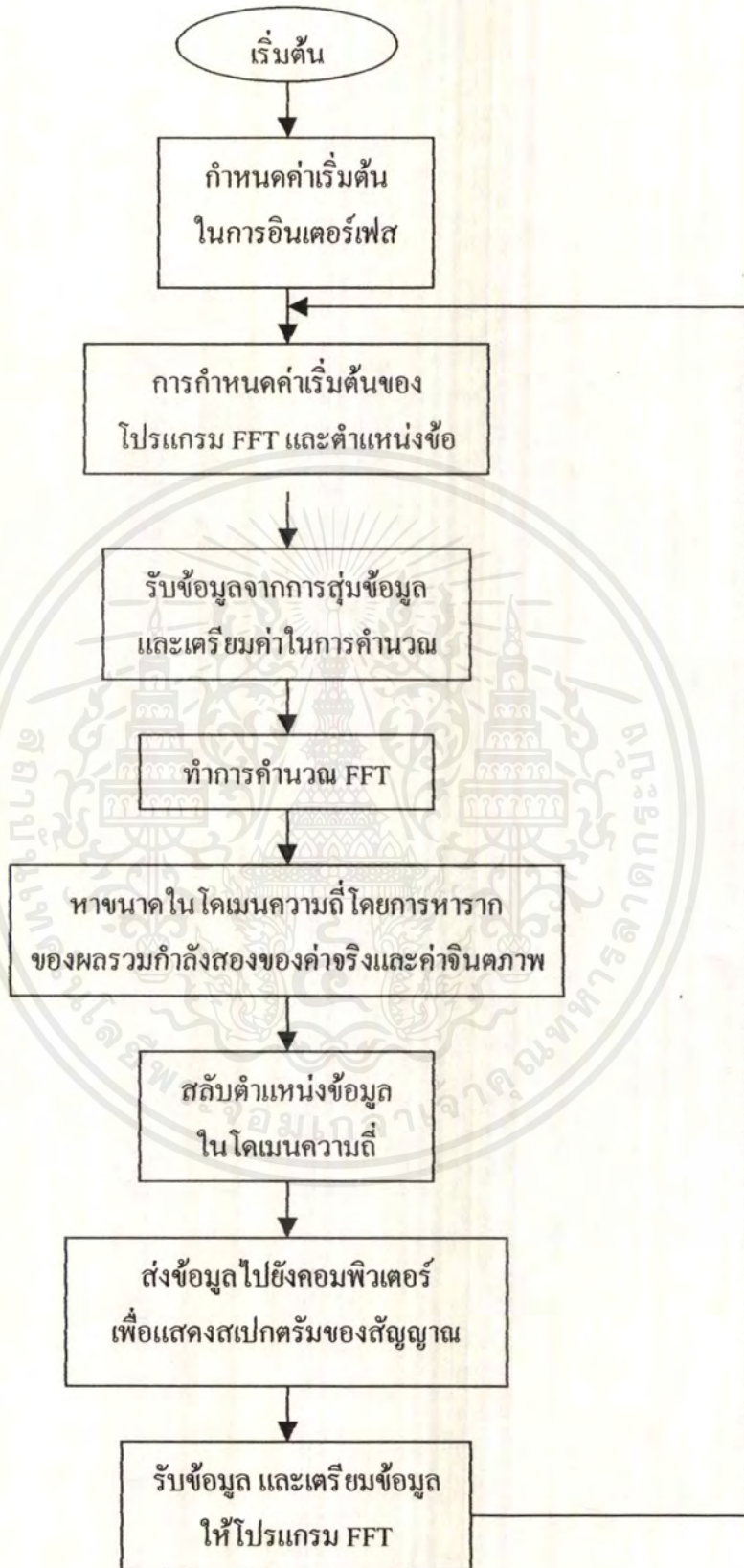


รูปที่ 8.1 รูปแสดงการต่ออุปกรณ์ที่ใช้ในการศึกษาที่เวลาจริง (Real Time)

8.1 การแปลงสเปกตรัมจากโดเมนเวลาไปยังโดเมนความถี่ (FFT)

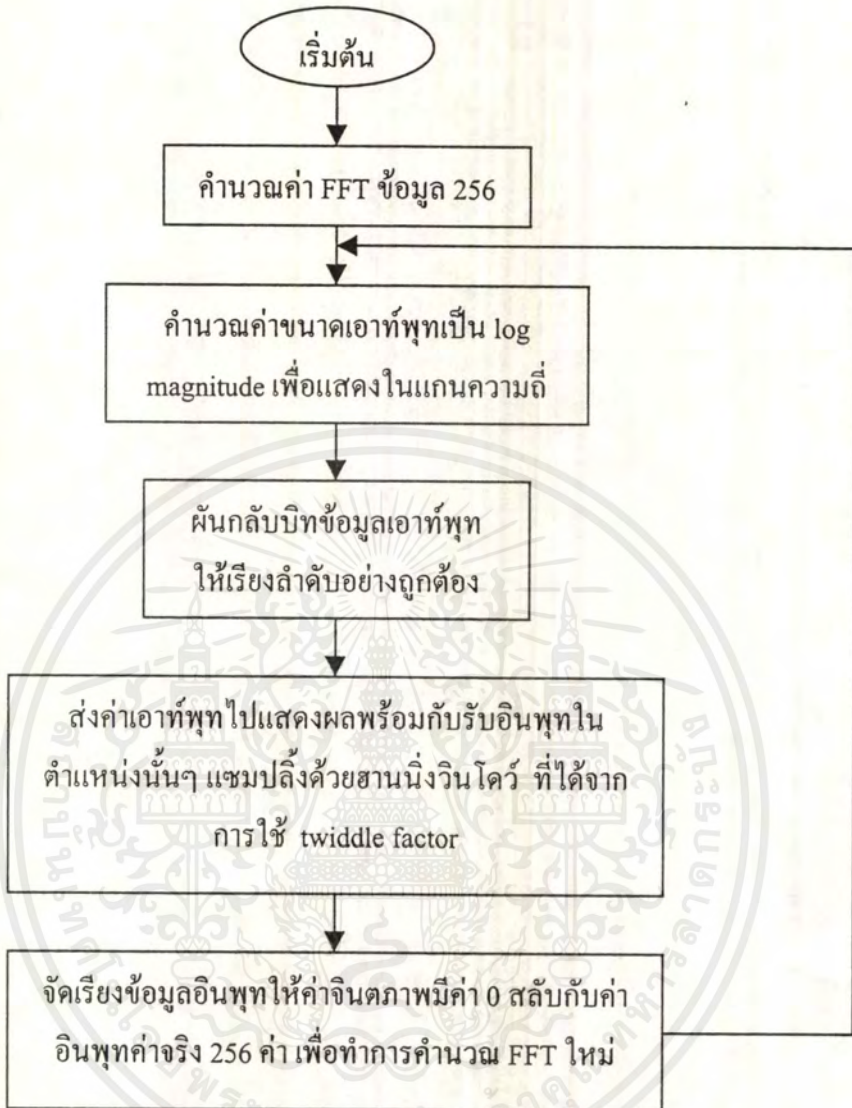
การแปลงสเปกตรัมจะอาศัยการแปลงฟาสต์ฟูเรียร์ทรานฟอร์มแบบลดทอนทางเวลา (Decimation In Frequency Fast Fourier Transform) โดยใช้บอร์ด TMS320C50 DSK เป็นตัวประมวลผลสัญญาณเชิงตัวเลข โดยการเขียนโปรแกรมจะใช้ภาษาของตัวเอง สามารถแสดงเป็นโพลีชาร์ตได้ดังนี้

เอกสารนี้เป็นเอกสารที่สงวนไว้สำหรับการใช้งานเพื่อการศึกษาเท่านั้น ไม่อนุญาตให้นำไปใช้ประโยชน์ด้านการค้าไม่ว่ากรณีใดๆ ทั้งสิ้น อีกทั้งห้ามมิให้ดัดแปลงเนื้อหาและต้องอ้างอิงถึงเจ้าของเอกสารทุกครั้งที่มีการนำไปใช้



รูปที่ 8.2 แผนภาพแสดงการทำงานของโปรแกรม RSH.asm

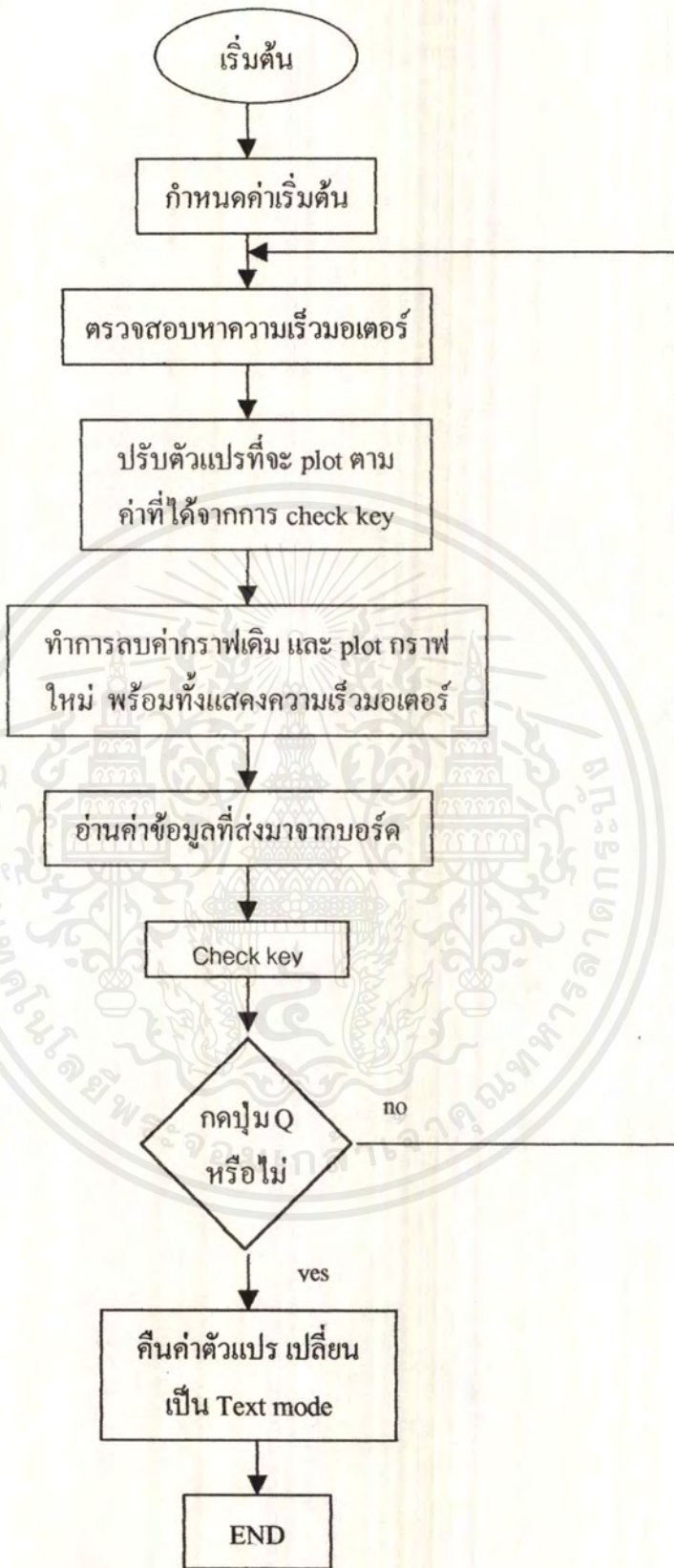
เอกสารนี้เป็นเอกสารที่สงวนไว้สำหรับการใช้งานเพื่อการศึกษาเท่านั้น ไม่อนุญาตให้นำไปใช้ประโยชน์ด้านการค้า
ไม่ว่ากรณีใดๆ ทั้งสิ้น อีกทั้งห้ามมิให้ดัดแปลงเนื้อหาและต้องอ้างอิงถึงเจ้าของเอกสารทุกครั้งที่มีการนำไปใช้



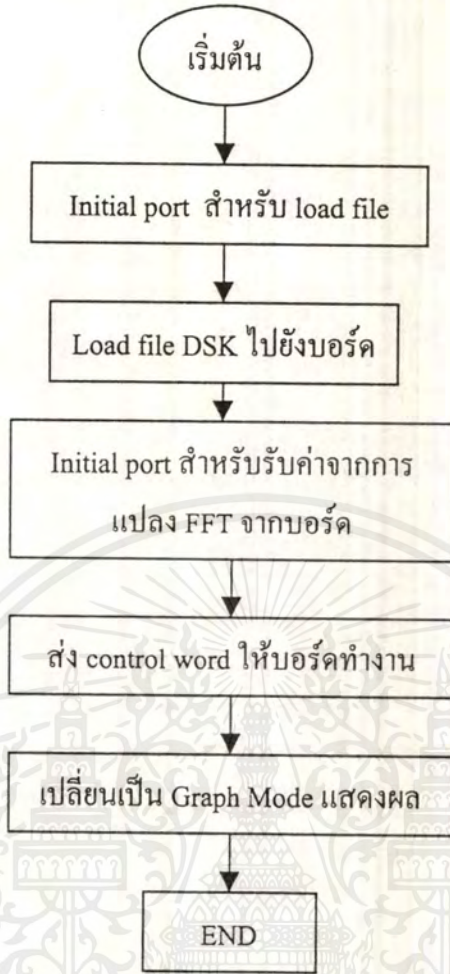
รูปที่ 8.3 แผนภาพการแสดงผลการคำนวณฟาสต์ฟูเรียร์ทรานฟอร์ม

8.2 การแสดงผลการแปลงสเปกตรัมออกทางหน้าจอคอมพิวเตอร์

ในการแสดงผลทำโดยรับข้อมูลที่ผ่านการแปลงฟาสต์ฟูเรียร์แล้ว จากบอร์ด TMS320C50 DSK จากทางพอร์ตขนาน RS232 จากนั้นทำการแสดงผลข้อมูลที่รับมาโดยใช้ภาษา C++ เขียนโปรแกรมในการแสดงผลทางด้านกราฟฟิกซึ่งมีลำดับการทำงาน ดังนี้



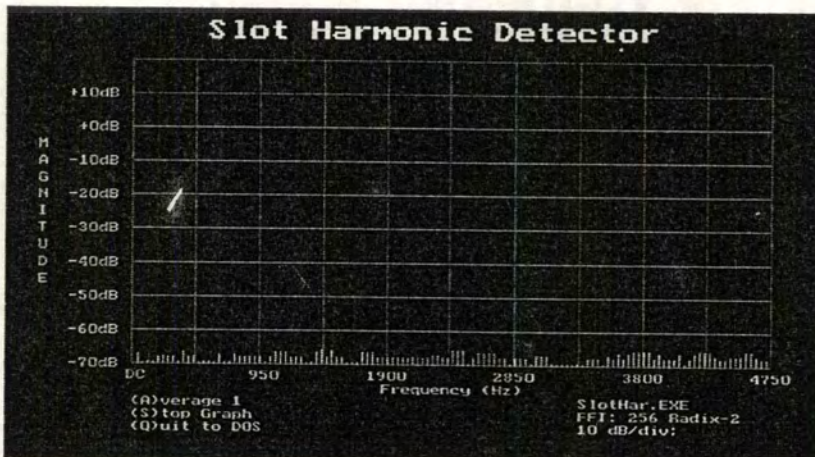
รูปที่ 8.4 โปรแกรมแสดงผลทางด้านกราฟที่ออกทางหน้าจอคอมพิวเตอร์



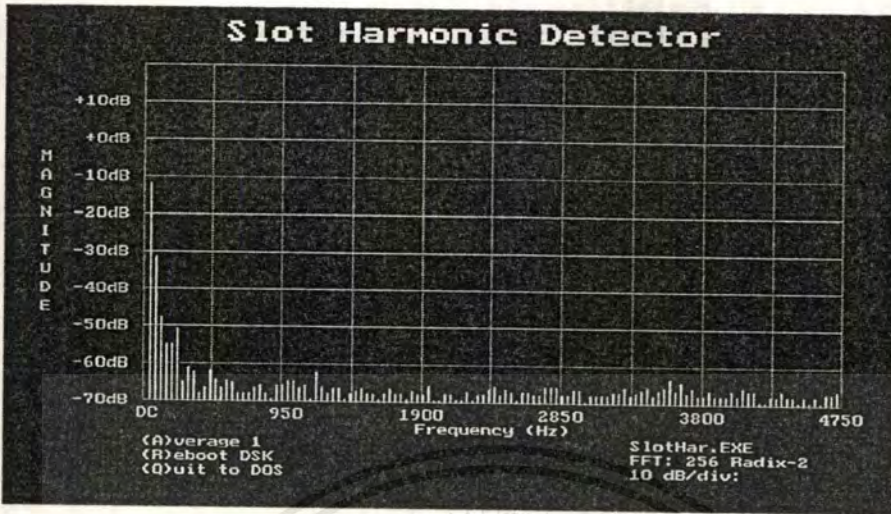
รูปที่ 8.5 โพลีชาร์ตแสดงการ Initial ค่าในการแสดงผลทางด้านกราฟฟิก

8.3 ผลการทดลอง

ในการทดลองการศึกษาวงจรในลักษณะที่เวลาจริง จะทำการทดลองโดยการสุ่มข้อมูลเข้ามาที่อัตราการสุ่ม 10.286 ksa/s ใช้มอดูเลเตอร์ขนาด 1 แรงม้า ทำการเพิ่มโหนดทางผลการแปลงสเปกตรัม ดังนี้



รูปที่ 8.6 รูปแสดงสเปกตรัมของการใช้บอร์ด TMS32C50 ขณะยังไม่มีการวัดสัญญาณโยชน์ด้านการค้า เอกสารฉบับนี้ขอสงวนสิทธิ์ในสิ่งที่ปรากฏและไม่มีการรับประกันใดๆ ทั้งสิ้น อีกทั้งห้ามมิให้คัดลอกเนื้อหาและต้องอ้างอิงถึงเจ้าของเอกสารทุกครั้งที่มีการนำไปใช้



รูปที่ 8.7 รูปแสดงผลของการใช้บอร์ด TMS32C50 ขณะวัดสัญญาณจากมอเตอร์

8.4 การวิเคราะห์ และการสรุปผลการทดลอง

จากการทดลอง รูปสเปกตรัมที่ได้จากการประมวลผลโดยบอร์ด TMS32C50 นั้น สัญญาณที่เข้ามามีการเปลี่ยนแปลงตลอดเวลา(Real Time) ซึ่งได้ทำการจับภาพมาในช่วงเวลาหนึ่ง (holding) จากรูปที่ 8.6 และ 8.7 จะเห็นว่ากราฟที่ได้ไม่ละเอียดเพียงพอที่จะสามารถระบุได้ว่าฮาร์โมนิกส์ตัวใดเป็นโรเตอร์สล็อตฮาร์โมนิกส์ ทั้งนี้เนื่องจากจำนวนของข้อมูลที่ใช้ในการนำมาประมวลผลมีเพียงแค่ 256 ค่าเท่านั้นซึ่งจะทำให้กราฟที่ได้จากการแปลงแล้วจะมีความละเอียดไม่เพียงพอที่จะสามารถเห็นและจับโรเตอร์สล็อตฮาร์โมนิกส์ได้ แต่ในการประมวลผลแบบเวลาไม่ต่อเนื่อง(Off Line)โดยใช้โปรแกรม MATLAB จำนวนข้อมูลที่นำมาคำนวณจากดิจิตอลสโตเรจสโคปมีมากพอ เพราะฉะนั้นจึงสามารถจับสัญญาณโรเตอร์สล็อตฮาร์โมนิกส์ได้ แต่ในการระบุตำแหน่งโรเตอร์สล็อตฮาร์โมนิกส์ได้ชัดเจนนั้น จะต้องใช้ข้อมูลอย่างน้อย 4K (4096 ค่า) ที่อัตราการแซมปลิง 10 KSa/S

เพราะฉะนั้นในการพัฒนาให้เป็นการประมวลผลแบบเรียลไทม์ ที่สามารถตรวจสอบหาค่าความเร็วได้จริงนั้น จะต้องใช้บอร์ดที่มีแรมภายในมากขึ้นหรือต่อแรมภายนอกเพิ่มให้พอที่จะเก็บข้อมูลและทำการคำนวณ และต้องแก้ไขโปรแกรมภาษาแอสเซมบลีที่ใช้กับบอร์ดให้มีการใช้จำนวนข้อมูลมากขึ้นในการประมวลผล และเพื่อให้มีการหน่วงเวลา(Delay Time)ที่น้อยที่สุด ควรใช้บอร์ดที่มีความเร็วสูง

บทที่ 9

ปัญหา แนวทางการแก้ปัญหาและการพัฒนา

9.1 ปัญหา

9.1.1 ปัญหาในการศึกษาพฤติกรรมแบบออฟไลน์ (Off Line)

- การใช้โหนดทางกล ค่าความผิดพลาดที่ได้จากการทดลองจะมีค่าเพิ่มมากขึ้น เมื่อเราใส่โหนดเพิ่มขึ้น

สาเหตุ : เกิดจากความร้อนจากการเสียดสีระหว่าง มู่เล่และเชือกที่ใช้คล้องเพื่อถ่วงน้ำหนัก

แนวทางการแก้ไข : ควรหาวิธีการใส่โหนดเพิ่มด้วยวิธีการอื่นๆ เช่น การใช้เบรคทางกล (mechanic break)

- การใช้โหนดทางไฟฟ้า ข้อมูลที่ได้จากการทดลองหลังจากการแปลงฟาสต์ฟูเรียร์แล้ว ตรวจสอบตำแหน่งของโรเตอร์สล็อตฮาร์โมนิกส์ได้ยาก

สาเหตุ : เกิดจากการสปาร์คของแปรงถ่าน ทำให้เกิดการเหนียวนำไปรบกวน ทำให้สัญญาณที่วัดได้ตรวจสอบหาสล็อตฮาร์โมนิกส์ได้ยาก

แนวทางการแก้ไข : เลือกใช้มอเตอร์กระแสตรง ที่มีการสปาร์คของแปรงถ่านน้อย ๆ และควรใช้สายไฟที่มีการชิลด์ (shield) เพื่อป้องกันสัญญาณรบกวนอื่นที่อาจเข้ามารบกวน

- ค่าความถี่มีความผิดเพี้ยนจากความเป็นจริง

สาเหตุ : จำนวนข้อมูลที่นำมาใช้มีค่าไม่เพียงพอ หรือบางครั้งอาจมาจากการที่มีอัตราการสุ่มสัญญาณที่ไม่เพียงพอ หรืออาจเกิดจากการแปลงสมการ Matlab ที่แกนด้านความถี่ไม่ถูกต้อง

แนวทางการแก้ไข : ทดลองหาค่าจำนวนข้อมูลและอัตราการสุ่มข้อมูลที่เหมาะสม เพื่อให้ได้ค่าความถูกต้องที่สูงที่สุดแต่ต้องไม่ใช้เวลาจนมากเกินไปด้วย

- การคัปปลิง (Coupling) ระหว่างมอเตอร์มีปัญหาเรื่องการต่อเชื่อมไม่ดีพอ ทำให้ระหว่างการทดลองมอเตอร์จะสั่นมาก

สาเหตุ : เนื่องจากมอเตอร์มีขนาด และความสูงไม่เท่ากัน

แนวทางการแก้ไข : ปรับปรุงการคัปปลิง และทำฐานรองมอเตอร์ให้ดีขึ้น

9.1.2 ปัญหาในการศึกษาพฤติกรรมแบบเรียลไทม์ (Real time)

เอกสารนี้เป็นเอกสารที่ไม่สามารถตรวจสอบหาสัญญาณสล็อตฮาร์โมนิกส์และวัดค่าความเร็วมอเตอร์ได้
ไม่ว่ากรณีใดๆ ทั้งสิ้น อีกทั้งห้ามมิให้คัดแปลงเนื้อหาและต้องอ้างอิงถึงเจ้าของเอกสารทุกครั้งที่มีการนำไปใช้

สาเหตุ : เนื่องจากอัตราการสุ่มข้อมูลไม่เหมาะสม และจำนวนข้อมูลที่ใช้ในการประมวลผลน้อยเกินไป

แนวทางการแก้ไข : เปลี่ยนอัตราการสุ่มข้อมูล และเพิ่มจำนวนข้อมูลที่ใช้ในการประมวลผลมากขึ้น

- ไม่สามารถแปลงฟาสฟูเรียร์ กับจำนวนข้อมูลมาก ๆ ได้

สาเหตุ : เนื่องจากหน่วยความจำข้อมูลของบอร์ด TMS320C50 มีประมาณ 9k เวิร์ด ซึ่งในการแปลง FFT ต้องใช้พื้นที่ในการเก็บค่าทวิตเดิลแฟคเตอร์ (Twiddle Factor) ค่าอินพุท ค่าผลลัพธ์ที่ได้ ซึ่งมีทั้งค่าจริงและค่าจินตภาพ ซึ่งทำให้ไม่สามารถแปลง FFT กับจำนวนข้อมูลมากได้

แนวทางการแก้ไข : ทำการต่อเพิ่มหน่วยความจำภายนอก เพื่อให้การประมวลผลมากขึ้น ซึ่งจะทำให้เห็นสัญญาณสล็อตฮาร์โมนิกส์ได้ชัดเจนขึ้น

- หากต้องการเพิ่มจำนวนข้อมูลที่จะแสดงผลจะทำให้ข้อมูลที่ส่งมาจะไม่เป็นเรียลไทม์

สาเหตุ : เนื่องจากการส่งข้อมูลที่เพื่อแสดงผลข้อมูลทางคอมพิวเตอร์ส่งผ่านทางซีเรียลพอร์ต ทำให้ความเร็วในการส่งไม่สูงมาก

แนวทางการแก้ไข : ส่งข้อมูลที่ประมวลผลได้ผ่านทางโปรโตคอลที่เร็วขึ้น

9.2. แนวทางการพัฒนา


1. เพิ่มจำนวนข้อมูลที่ใช้ประมวลผลสำหรับบอร์ด TMS320C50 เพื่อที่จะสามารถทำการวิเคราะห์ได้และมีความถูกต้องมากขึ้นและควรปรับปรุงให้บอร์ดสามารถโหลดโปรแกรมได้ด้วยตัวเอง โดยการใช้ EPROM บันทึกโปรแกรมไว้

2. ควรปรับปรุงโปรแกรมที่ใช้ในการแสดงผลทางคอมพิวเตอร์ ให้เป็นโปรแกรมแบบ 32 บิตและรันบนวินโดวส์ได้ เพื่อเพิ่มประสิทธิภาพ และลดปัญหาในการอินเตอร์เฟส หรือแสดงผลทาง LCD Module แสดงค่าความเร็วมอเตอร์โดยไม่ต้องอาศัยคอมพิวเตอร์ เพื่อความสะดวกในการเคลื่อนย้าย

3. ใช้อุปกรณ์ที่มีความสามารถที่ดีขึ้นเช่น ใช้บอร์ดที่มีการประมวลผลได้เร็วขึ้น อัตราการสุ่มข้อมูลสูงขึ้น และมีคำสั่งให้ใช้ได้งายมากขึ้น

4. หน่วยลดทอนสัญญาณควรปรับปรุงให้ใช้งานร่วมกับ CT ได้ โดย CT ที่ใช้ต้องสามารถตอบสนองความถี่สูงได้ดี

5. หาวิธีการใหม่ๆ ในการวิเคราะห์โรเตอร์สล็อตฮาร์โมนิกส์เช่น การทำซ้ำ (Auto Regressive)



ภาคผนวก ก
โปรแกรมภาษาเอสเอ็มบีที่ใช้ในการ
วิเคราะห์ และคำนวณหาต้นทุนคอมพิวเตอร์สล็อตฮาร์ดไดรฟ์

เอกสารนี้เป็นเอกสารที่สงวนไว้สำหรับการใช้งานเพื่อการศึกษาเท่านั้น ไม่อนุญาตให้นำไปใช้ประโยชน์ด้านการค้า
ไม่ว่ากรณีใดๆ ทั้งสิ้น อีกทั้งห้ามมิให้ดัดแปลงเนื้อหาและต้องอ้างอิงถึงเจ้าของเอกสารทุกครั้งที่มีการนำไปใช้

```

;*****;
; RSH.ASM
;ADVISER      DR. VIJIT KINNARES
;              Assoc.Prof.DR. VIRIYA
PICHETJUMRERN
;ADVISEE      JIRA      SAE-TEAW
;              CHALERMPOL TONG U TAI
;
;              TITIPONG  SAMAKPONG
;              NARONGWIT THAMWARAKUL
;*****;

```

```

; SET      PARAMETER
ONEPASS .set      0          ;1=
no avg  0=Average on
YES      .set      1          ;
NO       .set      0          ;
;-----;
BITLEN2      .set      54h          .ps      0x0a00 ;
;0078h      ;JUMP CMD              .entry    ;
BITLEN       .set      0a8h          ;
;079h      ;JUMP XMIT              ;
SENDC        .set      08f0h          ;
;=====;
          .ds 0x60          ;
AIC/FFT Setup data in upper 1/2 B2
;=====;

```

```

; Fclk = 10.368 MHz
Master clock input to the AIC
; Fbit = Fclk/4
Serial port bit rate
; Fs = Fclk/(2*TA*TB)      ADC
sampling rate

TA          .word      12          ;
Fs=10.286 kHz
TB          .word      42          ;

```

```

;-----;
;*****;
AIC_CMD      .word      0x0003 ;
0x72 0000 0000 0000 0011=0x0003
SIG_DEL      .word      0x0000 ;
0x73
STAT1        .word      0x0000 ;
0x74
ACCU_lo      .word      0x0000 ;
0x75
ACCU_hi      .word      0x0000 ;
0x76
REAL         .word      0x0000 ;
0x77
IMAG         .word      0x0000 ;
0x78
AUX0         .word      0x0000 ;
0x79
AUX1         .word      0x0000 ;
0x7A
FFT_S        .word      256      ;
FFT_S-1      .word      255      ;

```

```

FFT_S/2      .word      128      ;
FFT_S/2-1    .word      127      ;
scratch      .word      0

```

```

;-----;
; SET MEMORYMAP REGISTER
;-----;
          .mmregs          ;
          .ps      080ah    ;
          B          RINT
;RINT Branch to receive interrupt
routine
          B          XINT
;XINT XINT is only for timing, so
just return
;

```

```

;-----;
; START PROGRAM
;-----;

```

```

; TMS320C50 INITIALIZATON
;*****;

```

```

          .ps      0x0a00 ;
          .entry    ;
start:
          SETC      INTM
          SETC      SXM
          SETC      OVM ;
catch accumulator overflows
          LDP      #0 ;
All direct addressing is to MMRS
and B2
          SPLK      #0830h,PMST
          LACC      #0
          SAMM      CWSR ;
Setsoftware wait stat eto 0
          SAMM      PDWSR ;

```

```

;*****;
;initialize and reset serial
port
;*****;

```

```

          SPLK      #020h,IMR ;
Using XINT syn TX & RX
;
initialize AIC and enable
interrupts
AIC_RS SPLK      #01h,PRD ;
To generate 10MHz from Tout
          SPLK      #20h,TCR ;
for AIC maste rclock
          MAR      *,AR0
          LACC      #0008h ;
Non continuous mode
          SACL      SPC ;
FSX as input
          LACC      #00c8h ;
16 bit words
          SACL      SPC
          LACC      #080h ;
          SACH      DXR
          SACL      GREG
          LAR      AR0,#0FFFFh ;
Reset AIC by pulsing BR\pin

```

```

RPT #500 ;
and taking it high after 500 cycles
LACC *,0,AR0 ;
(.25ms at 50ns )
SACH GREG ;
SETC SXM ;
;-----
LACC AIC_CMD ;
AIC control
CALL AIC_2nd ;
call loader
;-----
LACC TB,2 ;
AIC timing B regs
ADD TB,9 ;
ADD #2 ;
CALL AIC_2nd ;
call loader
;-----
LACC TA,2 ;
AIC timing A regs
ADD TA,9 ;
CALL AIC_2nd ;
call loader
;-----
LDP #0 ;
LACC #010h ;
AIC RINT
SACL IMR ;
where INTO indicates EOC (End Of
Conv)
;*****
MAIN: CALL Init_S ;
Load 512 alternating data points:
LAR AR0,FFT_S ;
Sigma FFT
CALL FFT ;
.if ONEPASS
CALL TO_HOST ;
B MAIN ;
;-----
.else
CALL Init_D ;
LAR AR0,FFT_S ;
Delta FFT
CALL FFT ;
.endif
;*****
AVG2: LAR AR5,#_B_base ;
LAR AR6,#_D_base ;
LAR AR7,#255 ;
MAR *,AR5 ;
AVGX: LACC **+,0,AR6 ;
ADD * ;
SFR ;
SACL **+ ;
MAR **+,AR7 ;
BANZ AVGX,*-,AR5 ;
CALL TO_HOST ;
;-----
B MAIN ;
;*****

```

```

Init_S: LAR AR6,#_D_base ;
_D_base = A1[n],A2[n],A1[n+1],A2
[n+1],...
LAR AR7,#511 ;
MAR *,AR7 ;
enable buffer fill
CLRC INTM ;
Fill FFT array with 512 samples
FILL BANZ FILL,*,AR7 ;
SETC INTM ;
LAR AR5,#_B_base ;
LAR AR6,#_D_base ;
LAR AR7,#255 ;
MAR *,AR6 ;
FILLX LACC **+,0,AR5 ;
Load first 256 into buffer array
SACL **+,0,AR7 ;
BANZ FILLX,*-,AR6 ;
;-----
LAR AR7,#255 ;
LAR AR5,#_D_base ;
MAR *,AR6 ;
FILLY LACC **+,16,AR5 ;
Then backfill last 256 into FFT
array
SACH **+ ;
REAL=X[n]
SACL **+,0,AR7 ;
IMAG=0
BANZ FILLY,*-,AR6 ;
RET ;
;*****
Init_D: LAR AR6,#_D_base ;
LAR AR5,#_B_base ;
Flip Flop data buffer and FFT array
LAR AR7,#255 ;
MAR *,AR5 ;
FILLD LACL *,AR6 ;
get x[n+256]
LAR AR0,* ;
get X[n]
SACL **+ ;
REAL=X[n]
SACH **+,0,AR5 ;
IMAG=0
SAR AR0,**+,AR7 ;
save X[n] in data buffer
BANZ FILLD,*-,AR5 ;
RET ;
;*****
TO_HOST LACC #80h ;
CALL BCXMT ;
Send frame synch (START)
CALL BRECV ;
Wait for host start word (01Bh)
SUB #01Bh ;
NOP ;
Insert NOPs to ensure condition was
ready
NOP ;
while execute BCND
BCND TO_HOST,NEQ ;
LAR AR3,#_D_base ;
;AR3= FFT data array

```

เอกสารนี้เป็นเอกสารที่สงวนไว้สำหรับการใช้งานเพื่อการศึกษาเท่านั้น ไม่อนุญาตให้นำไปใช้ประโยชน์ด้านการค้า
ไม่ว่ากรณีใดๆ ทั้งสิ้น อีกทั้งห้ามมิให้ดัดแปลงเนื้อหาและต้องอ้างอิงถึงเจ้าของเอกสารทุกครั้งที่มีการนำไปใช้

```

LAR    AR5,FFT_S/2-1
;AR5= loop counter
MAR    *,AR3      ;
more2  LACC    **
;scale log magnitude for host
MAR    **
;skipping imaginary
RPT    #7        ;
SFR    ;
CALL   XMIT     ;
MAR    *,AR5    ;
BANZ   more2,*-,AR3 ;
RET
;*****
FFT:   MAR    *,AR0      ;
Calculate FFT parameters from AR0 =
Size
SAR    AR0,FFT_S      ;
MAR    *-           ;
SAR    AR0,FFT_S-1    ;
MAR    **          ;
MAR    *BR0+       ;
AR0 = AR0 >> 1;
SAR    AR0,FFT_S/2    ;
MAR    *-           ;
SAR    AR0,FFT_S/2-1 ;
;-----
LAR    AR0,FFT_S/2    ;
new_stg LAR    AR1,#_D_base ;
AR1 is the TOP BFLY address
LAR    AR2,#_D_base  ;
AR2 is the BOT BFLY address
LAR    AR3,#_T_base+1 ;
AR3 is the Twiddle pointer
LAR    AR4,FFT_S/2   ;
AR4 counts DFT blocks
B      n_DFT2,*AR1   ;
DFT:   MAR    *BR0+,AR5 ;
complete circular buffer for TW's
LAR    AR5,#1       ;
set up DFT loop with *BR0+/BANZ
MAR    *BR0+,AR1    ;
using 1 cuts *BR0+ loop in half!
;-----
;ARI=Top AR2=Bottom
AR3=Twiddle
;-----
BFLY:  LACC    *,14,AR2 ;
(imag1+imag2)/4
ADD    *,14,AR1      ;
SACH   **+,1,AR2
;store TOP imag
SUB    *,15          ;
(imag1-imag2)/2
SACH   **+,1,AR1
;store BOT imag
LACC   *,14,AR2     ;
(reall+real2)/4
ADD    *,14,AR1     ;
SACH   **+,1,AR2
;store TOP real
SUB    *,15         ;
(reall-real2)/2

```

```

SACH   *,1,AR5
;store BOT real
BANZ   OK,*BR0+,AR3 ;if
at DFT end quit early
;-----
MAR    **+,AR2
;clean up TW base (xxx0000+1)
MAR    **
;modify BOTom DATA pointer
MAR    *0+          ;
MAR    *0+,AR1     ;
n_DFT2: MAR    *0+
;modify the TOP pointer
MAR    *0+,AR4     ;
BANZ   DFT,*0-,AR3
;dec DFT block count AR4 by OFFset
MAR    *,AR0      ;
MAR    *BR0+      ;
BANZ   new_stg,* ;if
OFFset was 1, now cleared
B      endFFT     ;
;-----
OK     LT      *-,AR2
;TREG=TWR *NOTE* Twiddles are
Q15
MPY    *-
;PREG=REAL*TWR
LTP    **+,AR3
;TREG=IMAG ACCU=REAL*TWR
MPY    *
;PREG=IMAG*TWI AR2=R
AR3=I
LTS    **+,AR2
;TREG=TWI ACCU=REAL*TWR-
IMAG*TWI
MPY    *
;PREG=REAL*TWI
SACH   **-,1,AR2  <<<
LTP    **+,AR3
;TREG=IMAG ACCU=REAL*TWI
MPY    *BR0+,AR2
;PREG=IMAG*TWR
APAC   ;
ACCU=IMAG*TWR+REAL*TWI
SACH   **+,1,AR2  <<<
B      BFLY,**+,AR1 ;
;-----
endFFT: MAR    *,AR2
;Transform REAL & IMAG to log
magnitude
LAR    AR2,#_D_base
;AR3=FFT data pointer
LAR    AR3,FFT_S-1
;AR5=FFT loop counter
LAR    AR0,FFT_S
;-----
; WINDOW: Performs post FFT
raised cosine windowing! ;
; This is done by using the
frequency coefficients of the ;
; window in a convolution
filter of the spectrum. ;
;-----

```

```

;mar *BR0+ ;
don't start at DC
more_MAG
MAR *BR0- ;
-IMAG[-1] 1-COS(nwt/N) + 1
LACC *BR0+,15 ;
IMAG[-0] filter by post |
SUB *BR0+,16 ;
+IMAG[+1] convolution <----->
ADD *BR0-,15 ;
IMAG + + -.5
SACH IMAG ;
MAR ++ ;
REAL
MAR *BR0- ;
-REAL[-1]
LACC *BR0+,15 ;
REAL[-0] X[-1] -2*X[0] + X[1]
SUB *BR0+,16 ;
+REAL[+1]
ADD *BR0-,15,AR1 ;
REAL
SACH REAL ;
SQRA IMAG ;
;IMAG & REAL can be at most 0x7fff
Q15
LTP REAL
;MPY will result (at most) in max
positive
MPY REAL ;
AFAC
;output is positive Q30
ADD #0x1
;Set up a floor value; log(0) not
legal!
LAR AR1,#17
;pre-scaling exponent shifts Y axis.
RPT #31 ;
NORM *- ;
NOP
NOP
MAR *,AR2 ;
MAR *BR0- ;-
REAL;dump log(f) into oldest REAL
(odd addr)
SACH *,2
;clr explicit 1.0 and sign bit from
mant
LACL *
;load into ACCU_lo
SAR AR1,*
;then append exponent (AR1)
ADD *,16 ;
RPT #10
;jam result into ACCU_hi
SFL ;If
needed, Use ADDH to saturate
overflow
; sach * ;
; addh * ;
SACH * ;
LACC * ;
AND #0xfffc,0 ;

```

```

SACL *BR0+ ;
REAL
MAR *- ;
IMAG
MAR *BR0+,AR3
;+IMAG
BANZ more_MAG,*-,AR2
;keep going until all done
;-----
BITREV: LAR AR0,FFT_S
;Now perform Output bit reversal
LAR AR1,#_D_base ;by
moving the magnitude, which
LAR AR2,#_D_base+1 ;is
in the REAL slots, into the
LAR AR3,FFT_S-1
;IMAG slots of the FFT data array
more_BR LACC ++
;load the magnitude
MAR ++,AR1 ;
SACL *BR0+,0,AR3
;move it to an open IMAG slot
BANZ more_BR,*-,AR2
;more data to move?
;-----
RET ;
FFT is finished!!
*****
AIC_2nd SACH DXR
CLRC INTM
IDLE
ADD #6,15
;set ACCU_hi = 3 for secondary XMIT
SACH DXR ;
IDLE
;ACCU_hi requests 2nd XMIT
SACL DXR ;
IDLE
;ACCU_lo sets up registers
SACL DXR,2
;close command with LSB = 00
IDLE
RET ;
*****
; Transmitt a character
*****
=====
; Trasmit word routine
=====
xmtwrđ SACL scratch
RPT #7
SFR
CALL XMIT ;
send highbyte-
LACC scratch ;
BCXMIT BCND $+4,bio ;
expect a sync (0) signal from PC
B $-2
;-----
; xmtbyte follows now ;
send lowbyte and return to calling
pgm

```

เอกสารนี้เป็นเอกสารที่สงวนไว้สำหรับการใช้งานเพื่อการศึกษาเท่านั้น ไม่อนุญาตให้นำไปใช้ประโยชน์ด้านการค้า
ไม่ว่ากรณีใดๆ ทั้งสิ้น อีกทั้งห้ามมิให้ดัดแปลงเนื้อหาและต้องอ้างอิงถึงเจ้าของเอกสารทุกครั้งที่มีการนำไปใช้

```

;
; 'xmtbyte' requires ARP->AR0 and
sets ACCU='mask for byte'
; send startbit (0) + databyte +
stopbits (2)
;-----
XMIT CLRC c ;
startbit=0
LAR ar1,#8 ;
counter: 1 startbit+ 8 databits (+
2 stopbits)
nextbit1 BCND snd0,nc ;
if c=1 send 1 else send 0
snd1 SETC xf ;
send one
B snd
snd0 CLRC xf
snd RPT #BITLEN ;
send one bit
MAR *,ar1
ROR ;
lsb(accum) -> carrybit
BANZ nextbit1,*- ;
repeat for entire word (10 bits)
SETC xf
RPT #BITLEN
NOP
RPT #BITLEN
NOP
RET
;=====
; Read Routine
;=====
BRECv:
wait BCNDD STOK,bio
;wait for start bit
LAR AR1,#7
LACL #0
B wait ;
STOK RPT #BITLEN2
;BITLEN is scaled and
NOP
MAR *,AR1
;number of bits - 1


```

```

WtBIT SFR
RPT #BITLEN
;decremented by 8/3 for
NOP
;BITLEN/2 wait
BCND ZEROBT,bio
ADD #80h
ZEROBT BANZ WtBIT,*-
;last bit ?
RET
;ACC = read value

;*****
; NOTE: This code is NOT written
with context restore!
;*****
RINT: SST #1,STAT1
;Recover ARP from ARB by LST1
MAR *,AR7 ;
BANZ more_buf,*-,AR6 ;if
buffer is full RET w/o EINT
LAR AR7,#0 ;
LST #1,STAT1 ;
RET ;
more_buf ;
LACC DRR ;
SACL *+ ;
<<< store Ax[n], point to next
;-----
FASTRET LST #1,STAT1 ;
RETE ;
XINT: RETE
;=====
.listoff ;
.ds 01000h
;NOTE: Twiddles are relocated to
.include "dsk_twid.asm" ;
0x400 (B2) using CONE 1
.liston
.end

```



ภาคผนวก ข
โปรแกรมภาษาซี ที่ใช้ในการ
แสดงผลทางด้านกราฟฟิกออกทางหน้าจอคอมพิวเตอร์

เอกสารนี้เป็นเอกสารที่สงวนไว้สำหรับการใช้งานเพื่อการศึกษาเท่านั้น ไม่อนุญาตให้นำไปใช้ประโยชน์ด้านการค้า
ไม่ว่ากรณีใดๆ ทั้งสิ้น อีกทั้งห้ามมิให้ดัดแปลงเนื้อหาและต้องอ้างอิงถึงเจ้าของเอกสารทุกครั้งที่มีการนำไปใช้

```

/* -----
-----
- */
/* File: MAIN.CPP Example
Main using the interface.h */
/* -----
-----
- */

#include "interface.H"
# define THR 0 //
Transmitter holding register
# define DHR 0 // Receiver
data register
# define BRDL 0 // Baud rate
devisor, low byte
# define BRDH 1 // Baud rate
devisor, high byte
# define LCR 3 // Line
control register
# define MSR 4 // Modem
status register
# define LSR 5 // Line
status register
# define DATA_READY 1 //
defined in the LCR register
# define DATA_OVERRUN 2 //
defined in the LCR register
# define TRUE 1
# define FALSE 0
# define XMT_BUF_EMPTY 0x20
# define DD 0 // Upload
data from DSK -> PC
# define DP 1 // Upload
prog from DSK -> PC
# define LD 2 // Download
data from PC -> DSK
# define LP 3 // Download
prog from PC -> DSK
# define XG 5 // Execute
the program

FILE *stream; // global for
this file

const STRING programme ="Slot
Harmonic Detector";
const STRING pgmdate ="1/2/99";
const STRING version ="1.00";
const STRING copyright ="Copyright
(c) Rotor Slot Harmonic Group";
extern pcom;

// global variables
PARAMETER prm; //
parameter file and definition -->
getchar.cpp
char INFO[300];
char title[200];

char buf_0[512];
// Keep past data history for
char buf_1[512];
// time averaging of signals

```

```

char buf_2[512];
char buf_3[512];
char buf_4[512];

int avg_on = 0, restart = 0;
clock_t duration;
char dskFile[]={"spec50.dsk"};

void ExePgm(void); // eXecute
Go, Address, Single step
INITMONITOR InitMonitor(void);
void init_graphics(void);
void check_key(void);
void setup_vals(void);
void detectSpeed(void);

//-----
-----
// Main program
//-----
-----
void main(int argc, char *argv[])
{
char *ptr0, *ptr1, *ptr2, *ptr3,
*ptr4;
char *tmp0, *tmp1, *tmp2, *tmp3,
*tmp4;
int x, y, old_y;
int two_block_length;
int k,c;

if(argc > 3){
printf("Please enter the
command as 'SlotHar -cx'\n");
printf(" where x is the
comport that DSK connect to.\n");
printf(" (The default value
is 1 for comport 1)\n");
exit(0);
}
else{
strlwr(argv[1]);
if(argv[1]){
if(strstr(argv[1],"-c"))
prm.com = argv[1][2]-'1';
else{
printf("Please enter the
command as 'SlotHar -cx'\n");
printf(" where x is the
comport that DSK connect to.\n");
printf(" (The default is
1 for comport 1)\n");
exit(0);
}
}
}
clrscr();
sprintf(title,"\n%s - Version %s
/ %s "

"\n%s\n",programme,version,pg
mdate,copyright);
printf(title);

```

```

prm.EntryPoint=prm.PGM_CNT=0x0a00;
// standard entry point
prm.INVERSE =YES;
// for standard boards like DSK

prm.speed=57600;
// default !
InitializeMonitor(); //
Establish communication at 57600
baud using old kernel

//-----
// Load Slot Harmonic detect DSK
file to TMS320C50
//-----

printf("\nDownloading Slot
Harmonic Detector Program...\n");
stream=fopen(dskFile,"rb");
duration = LoadDsk();
ExePgm();
re_start;
//-----
// Reinitialize PC serial port to
115200 baud.
//-----

prm.speed=1152001;
InitPort();
init_graphics();
//-----
// This module test the transferring
of data without handshaking
//-----

two_block_length=128;
tmp0 = buf_0;
tmp1 = buf_1; tmp2 = buf_2; tmp3
= buf_3; tmp4 = buf_4;

ptr0 = tmp0;
for(x=0;x<256;x+=2) *ptr0++ =
128; // init 1st line

for( ; ; ) {
ptr0 = tmp0;
// Set buffer data pointers
ptr1 = tmp1; ptr2 = tmp2;
ptr3 = tmp3; ptr4 = tmp4;

detectSpeed();
for(x=0;x<512;x+=4) {
old_y = 128 - *ptr0;
switch(avg_on) {
case 1: *ptr0 =
(*ptr1+*ptr2) >> 1; // avg of 2
break;

```

```

case 2: *ptr0 =
(*ptr1+*ptr2+*ptr3+*ptr4) >> 2; //
avg of 4
break;
default: *ptr0 = *ptr1;
break;

// avg of 1
}
y = 128 - *ptr0;

// .....plot graph
.....//

if(y > old_y){
old_y++;
line(x+5,old_y,x+5,y);
}
if(y < old_y){
y++;
line(x+5,old_y,x+5,y);
}
ptr0++;
ptr1++; ptr2++; ptr3++;
ptr4++; // next data
}
if(kbhit()) check_key();
if(restart){
avg_on=restart=0;
closegraph();
goto re_start;
}
ptr1 = tmp4;
// Rotate the buffer pointers
tmp4 = tmp3; tmp3 = tmp2;
tmp2 = tmp1; tmp1 = ptr1;

for(k = 10000; k > 0; k--){
WaitFor(XMT_BUF_EMPTY);
// Send a pulse to DSP then wait
for
outputb(pcom,NULL);
// starting pulse 0x80
delay(1);
c = inportb(pcom);
if( c == 0x80 ){
// receive starting pulse 0x80 send
WaitFor(XMT_BUF_EMPTY);
// 0x1b to DSP indicate "ready to
outputb(pcom,0x1B);
// receive 128 data with interrupt
break;
// turn-off
}
}
if( k == 0 ){
printf("Fail to get start
pulse\n");
exit(0);
}

// Turn off interrupt and reading
the data from DSP
asm cli;
WaitFor(XMT_BUF_EMPTY);

```

```

        outport(pcom, NULL);

for(k=0;k<two_block_length;k++)
        *ptr1++ =
rcvdata(pcom);
    asm sti;
}
}
void detectSpeed(void)
{
    for(int i=1;i<10;i++){
        if(*ptr0 >*ptr0+1){
            }
        }
    }
}

void check_key(void)
{
    int key;
    key = (bioskey(0)) >> 8;
    switch(key)
// Key traps for various routines
    {
        case 0x1E: avg_on += 1;
// (A)veraging select
            if(avg_on >2)
                avg_on = 0;
break;
        case 0x1F: while (!kbhit()){};
        case 0x13: restart = 1;
// (R)eboot code
            break;
        case 0x10: closegraph();
// (Q)uit to DOS
            exit(0);
break;
        default :           break;
    }
    setup_vals();
// redraw the setup values
    setviewport(100,40,600,274,1);
// Set window to show display
    setwritemode(1);
// display lines are XOR drawn
    setcolor(15);
// light gray
}

void InitializeMonitor(void)
{
    UINT error;
    int pass=FALSE;

    InitPort(); //initialise serial
com regiaters.

    pass=FALSE;
    BaudRateDetect(); //send 0x80 to
DSP to calculate BITLEN.
    delay(2); // what is the right
time ??? was 1 up to version 0.98

    switch(error=InitMonitor())

```

```

{
    case 0:
    case 1:
    case 2:   pass=FALSE;
            break;
    case 3:   pass=TRUE;
            break;
}
if(!pass){
    printf("\nCommunication not
successful\n");
    switch(error) {
        case 0: printf("\nNo
Response.\n");
            break;
        case 1: printf("\nTest
Error.\n");
            break;
        case 2: printf("\nNo
Escape.\n");
            break;
        default: break;
    }
    exit(1);
}
}

void InitPort(void)
{
    UINT COMADD[]={0x3f8, 0x2f8,
0x3e8, 0x2e8};
    int BRD=115200l/prm.speed;
    pcom = COMADD[prm.com];
    UINT port_no=pcom;

    asm mov  DX,word ptr port_no //
    asm add  DX,3 //
    asm mov  AL,087h //
SET BAUD access
    asm out  DX,AL //
    asm sub  DX,3 //
    asm mov  AX,word ptr BRD //LO//
Set 19200 baud
    asm out  DX,AL //
    asm add  DX,1 //
    asm mov  AL,byte ptr BRD //HI//
    asm xchg AL,AH //
    asm out  DX,AL //
    asm sub  DX,1 //
    asm add  DX,3 //
    asm mov  AL,07h //
CLR BAUD access... N-8-2
    asm out  DX,AL //
    asm out  DX,AL //
N-8-2
    asm mov  DX,port_no
//0x3FC 0x2FC modem control
register
    asm add  DX,5
//check LINE_STATUS 0x2FD 0x3FD
(+5)
xempty0: //
    asm in  AL,DX //

```

```

asm and AL,060h
//wait for DXR & TXR to empty
before RST!
asm cmp AL,060h //
asm jne xempty0 //
}

//-----
INITMONITOR InitMonitor(void)
{
int i=10000;
int ans=inportb(pcom+LSR);
int byte_return;

while(!(ans & DATA_READY) && i){
// data received?
ans = inportb(pcom+LSR);
i--;
}
if(i<1)
return 0;
if( inportb(pcom) !=KB_ESC)
return 2;

delay(1);
UINT send=0xAA; //
test for reponse with random
pattern
WaitFor(XMT_BUF_EMPTY); //
wait for buff empty
outportb(pcom,send); //
send a byte
WaitFor(DATA_READY); //
wait for data received
delay(1);
if ((byte_return=inportb
(pcom))!=send) {
printf("\nbyte recieve =
%x\n",byte_return);
return 1;
}
WaitFor(XMT_BUF_EMPTY); //
wait for buff empty
outportb(pcom,(send=KB_ESC)); //
send a byte
WaitFor(DATA_READY); //
wait for data received
delay(1);
if ((byte_return=inportb
(pcom))==send)
return 3; //
all tests are successful!
return 1;
}

//-----
void reset50()
{
UINT port_no=pcom;
if(prm.INVERSE) {
// do the inverse DTR for reset of
c50

```

```

asm mov DX,word ptr
port_no//modem control register
02FC 03FC
asm add DX,4
//
asm mov AL,0xB
//RTS=1, DTR=0
asm out DX,AL
delay(1);
asm mov DX,word ptr
port_no//modem control register
asm add DX,4
//
asm mov AL,0xA
//RTS=1, DTR=0
asm out DX,AL
delay(1);
asm mov DX,word ptr
port_no//modem control register
asm add DX,4
//
asm mov AL,0xB
//RTS=1, DTR=0
asm out DX,AL
delay(1);
}
else { //
else we have a hardware negate
function from PC to c50
asm mov DX,word ptr
port_no//modem control register
asm add DX,4
//
asm mov AL,0xA
//RTS=1, DTR=0
asm out DX,AL
delay(1);
asm mov DX,word ptr
port_no//modem control register
asm add DX,4
//
asm mov AL,0xB
//RTS=1, DTR=0
asm out DX,AL
delay(1);
asm mov DX,word ptr
port_no//modem control register
asm add DX,4
//
asm mov AL,0xA
//RTS=1, DTR=0
asm out DX,AL
delay(1);
}
}

//-----
void BaudRateDetect()
{
reset50();
delay(12); // v.02 ROM code
need delay for boot loader

```

```

if(prm.speed<57600){
    while(!(inportb(pcom+LSR) &
XMT_BUF_EMPTY));
    outportb(pcom,0x80);    //
write a byte to the com port
(320c50)
}
else
    outportb(pcom,0x80);    //
write a byte to the com port
(320c50)
}
void WaitFor(UINT what)
{
    int j=10000,i=j;

    while(!(inportb(pcom+LSR) & what)
&& i--);

    if(i<1){
        fprintf(stdout,"Handshake
error"
            "\r\nWait loop finished
in WaitFor() with start=%d",j);
        exit(1);
    }
    else return;
}

void sendbyte(UINT send)
{
    WaitFor(XMT_BUF_EMPTY);    //
wait for buff empty

    outportb(pcom,send);    //
send a byte

    WaitFor(DATA_READY);    //
wait for data received
delay(1);
    UINT receive=inportb(pcom);
    if (receive!=send)
        fprintf(stdout,"Handshake
error"
            "\r\nSent byte in
'sendbyte()' is not correct!\r\n"
            "Sent      : 0x%02x
Received:
0x%02x\r\n",send,receive);
}

UINT sendword(UINT send)
{
    UINT  s1;

    WaitFor(XMT_BUF_EMPTY);
// wait for empty
    s1 = (send>>8)&0xff;
    outportb(pcom,s1);    // send high
byte of end address

    WaitFor(DATA_READY);
// wait for data rec
delay(1);

```

```

UINT receive=inportb(pcom);

WaitFor(XMT_BUF_EMPTY);
s1 = send&0xff;
outportb(pcom,s1);    // send
low byte of end address

WaitFor(DATA_READY);
// wait for data rec
delay(1);
if((receive=(receive<<8)+inportb
(pcom))!=send)
    fprintf(stdout,"Handshake
error"
        "\r\nSent word in
sendword() is not correct!\r\n"
        "Sent      : %04xh
Received: %04xh\r\n",send,receive);

    return receive; // return sent
word for check if necessary
}

//-----
//--- Load a program/data file in
TI-Dsk Format: default ext. dsk -
-
//-----

double LoadDsk(void)
{
    char  linebuf[MAXLINE],
    *pbuf=linebuf;
    UINT  line=0;    // line
counter of file
    UINT  data[MAXLINE]; // max 100.
words to download
    UINT  numdata=0;    // num of
words to download
    ULONG  sumdata=0;    // sum of
all downloaded words
    UINT  address;    // address
for download
    BOOLE  program;    // type: if
program 'yes', no if data 'no'
    double d;
    clock_t start=clock();
    while(1) {
// for all lines

pbuf=fgets(linebuf,MAXLINE,stream);
        swtch(*pbuf){
// analyse line
            case ':':
            case 'K': numdata = 0;
break;    // Do something with
the name ?
            case '9': address=GetDskAdd
(pbuf+1); // DSK for an address
                swtch>(*pbuf+5){
                    case '7': break;
// Do nothing wth checksum ?

```

```

        case 'M':
program=NO; break;
        case 'B':
program=YES; break;
        default :
fprintf(stdout, "\n\nerror 1: 'Wrong
Tag "
        "in Pos 6'\n\n\rPlease check
whether"
        " the
file is a valid *.dsk
file!\n\n\r");
        return 0;
    }
    numdata=GetDskData
(pbuf+5,data);
    sumdata +=numdata;
    break;
    case 'l': address=GetDskAdd
(pbuf+1); // Entry address
    if(address==0)
        break; // dska
generates address=0 if no entry
defined!

prm.PGM_CNT=prm.EntryPoint=address;
    break;
    case NULL: fclose(stream);
    fprintf
(stdout, "\nLoading of prog/data
finished");
    d=clock()-start;
    return d>0 ? d :
0.001;

    default : fprintf
(stdout, "\n\nerror 2: 'Wrong Tag in
Pos 1' in LoadDsk() "
        "!\n\n\rPlease check whether"
        " the
file is a valid *.dsk
file!\n\n\r");
        return 0;
    }

    if(numdata){
// download line
    UINT i,cmd=(program==YES) ?
LP:LD;

        fprintf(stdout, "\r %4d %5d
%8ld %s",
++line,numdata,sumdata,program ?
"program":"data");
        sendcommand(cmd,address,numda
ta);
        for(i=0;i<numdata;i++)
sendword(data[i]);
    }
}

```

```

    }
//-----
-----
UINT GetDskAdd(String pbuf)
{
    UINT x=0,i=4;
    char c=*pbuf++;
    for(;i;i--,c=*pbuf++)
    {
        x =(x<<4) + c;
        if(isdigit(c))
            x -= '0';
        else
            x -= 'A'-10;
    }
    return x;
}
//-----
-----
UINT GetDskData(String pbuf,UINT
*data)
{
    UINT num=0,i;
    UCHAR c;

    while(*(pbuf++)!='7')
    {
        for(*data=0,i=4;i;i--)
        {
            c = *pbuf++;
            *data<<=4;
            if(isdigit(c))
                *data +=c-'0';
            else
                *data +=c-'A'+10;
        }
        data++;
        num++;
    }

    return num;
}

void ExePgm(void)
{
    sendbyte(XG); sendword
(prm.PGM_CNT); // execute
outputb(pcom,NULL);
// Startpulse / sync for
windows/OS2 ??????
    return;
}

void setup_vals(void)
{
    setwritemode(0);
// turn off XOR write
    setviewport(0,300,200,309,1);
// clear window
    clearviewport();
//
    setviewport(100,0,620,30,1);
// Write the title in yellow
    setcolor(14);
}

```

```

settextstyle(0,0,2);
outtextxy(60,10,"Slot Harmonic
Detector");
setviewport(0,30,620,330,1);
// Write to window in bright blue
setcolor(11);
//
settextstyle(0,0,0);
outtextxy(10,33, "    +10dB");
outtextxy(10,59, "    +0dB");
outtextxy(10,72, " M    ");
outtextxy(10,85, " A  -10dB");
outtextxy(10,98, " G    ");
outtextxy(10,111," N  -20dB");
outtextxy(10,124," I    ");
outtextxy(10,137," T  -30dB");
outtextxy(10,150," U    ");
outtextxy(10,163," D  -40dB");
outtextxy(10,176," E    ");
outtextxy(10,189,"   -50dB");
outtextxy(10,215,"   -60dB");
outtextxy(10,241,"   -70dB");
outtextxy(450,270,"SlotHar.EXE
"); // Name of program
outtextxy(450,280,"FFT: 256
Radix-2"); //
outtextxy(450,290,"10 dB/div:
"); //
outtextxy(96,250,"DC");
outtextxy(185,250," 950");
outtextxy(285,250,"1900");
outtextxy(385,250,"2850");
outtextxy(485,250,"3800");
outtextxy(585,250,"4750");
outtextxy(224,260,"
Frequency (Hz)    ");
outtextxy(100,290,"(Q)uit to DOS
"); //
outtextxy(100,280,"(S)top Graph
"); //
switch(avg_on)
{
case 1: outtextxy(100,270,"(A)
verage 2");break; //
case 2: outtextxy(100,270,"(A)
verage 4");break; //
default: outtextxy(100,270,"(A)
verage 1");break; //
}
}
void init_graphics(void)
{
int gdriver = EGA, gmode = EGAHI,
errorcode, Y, X;
// registerbgidriver
(EGAVGA_driver); // Use with
BCC for no EGAVGA.BGI
initgraph(&gdriver, &gmode, "");
// if possible open EGA mode
errorcode = graphresult();
if (errorcode != grOk)
{
printf("Graphics error: %s\n",
grapherrormsg(errorcode));

```

```

printf("Press any key to
halt:");
getch();
exit(1);
}
clearviewport();
//
setup_vals();
// dispaly the setup
setviewport(100,40,600,274,1);
// Set window to show display
setcolor(2);
// reticle is green
for(Y=0;Y<=234;Y+=26) line
(0,Y,500,Y); // draw reticle
for(X=0;X<=500;X+=50) line
(X,0,X,234); //
setwritemode(1);
// display lines are XOR drawn
setcolor(15);
// light gray
}

```

```

/* -----
- */
/* File: interface.CPP -> Host
Interface Library Source Code Ver
1.00 */
/* -----
- */

#include "interface.H"

static FILE *stream;
extern char appfile[]; /*
app filename with .DSK extension
*/

extern int MSGRx=2,MSGRY=21; /*
x&y coordinates of messenger window
*/
extern UINT pcom=0; /*
commport address
*/
extern PARAMETER prm; /*
you can use these in main
*/
extern STRUCT_IMR imr; /*
*/

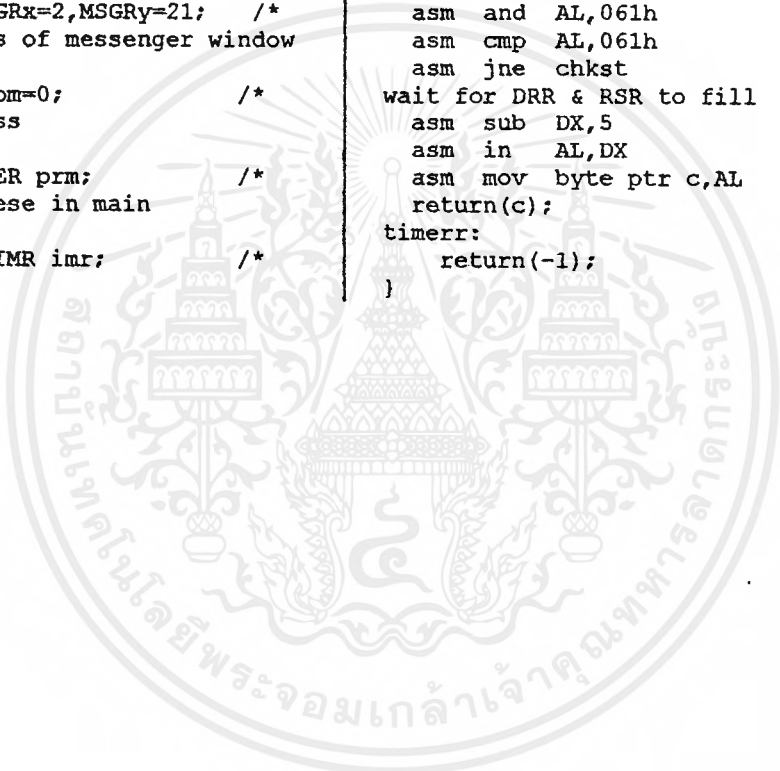
```

```

/* -----
- */

unsigned char rcvdata(int port_no)
{
    unsigned char c;
    asm mov DX,word ptr port_no //
    RECV a character
    asm add DX,5 //
    check LINE_STATUS 0x2FD 0x3FD
    (+5)
    asm mov BX,4000 //
    chkst: //
    asm sub bx,1 //
    asm jz timerr //
    asm in AL,DX //
    asm and AL,061h //
    asm cmp AL,061h //
    asm jne chkst //
    wait for DRR & RSR to fill
    asm sub DX,5 //
    asm in AL,DX //
    asm mov byte ptr c,AL //
    return(c); //
    timerr: //
    return(-1); //
}

```



```

/* -----
-----
-- */
□
/* File 'interface.H'
/* -----
-----
-- */
□
typedef unsigned int    UINT;
□
typedef unsigned char  UCHAR;
□
typedef      char*  STRING;
□
typedef unsigned long  ULONG;
□
# include <alloc.h>
□
# include <conio.h>
# include <ctype.h>
# include <direct.h>
# include <dos.h>
# include <fcntl.h>
# include <io.h>
# include <malloc.h>
# include <math.h>
# include <graphics.h>
# include <setjmp.h>
# include <stdio.h>
# include <stdarg.h>
# include <stdlib.h>
# include <string.h>
# include <float.h>
# include <time.h>
# include <bios.h>

# define KB_ESC  0x01b

/*---UART definitions: register
etc. -----
--- */

# define THR      0    /*
Transmitter holding register
*/
# define DHR      0    /* Receiver
data      register
*/
# define BRDL     0    /* Baud rate
devisor, low byte
*/
# define BRDH     1    /* Baud rate
devisor, high byte
*/
# define LCR      3    /* Line
control register
*/
# define MSR      4    /* Modem
status register
*/

```

```

# define LSR      5    /* Line
status register
*/
# define DATA_READY  1 /*
defined in the LCR register
*/
# define XMT_BUF_EMPTY 0x20

const int MAXLEN = 0x100,
          MAXLINE = 100;

/*
Addresses of 'C50 registers
*/
const int ACCU =0x60, /*
Address of the Accumulator
*/
          ACCB =0x62, /*
Address of Accumulator B
*/
          PREG =0x64, /*
Address of Product Register
*/
          ST0 =0x66, /*
Address of ST0
*/
          ST1 =0x67, /*
Address of ST1
*/
          TREG =0x68, /*
Address of the T register
*/
          STACK =0x69, /*
Address of the hardware stack
*/
          ARX =0x71, /*
Address of the Auxillary registers
*/
          TIMER =0x74; /*
address of Timer register
*/

/* -----enumerations -----
-----
*/

enum BOOLE {NO, YES};

enum c50COMMANDS { /* commands for
comm between PC and monitor kernel
*/
                DD=0, DP, LD, LP, /*
these 4 are also defined in c50
*/
                XCH_PGM, XG}; /*
these 2 are also defined in c50
*/

/*
XCH_PGM is supported on debugger
only */

```

เอกสารนี้เป็นเอกสารที่สงวนไว้สำหรับการใช้งานเพื่อการศึกษาเท่านั้น ไม่อนุญาตให้นำไปใช้ประโยชน์ด้านการค้า
ไม่ว่ากรณีใดๆ ทั้งสิ้น อีกทั้งห้ามมิให้ดัดแปลงเนื้อหาและต้องอ้างอิงถึงเจ้าของเอกสารทุกครั้งที่มีการนำไปใช้

```

        /* These are used
for status reporting
*/
enum INITMONITOR
{GOOD,TESTERROR,NOESCAPE,NORESPONSE
};

/* -----structures -----
-----
*/
struct STRUCT_IMR {
        UINT add, user, debug;
        BOOLE modified;
};

struct PARAMETER {
        UINT PGM_CNT;          /*
Value to init the program counter
*/
        UINT EntryPoint;
        /* the next 3 parameter
define the comport          */
        BOOLE INVERSE;        /*
Inversion of the DTR line No/Yes
*/
        UINT com;              /*
Communication Port number (1 or 2)
*/
        ULONG speed;          /*
Baudrate up to 115K baud
*/
};

/* -----
-----
- */

extern struct STRUCT_IMR imr;
extern struct PARAMETER prm;
/* -----
-----
- */
void      BaudRateDetect(void);
UINT      getwordcom(void);
void      GetArguments(void);
UINT      GetDskAdd(String pbuf);
UINT      GetDskData(String
pbuf,UINT data[]);

```

```

BOOLE      FreeRun(UINT address);
void      InitPort(void);
void      InitializeMonitor
(void);
INITMONITOR InitMonitor(void);
void      InitRegister(BOOLE
all);
double    LoadDsk(void);
void      reset50(void);
void      sendbyte(UINT);
UINT      sendword(UINT);
void      WaitFor(UINT);
UCHAR     rcvdata(int);
void      MSGR(char msg_string
[50]);

/* -----
-----
*/
inline void sendcommand(const
c50COMMANDS cmd,UINT
startaddress,UINT length)
{
        sendbyte(cmd); sendword
(startaddress); sendword(length-1);
}
/* -----
-----
*/
inline void SendDataWord(UINT
address,UINT word)
{
        sendcommand(LD,address,1);
        sendword(word);
}
/* -----
-----
*/
inline UINT GetPgmWord(UINT
address)
{
        sendcommand((c50COMMANDS) DP,
address, 1);
        return getwordcom();
}
/* -----
-----
*/

```

กิติกรรมประกาศ

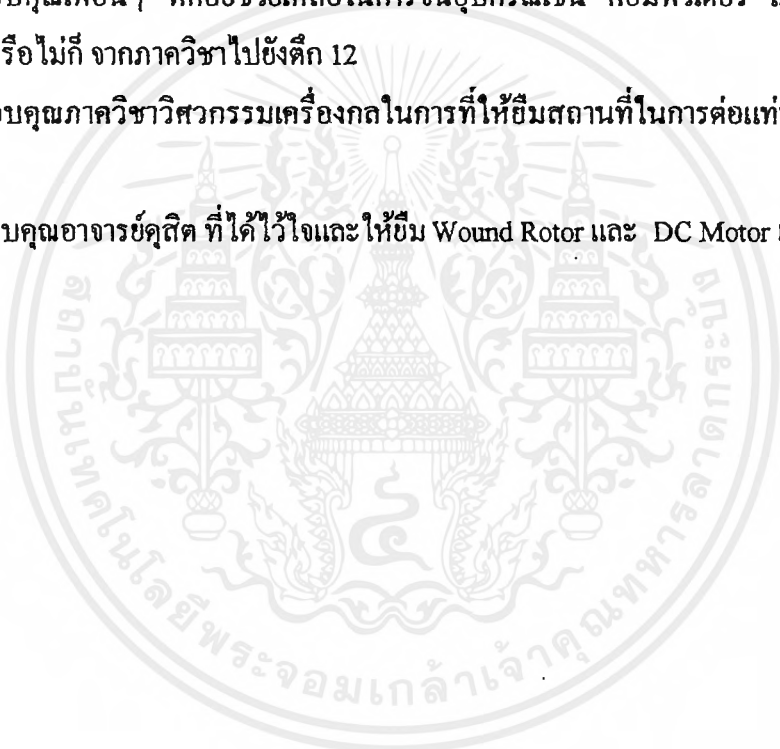
ทางคณะผู้จัดทำขอขอบคุณ อาจารย์วิจิตร กิมเรศ และอาจารย์วิริยะ พิษณุจำริญ ซึ่ง
เป็นอาจารย์ที่ปรึกษา ที่ได้ให้คำปรึกษา คำแนะนำ และคอยช่วยเหลืออยู่ตลอดเวลา

ขอขอบคุณ เจ้าหน้าที่ ศูนย์วิจัยพัฒนาและบริการทางด้านวิศวกรรมชั้น 2 ตึก 12 ที่
ทุกๆ คนคอยให้ความช่วยเหลือในการใช้บริการจากศูนย์ในการยื่นอุปรณ์การทำโครงการ รวมทั้ง
ห้อง เพื่อทำการทดสอบด้วย

ขอขอบคุณเพื่อนๆ ที่คอยช่วยเหลือในการขนอุปกรณ์เช่น คอมพิวเตอร์ แผงโหลด
หลอดไฟ จากหอ หรือ ไม้ก็ จากภาควิชาไปยังตึก 12

ขอขอบคุณภาควิชาวิศวกรรมเครื่องกลในการที่ให้ยืมสถานที่ในการต่อแท่นมอเตอร์
และคีมมู่เต้

ขอขอบคุณอาจารย์คุสิต ที่ได้ไว้ใจและให้ยืม Wound Rotor และ DC Motor เพื่อใช้ในการ
การทดลอง



เอกสารอ้างอิง

- [1] M.Ishida and K. Iwata, "A new slip frequency detector of an induction motor utilizing rotor slot harmonics," IEEE trans. Ind. Applicat., vol IA-20, pp, 575-582, May/June 1984.
- [2] B. Williams, J. Foodfellow, and T. C. Grean, "Sensorless speed measurement of inverter driver squirrel cage induction motors," in Proc. IEE 4ht Int Conf, Power Electronics and Variable Speed Drives, 1990, pp 279-300.
- [3] D.Zinger, F. Profumo, T. Lipo, and D. Novotny, :A direct field oriented controller for induction motor drives using tapped stator windings," in Proc. IEEE Power Electronics Specialists Conf., 1988, pp, 855-861,
- [4] A. Ferrah, K. J. Bradley ,and G. M. Asher, "An FFT-base novel approach to noninvasive speed measurement in induction motor drive," IEEE Trans. Instrum. Meas., vol. 41, pp. 797-802, Dec. 1992.
- [5] R, Blasco-Gaminez, "High performance sensorless vector control of induction motor drives," Ph.D. disertation, Dep. Elext. Electron. End., Univ. Nottingham, U.K., 1996.
- [6] Peter Vas , "Parameter Estimation , Condition Monitoring , and diagnosis electrical machine , Oxford : Clarendon Press , 1993
- [7] สุธรรม ศรีเกษม, เมธินทร์ ทรงชัยสกุล , สง่า ศรีสุภปริดา , " Matlab เพื่อการแก้ปัญหาทางวิศวกรรม " , สำนักพิมพ์มหาวิทยาลัยรังสิต , 2540
- [8] วัลลภ สุรกำพล , ศ.ดร. , " การประมวลผลสัญญาณเชิงเลข " , กรุงเทพฯ , บริษัทกรุงเทพไคนาปริ้นท์ จำกัด , 2533
- [9] วิรธร รักวนิชพงษ์ , วิโรจน์ ถ่านุญรอด , วิรพันธ์ กุณาโชติ , " เครื่องวัดสัญญาณฮาร์มอนิกส์ โดยใช้ TMS320C50 DSK " , " ปริญญานิพนธ์ " , คณะวิศวกรรมศาสตร์ สถาบันเทคโนโลยีพระจอมเกล้าเจ้าคุณทหารลาดกระบัง , 2539
- [10] สุรศักดิ์ รอดแก้ว , อุดม วงศ์ศิริพนุณ , " อุปกรณ์วัดสัญญาณฮาร์มอนิกส์ " , " ปริญญา นิพนธ์ " , คณะวิศวกรรมศาสตร์ สถาบันเทคโนโลยีพระจอมเกล้าเจ้าคุณทหารลาดกระบัง

[11] Texas Instrument , "TMS320C5x DSP Starter Kit `User 's Guide", Texas Instrument
Incorporate , 1994

[12] Texas Instrument,"TMS320C5x User ' s Guide " , Texas Instrument Incorporate , 1994

